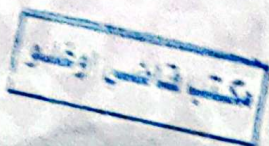


جامعة تكريت

كلية التربية / كلية التربية / كلية التربية / كلية التربية

قسم الفيزياء



# الكهرباء والمغناطيسية

للمواد الثانية

مدرس المادة

نهاد علي شفيق عباس

## الفصل التاسع

# مصادر المجال المغناطيسي

# Magnetic Field Sources



## مصادر المجال المغناطيسي

### (Magnetic Field Sources)

#### □ 1-9 تعريف

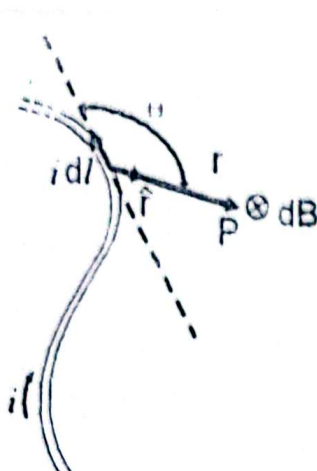
تعرف في الفصل السابق على المجال المغناطيسي والقوة التي يزخر بها هذا المجال على شحنة كهربائية موجودة في منطقة تأثيره، كما لسنترضا بعض التطبيقات العملية لأثار المجال المغناطيسي والقوة المغناطيسية الناتجة عنه، دون البحث في الكيفية التي نشأ عنها هذا المجال ودون حساب شدته عند نقطتين في منطقة تأثيره، ومن المعروف أن ألم مصادر المجال المغناطيسي هو التيار الكهربائي باعتباره شحنة متحركة. وفي هذا الفصل سنين كيفية حساب شدة المجال المغناطيسي الناشئ عن تيار كهربائي عند نقطة في منطقة تأثيره بطريقةتين، تعتمد الأولى منها على قانون بiot وSavart ، التي يمكننا من حساب شدة المجال المغناطيسي لأي توزيع من التيارات الكهربائية. وتعتمد الطريقة الثانية على قانون أمبير، الذي يسطّح حساب المجال المغناطيسي في الحالات ذات التفاصيل العالية لتوزيع التيارات الكهربائية. كما سنتعرف على كيفية حساب القوة المغناطيسية المتبادلة بين موصلين متوازيين يمر خلال كل منهما تيار كهربائي. وعلى كيفية حساب المجال المغناطيسي لثاقبتي مكون من عروة تيار، وأخيراً سن Jensen بالختام الخواص المغناطيسية للمواد.

#### □ 2-9 قانون بيوت وسافارت (Biot-Savart Law)

حد اكتشاف نورستد (عام 1820)، للتأثير المغناطيسي الناتج عن التيار الكهربائي بفترة وجيزه، قام بيوت وسافارت بإجراء عدة تجارب لإيجاد صيغة رياضية لحساب شدة المجال المغناطيسي الناشئ عن مرور تيار كهربائي في سلك موصولة مختلطة الأشكال. واستنتج بيوت وسافارت من تجاربها تلك أن المجال المغناطيسي  $dB$ ، عند نقطة مثل  $P$ ، الناشئ عن أحد عناصر التيار  $di$ ، لسلك طوله  $l$  ويرحمل تياراً  $i$ ، انظر الشكل (1-9)، يتصرف بما يلي:

أولاً: يكون تجاه المجال المغناطيسي  $dB$  عمودياً على كل من عنصر التيار  $di$  والمنتج  $il$  الواصل بين عنصر التيار والنقطة  $P$ .

ثانياً: تتطلب قيمة شدة المجال المغناطيسي  $dB$ :



(1-9)

(أ) ملحوظاً مع قيمة عنصر التيار  $idl$ .(ب) عكسها مع  $\hat{r}$ .(ج) طردها مع  $\sin \theta$ , حيث يمثل  $\theta$  الزاوية المحسورة بين المسافة  $r$  و عنصر التيار  $idl$ .ويمكن التعبير عن استنتاجات بيوت وساقرات المتعلقة بمقدار  $dB$  بالمعادلة التالية:

$$(1-9) \quad dB = \frac{\mu_0}{4\pi} \frac{idl \sin \theta}{r^2}$$

حيث يمثل المقدار  $\frac{\mu_0}{4\pi}$  ثابت التناسب ويساوي  $10^{-7} \text{ T.m/A}$ . ويمثل  $idl$  مقداراً ثابتاً يعرف بثابت

الغاذية (Permeability) الفراغ للتأثير المغناطيسي. أي أن:

$$\mu_0 = 4\pi \times 10^{-7} \text{ T.m/A}$$

ويمكن إعادة كتابة المعادلة (1-9) بصيغة متوجهة على النحو التالي:

$$(2-9) \quad dB = \frac{\mu_0}{4\pi} \frac{idl \times \hat{r}}{r^2}$$

ويُعرف المعادلة (2-9) بقانون بيوت وساقرات. وتدل المعادلة السابقة على أن  $dB$  باتجاه حاصل الضرب المتوجهي ( $idl \times \hat{r}$ ), أي أن  $dB$  عمودي على كل من  $\hat{r}$  و  $idl$ .يعطي قانون بيوت وساقرات المجال المغناطيسي الناتج عن عنصر تيار، ولحساب المجال المغناطيسي الكلي عند النقطة  $P$  في الشكل (1-9)، الناتج عن جميع عناصر التيار نجري عملية متكاملة للمعادلة

(2-9)، على النحو التالي:

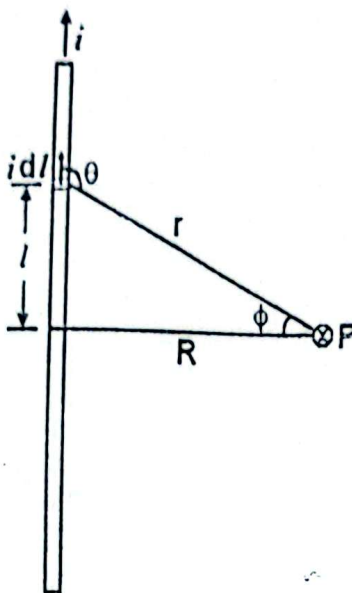
$$(3-9) \quad B = \int dB = \frac{\mu_0}{4\pi} \int \frac{idl \times \hat{r}}{r^2}$$

ويحتاج هذه المعادلة إلى حذر شديد عند إجراء التكامل لاحتواها على كميات متوجهة. ويصبح التكامل سهلاً عندما يكون السلك الحامل للتيار ذا شكل هندسي منتظم، كما سيتضح من الأمثلة الآتية.

يعطي قانون بيوت - ساقرات، وهو قانون استقى من التجربة، شدة المجال المغناطيسي الناتج عن تيار (أو توزيع من التيار) عند نقطة ما.

يبين الشكل (9-2)، سلكا رفيعا طوله  $D$  ويحمل تيارا مثمنه  $i$ . اوجد المجال المغناطيسي عند نقطة مثل  $P$  تقع على العمود المنصف للسلك وعلى بعد  $R$  منه.

الحل:



لكي نتمكن من استخدام قانون بيوت وسافارت في حساب المجال المغناطيسي، نأخذ عنصر تيار  $idl$ ، على بعد  $r$  من منتصف السلك ونجد المجال المغناطيسي الناتج عنه، وذلك بتطبيق المعادلة .(3-9)

$$B = \int dB = \frac{\mu_0}{4\pi} \int \frac{idl \times \hat{r}}{r^2}$$

(2-9) الشكل

نبدأ بتحديد اتجاه المجال  $B$  عند النقطة  $P$ ، وذلك لتبسيط عملية المتكاملة، حيث تلاحظ من تطبيق قاعدة اليد اليمنى، بجعل الإبهام ممثلا لاتجاه التيار وأصابع اليد الأخرى ممثلة لاتجاه المجال، أن اتجاه المجال يكون عموديا على مستوى الورقة وداخلها. أما مقدار المجال  $B$  عند النقطة  $P$  فنحصل عليه بإجراء عملية التكامل بعد التخلص من الاتجاهات فيها، كما يلي:

$$B = \int dB = \frac{\mu_0}{4\pi} i \int \frac{dl \sin \theta}{r^2}$$

ويلزم تمثيل كافة المتغيرات في المعادلة السابقة (1 و 2) بدالة متغير واحد لكي نتمكن من إجراء التكامل. وبنظرية فاحصة إلى الشكل (9-2)، تلاحظ أن تمثل هذه المتغيرات بدالة الزاوية  $\phi$  ببساطة عملية التكامل كثيرا، حيث تلاحظ أن:

$$\theta = \phi + 90^\circ$$

$$\sin \theta = \sin(\phi + 90^\circ) = \cos \phi$$

ومن ثم فإن:

$$r = R / \cos \phi$$

و

$$l = R \tan \phi$$

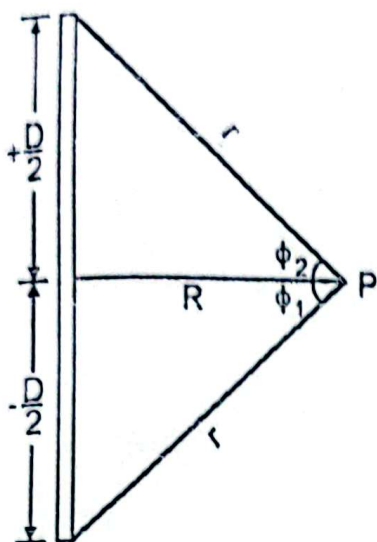
و

وبالتالي فإن:

$$di = H \sec \phi d\phi$$

وتحلّط من الشكل (3-9)، أن  $di$  تتغيّر من  $\frac{D}{2}$

إلى  $+\frac{D}{2}$ ، ويتبع تلك تغيّر في الزاوية  $\phi$  من  $\phi_1$  إلى  $\phi_2$   
حيث:



الشكل (3-9)

وبالتعويض عن قيم المتغيرات هذه في معادلة المجال السابقة، نجد أن:

$$\begin{aligned} B &= \frac{\mu_0 i}{4\pi} \int \frac{(R \sec^2 \phi d\phi) \cos \phi}{(R^2 / \cos^2 \phi)} \\ &= \frac{\mu_0 i}{4\pi R} \int_{\phi_1}^{\phi_2} \cos \phi d\phi \end{aligned}$$

وباجراء التكامل في المعادلة السابقة ينتج أن:

$$(4-9) \quad B = \frac{\mu_0 i}{4\pi R} (\sin \phi_2 - \sin \phi_1)$$

ويتضح من الشكل (3-9)، أن:

$$\sin \phi_1 = \frac{-D}{2r} = \frac{-D}{2\sqrt{(D^2/4)+R^2}} = \frac{-D}{\sqrt{D^2+4R^2}} = \frac{-1}{\sqrt{1+(2R/D)^2}}$$

وبالمثل فإن:

$$\sin \phi_2 = \frac{+D}{2r} = \frac{+D}{2\sqrt{(D^2/4)+R^2}} = \frac{+D}{\sqrt{D^2+4R^2}} = \frac{+1}{\sqrt{1+(2R/D)^2}}$$

وبالتعويض عن قيمتي  $\sin \phi_1$  و  $\sin \phi_2$  في المعادلة (4-9) ينتج أن

$$B = \frac{\mu_0 i}{2\pi R} \frac{1}{\sqrt{1+(2R/D)^2}}$$

أوجد شدة المجال المغناطيسي  $B$  عند النقطة  $P$  في المثل السابق عندما يكون السلك لانهائي الطول.

الحل:

لا تختلف خطوات حل هذا المثل عن سابقه إلا بقيم حدود التكامل من  $\phi_1$  إلى  $\phi_2$ . فعندما يكون السلك لانهائي الطول، تتغير  $\phi$  من  $-90^\circ$  إلى  $+90^\circ$  ( $D = +\infty$  إلى  $D = -\infty$ ). وبالتعويض في المعادلة

(4-9) نجد أن:

$$B = \frac{\mu_0 i}{4\pi R} (\sin 90^\circ - \sin(-90^\circ)) = \frac{\mu_0 i}{4\pi R} [2 \sin 90^\circ]$$

$$(5-9) \quad \therefore B = \frac{\mu_0 i}{2\pi R}$$

ونلاحظ من هذه العلاقة أن شدة المجال المغناطيسي متساوية عند جميع النقاط الواقعة على محيط دائرة نصف قطرها  $R$  وتمر في مركزها السلك بحيث يكون عمودياً على مستواها. ويفسر هذا نمط خطوط المجال المغناطيسي الناتج عن سلك حامل للتيار، التي تكون على شكل دوائر حول السلك، انظر الشكل (1-8).

شدة المجال المغناطيسي الناتج عن سلك لانهائي الطول يحمل تياراً شدته  $i$  في نقطة ما تبعد المسافة  $R$  عنه تتناسب طردياً مع  $i$  وعكسياً مع  $R$ .

**المثال (3-9) :** المجال المغناطيسي الناشئ عن عروة تيار (شاقubi مغناطيسي)  
حلقة دائريّة نصف قطرها  $R$  تقع في المستوى  $(yz)$  وتتحمل تياراً شدته  $i$ . احسب المجال المغناطيسي عند نقطة تقع على المحور  $X$  المار في مركز الحلقة والعمودي على مستواها، وعلى بعد  $a$  عن مركزها كما في الشكل (4-9).

الحل:

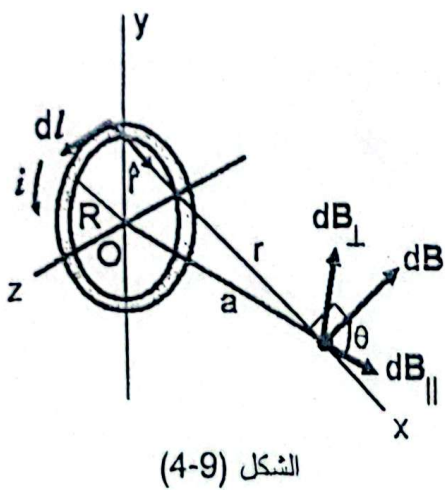
نأخذ عنصر تيار  $dl$  من الحلقة، كما فعلنا في المثل (1-9)، ونجد  $dB$  الناتج عنه بتطبيق قانون بيوت وسافارب:

$$dB = \frac{\mu_0 i}{4\pi} \frac{dl \times \hat{r}}{r^2}$$

تلحظ من الشكل (4-9) أن المتجه  $\hat{r}$  يكون دائماً عمودياً على المتجه  $dl$  لجميع العناصر المكونة للحلقة. أي أن الزاوية بين  $\hat{r}$  و  $dl$  تساوي دائماً  $90^\circ$ . وهذا فإن:

$$|dl \times \hat{r}| = dl \sin 90^\circ = dl$$

$$\frac{dB}{dl} = \frac{\mu_0 i}{4\pi r^2}$$



الشكل (4-9)

وبالإجراء التكامل لهذه المعادلة يجب الانتباه إلى أن اتجاهات  $dB$  الناتجة عن العناصر المكونة للحلقة تختلف من عنصر لآخر، ولكنها تمتاز في كونها عمودية على ٢ كما في الشكل (4-9). لذلك نستفيد من التمايل الموجود في شكل المجال ونحل  $dB$  إلى مركبين، إحداثياً عمودية على المحور  $X$  (المركبة  $\perp$ ) ( $dB_{\perp}$ ) والأخرى موازية له (المركبة  $\parallel$ ) ( $dB_{\parallel}$ ).

ومن ثم نأخذ تكامل كل مركبة على انفراد. ومن التمايل في الشكل تلاحظ أن المركبات العمودية ( $dB_{\perp}$ ) للمجال الناتجة عن العناصر المتاظرة للحلقة سوف تلغى بعضها بعضاً. أي أن:

$$\int dB_{\perp} = 0$$

اما المركبات الموازية للمحور  $X$  فجميعها تؤثر باتجاه واحد. لذلك تجمع مع بعضها لتمثيل محصلة المجال المغناطيسي عند النقطة  $P$ . أي أن:

$$B = \int dB_{\parallel} = \int dB \cos \theta$$

حيث تمثل  $\theta$  الزاوية المحصورة بين المجال  $dB$  والمحور  $X$  كما في الشكل. وبالتعويض عن قيمة  $dB$  في المعادلة السابقة ينتج أن:

$$B = \frac{\mu_0 i}{4\pi} \int \frac{dl \cos \theta}{r^2}$$

وتلاحظ من الشكل أن الزاوية  $\theta$  ثابتة بالنسبة لجميع أجزاء العروة، وأن:

$$\cos \theta = \frac{R}{r} = \frac{R}{(a^2 + R^2)^{1/2}}$$

وبالتعويض عن  $\cos \theta$  وإخراج الثوابت من التكامل، تصبح المعادلة السابقة كما يلي:

$$B = \frac{\mu_0 i R}{4\pi (a^2 + R^2)^{3/2}} \int dl$$

ولكن:

$$(6-9) \quad B = \frac{\mu_0 i R^2}{2(a^2 + R^2)^{3/2}}$$

ويؤثر هذا المجال باتجاه محور X الموجب.

وعندما تكون النقطة P بعيدة جداً عن مركز الحلقة ( $a \gg R$ ) فإنَّ بالإمكان إهمال R في مقام المعادلة السابقة، عندئذٍ يصبح المجال المغناطيسي:

$$B \approx \frac{\mu_0 i R^2}{2a^3}$$

وحيث أن مساحة الحلقة (A) تساوي  $\pi R^2$  فإنَّ المعادلة السابقة تصبح:

$$B \approx \frac{\mu_0 i A}{2\pi x^3}$$

حيث تلاحظ أننا قد استبدلنا المتغير x بالمتغير a للحصول على هذه الصيغة العامة للمجال. وإذا كانت العروة مكونة من عدد N من اللفات، فإنَّ المجال المغناطيسي عند النقطة P يساوي:

$$B \approx \frac{\mu_0 N i A}{2\pi x^3}$$

لأنَّ:

$$(7-9) \quad B \approx \frac{\mu_0}{2\pi} \frac{\mu}{x^3}$$

حيث تتمثل بـ  $\mu$  عزم الثاقطبي المغناطيسي ويساوي  $N i A$ ، انظر المعادلة (21-8).  
وبناءً على الإشارة هنا إلى أنَّ المعادلة (7-9) للمجال المغناطيسي الناتج عن شاقطبي مغناطيسي  $\mu$  عند نقطة على محوره تشبه تماماً المعادلة (9-2) للمجال الكهربائي الناتج عن شاقطبي p عند نقطة على محوره.

$$(9-2) \quad E \approx \frac{1}{2\pi\epsilon_0} \frac{p}{x^3}$$

ويمكن الحصول على شدة المجال المغناطيسي في مركز الحلقة بالتعويض عن a في المعادلة (6-9)  
بالصفر، أي أنَّ:

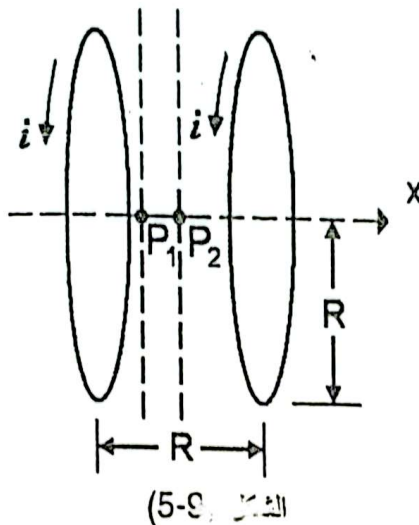
$$B = \frac{\mu_0 i}{2R} \quad ; \quad (a = 0)$$

شدة المجال المغناطيسي الناتج عن شاقطبي مغناطيسي (عروة تيار) عزمها  $\mu$  في نقطة ما تبعد المسافة x عنه تتناسب طردياً مع  $\mu$  وعكسياً مع  $x^3$ .

## 4-9) ملطا هلمهولتز (Helmholtz Coils)

من ملفات هلمهولتز من ملفين حلقيين متقاربين على نفس المحور، وبسايي البعد بين مركزيهما نصف قطرهما. ويرى في الملفين تيار في اتجاه واحد، كما في الشكل (5-9). إذا علمت أن التوتر المار في الملف A 3 ونصف قطر كل منها 15 cm وانت كل منها 1000 لنة فما هي المجال المغناطيسي: (أ) عند نقطة تقع على محور الملفين ومسافة 10cm عن مركز أحدهما، (ب) في منتصف المسافة بينهما.

الحل:



(أ) يمثل كل من الملفين عددا N من عرى التيار. وبما أن الملفين متوازيان. ويقعان على نفس المحور، فإن المجالين الناشئين عنهم يكونان في نفس الاتجاه، أي باتجاه محور X الموجب في الشكل (5-9). ويمكن إيجاد المجال المغناطيسي (B<sub>1</sub>) الناشئ عن الملف الأول عند النقطة P<sub>1</sub> من المعادلة (6-9) بعد ضرب طرفيها الأيمن في N، وذلك بتعريف a = 10 cm و R = 15 cm، و 3 A = 3 A.

$$\therefore B_1 = \frac{\mu_0 NiR^2}{2(a^2 + R^2)^{3/2}} = \frac{4\pi \times 1000 \times 3 \times (0.15)^2}{2((0.10)^2 + (0.15)^2)^{3/2}} \neq 7.2 \times 10^{-3} T$$

وبالمثل يمكن إيجاد المجال المغناطيسي (B<sub>2</sub>) الناشئ عن الملف الثاني عند النقطة P<sub>1</sub> مع مراعاة أن a = 5 cm في هذه الحالة، أي أن:

$$B_2 = \frac{\mu_0 NiR^2}{2(a^2 + R^2)^{3/2}} = \frac{4\pi \times 1000 \times 3 \times (0.15)^2}{2((0.05)^2 + (0.15)^2)^{3/2}} = 10.7 \times 10^{-3} T$$

وبما أن المجالين B<sub>1</sub> و B<sub>2</sub> يؤثران بنفس الاتجاه، فإن مجموعهما B تساوي حاصل جمعهما، أي أن:

$$B = B_1 + B_2 = 7.2 \times 10^{-3} + 10.7 \times 10^{-3} \approx 1.8 \times 10^{-2} T$$

(ب) يكون المجال الناشئ عن الملف الأول متساوياً للمجال الناشئ عن الملف الثاني عند نقطة تقع في منتصف المسافة بينهما، وذلك بسبب تمايز الملفين، إذ أنه يمر فيهما نفس التيار، وتبعد النقطة عن مركزيهما نفس البعد. أي أن:

$$B = 2B_1 = 2B_2 = \frac{\mu_0 i NR^2}{(a^2 + R^2)^{3/2}}$$

سلكان طوبلان مسقىمان ومتوازيان تصلبها مسافة قدرها  $10\text{ cm}$ . إذا مرّ تيار شدته  $A$  20 في كل منها، فاحسب القوة المؤثرة على وحدة الطول لكل من السلكين عندما يكون التياران الماران في السلكين: (أ) باتجاهين متعاكسين (ب) بنفس الاتجاه.

الحل:

(أ) بتطبيق المعادلة (9-9)، نجد أن:

$$\frac{F}{l} = \frac{\mu_0 i_1 i_2}{2\pi d} = \frac{4\pi \times 10^{-7} \times 20 \times 20}{2\pi \times 0.1} = 8 \times 10^{-4} \text{ N/m}$$

وهي قوة تناول، لأنَّ التيارين المارين في السلكين باتجاهين متعاكسين.

(ب) إذا انعكس اتجاه أحد التيارين المار في السلكين فهذا لا يؤثر على قيمة القوة المتبادلة بينهما، ولكن ينعكس اتجاهها. وبما أنَّ القوة المؤثرة لكل وحدة طول بين هذين السلكين عندما يسري التياران فيهما باتجاهين متضادين يساوي  $8 \times 10^{-4} \text{ N/m}$ ، فإنَّ قوة التجاذب بين السلكين في وحدة الطول عندما يكون التياران الماران فيهما بنفس الاتجاه تساوي  $8 \times 10^{-4} \text{ N/m}$  أيضاً.

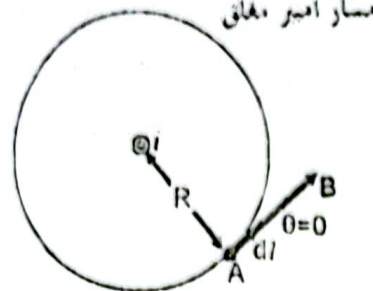
#### □ 9-4 قانون أمبير (Ampere's Law)

رأينا في الفصل الثالث كيف أنَّ قانون غاوس يُسهل حساب المجال الكهربائي لتوزيعات الشحنة ذات التمايل العالي ويعطي فهماً أعمق لطبيعة المجال الكهربائي. ويلعب قانون أمبير في المغناطيسيّة دوراً هاماً ومماثلاً لدور قانون غاوس في الكهرباء. حيث يستخدم قانون أمبير لحساب شدة المجال المغناطيسي الناشئ عن تيارات ذات تمايل عالي. إذ أنه يُسهل عملية حساب المجال المغناطيسي، إضافة إلى قدرته على إعطاء تصور أوضح وفهم أكثر شمولاً من قانون بيوت وسافارت. ولهذا أهميته الكبيرة في معالجة الكثير من المسائل، وخاصة المعقدة منها. وينص قانون أمبير على أنَّ التكامل الخطى (line integral) لشدة المجال المغناطيسي  $B$  حول أي مسار مغلق يساوي المجموع الجبري للتيارات المارة في المسار (i) مضروباً في ثابت إنفاذية الفراغ ( $\mu_0$ ) أي أنَّ:

$$(10-9) \quad \oint B \cdot dI = \mu_0 i$$

وتطبق هذه العلاقة على أي مسار مغلق يحيط بتيار كهربائي. ولتوسيع مضمون قانون أمبير نستخدمه في إيجاد المجال المغناطيسي الناتج عن سلك مستقيم طويل يحمل تياراً شدته  $i$ . وقد حُسب هذا المجال سلبياً في المثال (9-2) باستخدام قانون وسافارت. لنفترض أننا نريد إيجاد المجال المغناطيسي عند نقطة مثل  $A$ ، تبعد مسافة  $R$  عن محور السلك، كما في الشكل (9-7). إنَّ أقرب مسار مغلق يمكن

الجسيم. هو محيط المسار  $\oint$  مسافة  $2\pi R$ . يتصوّر في بعد ذلك أنّ التيار  $i$  يتدفق في المسار  $\oint$  في اتجاه عقارب الساعة، كما في



الشكل (7-9)

الشكل، حيث تشير العلامة  $\odot$  في الشكل إلى أنَّ التيار عمودي على مستوى الورقة وخارج منها. وفي هذه الحالة تكون شدة المجال المغناطيسي  $B$  ثابتة على هذا المسار، إذ أنَّ جميع النقاط الواقعه عليه تبدو متماثلة بالنسبة للسلوك العامل للتيار، ويكون اتجاه المجال منطبقاً على اتجاه الإزاحة الجزئية  $dl$  على محيط المسار عند جميع النقاط الواقعه عليه، أي أنَّ الزاوية  $\theta$  بين  $dl$  و  $B$  تساوي صفراء. وبتطبيق المعادلة (10-9) نجد أنَّ

$$\oint B \cdot dl = \oint B dl = B \oint dl = \mu_0 i$$

$$\oint dl = 2\pi R \quad (\text{محيط الدائرة}) \quad \text{ولكن:}$$

$$\oint B \cdot dl = B (2\pi R) = \mu_0 i \quad \text{لذلك فإن:}$$

$$B = \frac{\mu_0 i}{2\pi R} \quad \text{ومنها فإن:}$$

وتماثل هذه النتيجة للمجال المغناطيسي القيمة التي حصلنا عليها (المعادلة 5-5) في المثل (2-9). وتلاحظ هنا عدم احتياجنا لإجراء تكاملات صعبه كما هو الحال في الطريقة الأولى. وحربي بنا أن نذكر دائماً بأنَّ قانون أمبير يكون مفيداً في حساب المجال المغناطيسي للتغيرات ذات التمايل العالي، ولو لم يكن موازياً للمتجه  $dl$  لما تمكناً من حساب تكامل المسار المغلق بسهولة. وعندما يحتوي المسار المغلق على عدة تيارات يؤخذ المجموع الجيري لها مع مراعاة اتجاهات هذه التيارات عند تطبيق قانون أمبير، حيث تطبق قاعدة اليد اليمنى لتحديد أي التيارات يكون موجباً (بالنسبة لاتجاه المجال  $B$ ).

ينص قانون أمبير على أنَّ التكامل الخطى لشدة المجال المغناطيسي الناتج عن تيار ما شدته في مسار مغلق، يتناسب طردياً مع  $i$ . وإذا كان الوسط هو الفراغ فإنَّ معامل التنساب الطردي هو ثابت إنفاذية الفراغ (40).

يسمح قانون أمبير بحساب شدة المجال المغناطيسي الناتج عن تيار (أو توزيع من التيارات) عالي التمايل.

### مثال (6-9)

سلك مغناطيسي مستقيم وطويل، أسطواني الشكل نصف قطره  $R$  ويحمل تياراً مقداره  $i$ . أوجد شدة المجال المغناطيسي عند نقطة تبعد  $r$  عن محور السلك في الحالات الآتية: (أ)  $r > R$  (خارج السلك). (ب)  $r = R$  (داخل السلك). (ج)  $r = 0$  (على سطح السلك).

الحل:

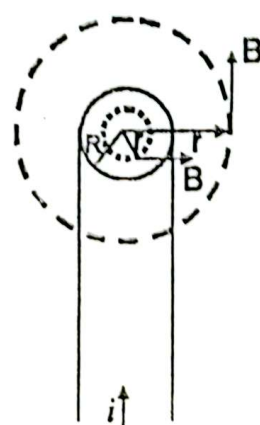
نستنتج من تماثل السلك الأسطواني أنَّ قيمة المجال المغناطيسي تكون ثابتة عند جميع النقاط التي لها نفس البعد عن المحور، ويكون اتجاه المجال مماساً لمحيطات الدوائر التي مركزها محور السلك، كما في الشكل (8-9 أ).

(أ) لإيجاد المجال المغناطيسي  $B$  عند نقطة تقع على بعد  $r > R$  من محور السلك، أي تقع خارجه، نختار مساراً دائرياً مغلقاً نصف قطره  $r$  ومركزه محور السلك، ثم لطبق قانون أمبير، المعادلة (10-9) عليه، كالتالي:

$$\oint \mathbf{B} \cdot d\mathbf{l} = B \oint dl = B(2\pi r) = \mu_0 i$$

ونجد أنَّ المجال  $B$  عند جميع النقاط الواقعة على المسار المختار بما فيها النقطة المطلوب حساب المجال عنها، هو:

$$(11-9) \quad B = \frac{\mu_0 i}{2\pi r} ; (r > R)$$



حيث تمثل  $i$  هنا كل التيار المار في السلك. وهذه هي نفس النتيجة التي حصلنا عليها للسلوك الرفيع الطويل (مثال 9-2) باستخدام قانون بيوت وسافاري. ويكون اتجاه المجال وفقاً لقاعدة اليد اليمنى على النحو المبين في الشكل (8-9 أ).

الشكل (8-9 أ)

(ب) لإيجاد شدة المجال المغناطيسي  $B$  عند نقطة داخل السلك ( $r < R$ ), نختار مساراً دائرياً مغلقاً نصف قطره  $r$  يمر في النقطة، كما فعلنا في الفرع السابق تماماً. ثم لطبق قانون أمبير على هذا المسار. وتلاحظ في هذه الحالة أنَّ التيار  $i$  المار داخل المسار المغلق أقل من التيار الكلي  $i$ ، حيث يساوي التيار

أ) حاصل ضرب كثافة التيار المار في السلك (J) في مساحة مستوى المسار أي أن:

$$J' = J(\pi r^2) = \frac{i}{\pi R^2} (\pi r^2) = i \left( \frac{r}{R} \right)^2$$

وبنطبيق قانون أمبير، نجد أن:

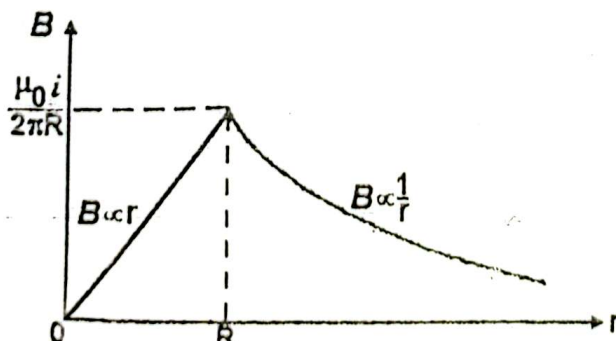
$$\oint \mathbf{B} \cdot d\mathbf{l} = B \oint dl = B (2\pi r) = \mu_0 i' = \mu_0 i \left( \frac{r}{R} \right)^2$$

$$(12-9) \quad \therefore B = \frac{\mu_0 i}{2\pi R^2} r ; (r < R)$$

ج) يمكننا بالتعويض عن  $r$  بنصف القطر  $R$  في إحدى المعادلتين (11-9) و (12-9) لإيجاد قيمة المجال المغناطيسي على سطح السلك، أي أن:

$$(13-9) \quad B = \frac{\mu_0 i}{2\pi R} ; (r = R)$$

وتلاحظ من المعادلة (12-9) أن المجال المغناطيسي  $B$  على محور السلك ( $r = 0$ ) يساوي صفرًا. كما تلاحظ أن شدة المجال  $B$  تتناسب طردياً مع بعدها عن المحور ( $r$ ) للنقاط الواقعة داخل السلك، بينما تتناسب شدة المجال  $B$  عند النقاط الواقعة خارج السلك عكسياً مع بعدها عن المحور (المعادلة 11-9). وببين الشكل (8-9 ب) رسماً توضيحيًا للعلاقة بين المجال  $B$  والبعد  $r$  عن محور السلك. ويتضح من هذا المثال سهولة التعامل مع قانون أمبير، فليس من السهل إيجاد المجال المغناطيسي داخل السلك الأسطواني في هذا المثل باستخدام قانون بيوت وسافارت.



الشكل (8-9 ب)

تناسب شدة المجال المغناطيسي الناشئ عن سلك معدني مستقيم وطويل، أسطواني الشكل نصف قطره  $R$  ويحمل تياراً شدته  $i$  عند نقطة تبعد المسافة  $r$  عن محور السلك طردياً مع  $r$  داخل السلك ( $r < R$ ) وعكسياً مع  $r$  خارج السلك ( $r > R$ ).

نماذج (7-9)

موصل اسطواني أجوف وطويل، نصف قطره الداخلي  $a$  والخارجي  $b$ ، يحمل تياراً شدته  $i$  وكثافته داخل مساحة مقطعيه متزايدة، انظر الشكل (9-9). أوجد المجال المغناطيسي عند نقطة تبعد مسافة  $r$  عن محور الموصل للحالات الآتية: (أ)  $a < r < b$ ، (ب)  $r > b$ ، (ج)  $r < a$ .

الحل:

(أ) من التسائل في الاسطوانة فإن شدة المجال المغناطيسي  $B$  عند جميع النقاط التي تبعد مسافة  $r$  عن محور الاسطوانة متساوية. نرسم مساراً مغلقاً مرکزه محور الاسطوانة وتمر في النقطة المطلوب إيجاد المجال عندها داخل التجويف، النقطة  $P_1$ ، ونطبق قانون أمبير عليه، فنجد أن:

$$\oint B_1 dl = \mu_0 i' = 0$$

إذاً المسار الواقع داخل التجويف الاسطواني (عندما  $a < r < b$ ) لا يحتوي على أي تيار خالٍ، وبالتالي، نستنتج أن:

$$B_1 = 0 ; (r < a)$$

الشكل (9-9)

(ب) نجد شدة المجال المغناطيسي  $B_2$  عند نقطة على بعد  $r$  ( $a < r < b$ )، بنفس الطريقة السابقة. حيث نختار مساراً مغلقاً يمر في النقطة المطلوب إيجاد المجال عندها (النقطة  $P_2$  مثلاً) ثم نطبق قانون أمبير على النحو التالي:

$$\oint B_2 dl = B_2 (2\pi r) = \mu_0 i''$$

حيث يمثل  $i''$  التيار المار داخل المسار المغلق الذي يمر في النقطة  $P_2$ . ويتبين من الشكل أن قيمة هذا التيار تساوي:

$$i'' = \frac{\pi(r^2 - a^2)}{\pi(b^2 - a^2)} i$$

وبالتعويض عن  $i''$ ، نجد أن:

$$B_2 = \frac{\mu_0 i(r^2 - a^2)}{2\pi r(b^2 - a^2)} ; (a < r < b)$$

(ج) أما شدة المجال المغناطيسي عند نقطة تقع خارج الاسطوانة ( $r > b$ ),  $P_3$  مثلاً، فيمكن إيجادها

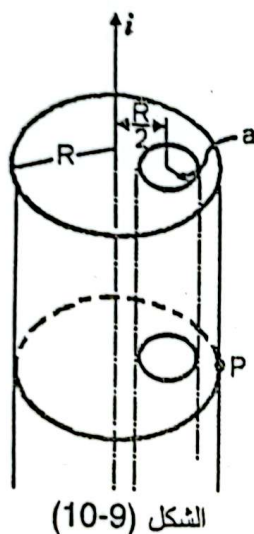
باختيار مسار مغلق نصف قطره  $r$  (أكبر من  $a$ )، يمر في النقطة المطلوب إيجاد المجال عندما، ثم تطبق قانون أمبير على المسار على النحو التالي:

$$\oint B_3 \, dl = B_3 (2\pi r) = \mu_0 i$$

حيث تمثل  $i$  هنا التيار الكلي الذي يمر في الموصل، إذ إنه هو التيار المار في المسار المغلق (الذي يمر في النقطة  $P_3$ ). ومن المعادلة السابقة، نجد أن:

$$B_3 = \frac{\mu_0 i}{2\pi r} ; (r > b)$$

### مثال (8-9)



اسطوانة معدنية طويلة، نصف قطرها  $R$ ، تحتوي على تجويف اسطواني على امتدادها نصف قطره  $a$ ، ويبعد محوره عن محور الاسطوانة المعدنية  $R/2$ ، كما في الشكل (10-9). إذا مر تيار  $i$  في الاسطوانة، فاحسب المجال المغناطيسي عند نقطة واقعة عند التقاء امتداد الخط الواصل بين محوري الاسطوانة والتجويف مع السطح، مثل النقطة  $P$  في الشكل.

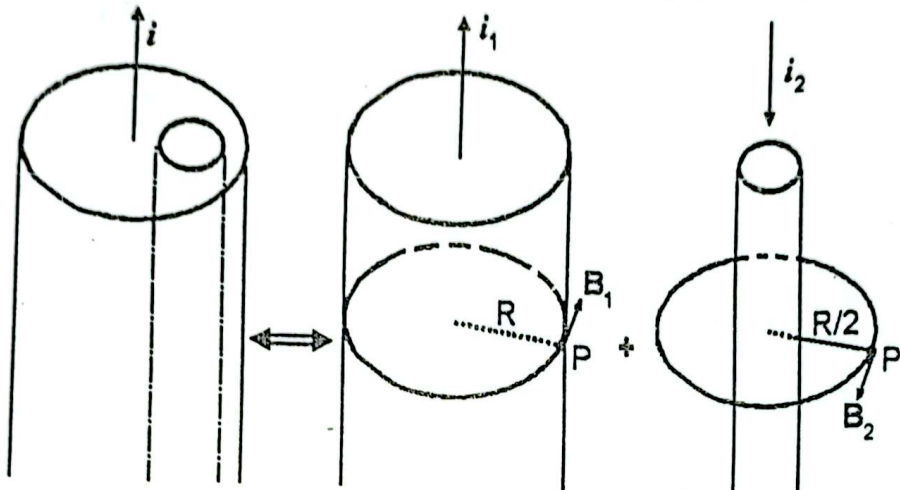
الشكل (10-9)

الحل:

يتضح من الشكل أن حل المسألة باستخدام قانون بيوت وسافارت أمر في منتهى الصعوبة، حيث يلزم إجراء عملية المكاملة حول جميع أجزاء الاسطوانة الحاملة للتيار. ولكن يمكن حل المسألة باستخدام قانون أمبير والاستعانة بمبدأ التراكب (superposition principle). حيث يكون تأثير التجويف على المجال المغناطيسي للأسطوانة مماثلاً لتأثير اسطوانة معدنية بنفس أبعاد التجويف الهندسية وتحمل تياراً معاكساً للتيار الاسطوانة الأصلي، موجودة مكان التجويف الاسطواني. أي أن شدة المجال المغناطيسي عند النقطة  $P$  الناتج عن الاسطوانة المحتوية على التجويف يساوي محصلة المجال المغناطيسي الناشئ عن اسطوانة معدنية مصممة (لا تحتوي على تجويف) والمجال المغناطيسي الناشئ عن الاسطوانة المعدنية المكافئة للتجويف الاسطواني.

ويمكن تبسيط فكرة التكافؤ الكهربائي هذه بالتعن في الشكل (11-9)، حيث تساوي كثافة التيار

المعاكس لـ المار في الاسطوانة الصغيرة، المكافأة للتجويف، كثافة التيار الأصلي  $J$  المار في الاسطوانة المحتوية على التجويف. وهكذا فإن دمج الاسطوانة الصغيرة مع الاسطوانة الكبيرة في المكان المناسب سيؤدي إلى حدوث منطقة خالية من الشحنات الحرة، بسبب تساوي كثافتي التيار، وهذا مكافئ تماماً للتجويف الاسطواني.



الشكل (11-9)

وتلاحظ من الشكل (11-9) أن المجال المغناطيسي الكلي  $B$  يساوي:

$$B = B_1 + B_2$$

حيث تمثل  $B_1$  المجال المغناطيسي عند النقطة  $P$  الناشئ عن الاسطوانة المصمتة و يؤثر باتجاه معاكس لاتجاه عقارب الساعة عند النقطة. و تمثل  $B_2$  المجال المغناطيسي الناتج عن الاسطوانة المكافأة للتجويف، حيث يؤثر هذا المجال باتجاه عقارب الساعة عند النقطة  $P$ ، لأن التيار المار فيها متوجه إلى الأسفل.

و تمثل عملية جمع المجالين  $B_1$  و  $B_2$  مبدأ التراكب والذي هو هنا ببساطة عبارة عن جمع متجهات. و يتضح من الشكل أن اتجاهي  $B_1$  و  $B_2$  متعاكسان، إذ أنهما مماسان متعاكسان. و بتطبيق قانون أمبير على المسارين المغلقين المارين في النقطة  $P$  الموضعين في الشكل (11-9) يمكننا إيجاد قيمة  $B_1$  و  $B_2$ ، كل على حدة، على النحو التالي:

$$\oint B_1 \cdot dI = B_1 \oint dI = B_1 (2\pi R) = \mu_0 i_1$$

حيث يمثل  $i_1$  التيار المار خلال الاسطوانة الافتراضية التي نصف قطرها  $R$ ، أي أن:

$$i_1 = J(\pi R^2) = \frac{i}{\pi(R^2 - a^2)} \pi R^2 = i \frac{R^2}{R^2 - a^2}$$

وبالتعریض عن  $i_1$  في معادلة المجال  $B_1$  أعلاه، نجد أن:

$$B_1 = \frac{\mu_0 i}{2\pi} \frac{R}{(R^2 - a^2)}$$

وكلذلك، فإن:

$$\oint B_2 \cdot dI = B_2 \oint dI = B_2 \left( 2\pi \frac{R}{2} \right) = \mu_0 i_2$$

حيث يمثل  $i_2$  التيار المار خلال الاسطوانة الافتراضية التي نصف قطرها  $a$  والمكافئة للتجويف.

وبنفس الطريقة التي تم بها إيجاد  $i_1$  نجد  $i_2$ . أي أن:

$$i_2 = i \frac{a^2}{R^2 - a^2}$$

وبالتعويض عن  $i_2$  في معادلة المجال  $B_2$  أعلاه، نجد أن:

$$B_2 = \frac{\mu_0 i}{\pi R} \frac{a^2}{(R^2 - a^2)}$$

وهكذا فإن المجال المغناطيسي المُحصل عند النقطة P يكون:

$$B = B_1 - B_2 = \frac{\mu_0 i R^2}{2\pi R (R^2 - a^2)} - \frac{\mu_0 a^2 i}{\pi R (R^2 - a^2)} = \frac{\mu_0 i}{2\pi R} \left( \frac{R^2 - 2a^2}{R^2 - a^2} \right)$$

أو:

$$B = \frac{\mu_0 i}{2\pi R} \left( \frac{1 - 2a^2/R^2}{1 - a^2/R^2} \right)$$

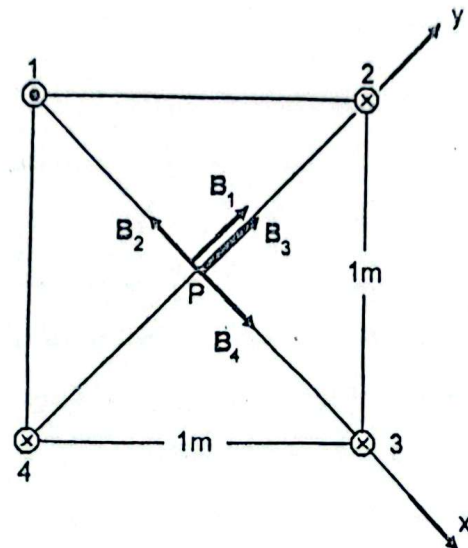
تدل الإشارة السالبة على تعاكس اتجاهي المجالين  $B_1$  و  $B_2$  وأن المجال المُحصل  $B$  في اتجاه  $B_1$ .

### مثال (9-9)

يبين الشكل (12-9) مقطعاً عرضاً لأربعة أسلاك طويلة، متوازية وعمودية على مستوى الورقة تُنحرق رؤوس مربع طول ضلعه  $a = 1\text{ m}$ . إذا مر تيار شدته  $2A$  في كل من الأسلاك الأربع في الاتجاهات المبينة في الشكل، فاحسب المجال المغناطيسي عند النقطة P الواقعه في مركز المربع.

الحل:

يؤثر عند النقطة P أربعة مجالات مغناطيسية نتيجة مرور التيار في الأسلاك الأربع. وباستخدام قاعدة اليد اليمنى يمكننا تحديد اتجاه كل من هذه المجالات عند النقطة P، كما هو مبين في الشكل (12-9). بما أن التيارات المارة في الأسلاك الأربع متساوية، وأبعاد النقطة P عن هذه الأسلاك متساوية أيضاً، فإن:



(12-9)

$$B_1 = B_2 = B_3 = B_4 = \frac{\mu_0 i}{2\pi \frac{a}{2} \sqrt{2}} = \frac{4\pi \times 10^{-7} \times 2}{\pi \times 1\sqrt{2}} = 5.66 \times 10^{-7} \text{ T}$$

ولإيجاد المجال المغناطيسي المحصل نختار محوريين متعامدين x و y، على النحو المبين في الشكل، ثم نمثل المجالات الأربعية عند النقطة P بالمعادلات التالية:

$$\mathbf{B}_1 = +5.66 \times 10^{-7} \hat{j}$$

$$\mathbf{B}_2 = -5.66 \times 10^{-7} \hat{i}$$

$$\mathbf{B}_3 = +5.66 \times 10^{-7} \hat{j}$$

$$\mathbf{B}_4 = +5.66 \times 10^{-7} \hat{i}$$

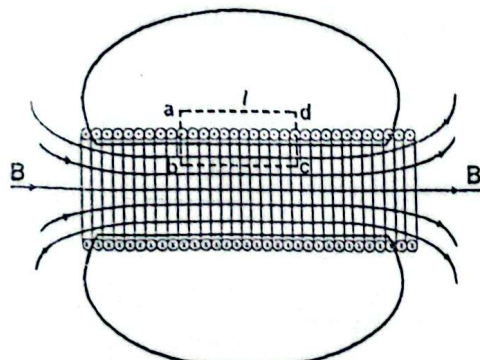
وبجمع المجالات الأربعية نجد أن المجال المغناطيسي المحصل عند النقطة P ناتج عن مجموع المجالين  $\mathbf{B}_1$  و  $\mathbf{B}_3$  فقط لأن المجالين  $\mathbf{B}_2$  و  $\mathbf{B}_4$  يلغيان بعضهما بعضاً. وهكذا فإن المجال المغناطيسي المحصل يكون:

$$\mathbf{B} = 11.32 \times 10^{-7} \hat{j} \text{ (T)}$$

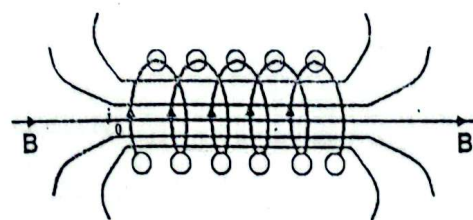
أي أن قيمة المجال المغناطيسي المحصل عند النقطة P تساوي  $11.32 \times 10^{-7}$  T، ويؤثر باتجاه محور y الموجب.

## □ 5-9 الملف اللولبي (The Solenoid)

يتكون الملف اللولبي من سلك ملفوف على أسطوانة بلفات متراصة. وعند مرور تيار في الملف يتوازى داخله مجال مغناطيسي منتظم تقريباً، ويعمل الملف عندما عمل قضيب مغناطيسي. وتكون شدة المجال المغناطيسي داخل الملف كبيرة، إذ إنها تمثل المجالات الناتجة عن التيارات المارة في كل لفة (أو عروة) من لفات الملف. ويبين الشكل (13-9) مجال الملف اللولبي عند مرور تيار ثابت  $I$  خلاله، وعند فصل اللفات وإبعادها عن بعضها بعضاً، حيث تلاحظ أن خطوط المجال المغناطيسي قرب سطح سلك أي من اللفات يكون على شكل دوائر، تماماً كما هي الحال مع خطوط المجال لسلك مستقيم حامل لتيار. وتلغى المجالات المغناطيسية بعضها بعضاً بين لفتين متجاورتين، في حين أنها تجمع بعضها إلى بعض داخل الملف اللولبي لتعطي مجالاً منتظاماً تقريباً. وإذا قربت هذه اللفات بعضها إلى بعض وأصبحت متلاصقة، يصبح المجال المغناطيسي منتظماً داخل الملف وموازياً لمحوره، كما هو مبين في الشكل (14-9). ويصبح المجال خارج الملف ضعيفاً للغاية، إذا ما قرنت بال المجال داخله، ولا ينطبق هذا تماماً على المجال عند طرف في الملف، إذ أن خطوط المجال تبدأ هناك بالابتعاد بعضها عن بعض والانتشار في المنطقة الواقعة خارج الملف، فنقل شدة المجال المغناطيسي الناتج عنها وبالتالي عند الطرفين.



الشكل (14-9)



الشكل (13-9)

لحساب المجال المغناطيسي داخل ملف لولبي طويل يحمل تياراً ثابتاً  $I$ ، نطبق قانون أمبير على مسار متناسب، كالمسار  $abcd$  في الشكل (14-9). حيث يمكن النظر إلى هذا المسار على أنه مكون من أربعة أجزاء هي:  $ab$  و  $bc$  و  $cd$  و  $da$ . ومن ثم يكتب الطرف الأيسر لقانون أمبير على النحو التالي:

$$\oint \mathbf{B} \cdot d\mathbf{l} = \int_a^b \mathbf{B} \cdot d\mathbf{l} + \int_b^c \mathbf{B} \cdot d\mathbf{l} + \int_c^d \mathbf{B} \cdot d\mathbf{l} + \int_d^a \mathbf{B} \cdot d\mathbf{l}$$

وبما أن المجال المغناطيسي خارج الملف اللولبي صغير جداً، فإنه يمكن إهماله إذا ما قرنت المجال داخل الملف. وبالتالي يصبح التكامل للمسار  $da$  يساوي صفرًا. من ناحية أخرى يكون المجال  $B$  داخل

الملف عمودياً على المسارين  $ab$  و  $cd$ ، ويتساوي المجال صفرًا تقريبًا في المنطقة بين لفات الملف وخارجها. لذلك فإن التكاملين حول المسارين  $ab$  و  $cd$  يساويان صفرًا، ونستطيع إهمالهما. وعليه فإن تكامل المجال المغناطيسي حول المسار المغلق  $abcda$  يعطى بالمعادلة:

$$(14-9) \quad \oint \mathbf{B} \cdot d\mathbf{l} = \int_b^c \mathbf{B} \cdot d\mathbf{l} = B \int_b^c dl = BI$$

حيث تمثل  $B$  هنا المجال المغناطيسي داخل الملف اللولبي وتمثل  $/$  طول الجزء  $bc$  من المسار المغلق. أخيراً نحسب التيار المار في المسار المغلق ثم نعرض عنه في قانون أمبير. فإذا افترضنا أن المسار المغلق يحتوي على  $N$  لفة، فإن التيار الكلي داخل هذا المسار يكون  $i_0 N$ ، ومن ثم نستنتج أن:

$$\oint \mathbf{B} \cdot d\mathbf{l} = BI = \mu_0 N i_0$$

وإذا رمزنا لعدد اللفات الموجودة في وحدة الطول من الملف بالرمز  $n$ ، أي إذا وضعنا  $N/l = n$ ، تصبح قيمة المجال المغناطيسي:

$$(15-9) \quad B = \mu_0 n i_0$$

وتلاحظ من هذه النتيجة أن المجال المغناطيسي  $B$  داخل الملف اللولبي يعتمد فقط على عدد اللفات لكل وحدة طول وعلى التيار المار في الملف. ولا يعتمد على المكان، وبالتالي فإنه يكون منتظمًا هناك (بعيداً عن طرفيه بالطبع).

يتكون الملف اللولبي من سلك ملفوف على أسطوانة بلفات متراصة. تكون شدة المجال المغناطيسي  $B$  داخل الملف اللولبي (باستثناء طرفيه) منتظمة إذ تعتمد قيمتها فقط على عدد اللفات لكل وحدة طول وعلى التيار المار في الملف. ولا تعتمد قيمة  $B$  على المكان.

### مثال (10-9)

احسب شدة المجال المغناطيسي داخل ملف لولبي طوله 50 cm ويحوي على 1000 لفة عندما يمر به تيار شدته 3 A.

الحل:

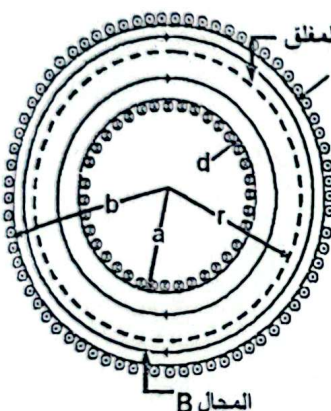
نجد شدة المجال المغناطيسي داخل الملف اللولبي بتطبيق المعادلة (15-9):

$$B = \mu_0 n i_0 = 4\pi 10^{-7} \times \frac{1000}{0.50} \times 3 = 7.54 \times 10^{-3} T = 75.4 G$$

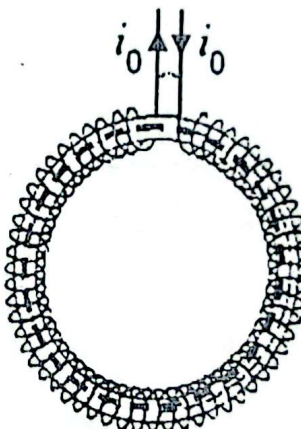
## □ 6-9 الملف الإطاري (The Toroid)

الملف الإطاري ملف لولبي مثني على شكل إطار، بحيث لم تعد له أطراف، كما في الشكل (15-9). ويبين الشكل (16-9) مقطعًا عرضيًّا لملف إطاري عدد لفاته  $N$  ويحمل تيارًا شدته  $i_0$ . ويتبين من التمايل أنَّ خطوط المجال المغناطيسي الناشئة عن مرور التيار في الملف ستكون بشكل دوائر متعددة المركز داخل الملف. ولو اعتبرنا إحدى هذه الدوائر التي نصف قطرها  $2r$  كمسار مغلق، وطبقنا قانون أمبير عليها، نجد أنَّ:

$$\oint \mathbf{B} \cdot d\mathbf{l} = B \oint dl = B(2\pi r) = \mu_0 N i_0$$



الشكل (16-9)



الشكل (15-9)

حيث أنَّ المجال عند جميع النقاط على المسار المغلق المنقطع في الشكل (16-9) ثابت وأنَّ التيار الكلي داخله  $i_0 N$ . وهكذا، فإنَّ شدة المجال المغناطيسي داخل الملف الإطاري

$$B = \frac{\mu_0 N i_0}{2\pi r} ; (a < r < b) \quad (16-9)$$

لاحظ أنَّ قيمة المجال المغناطيسي  $B$  داخِل الملف الإطاري ليست منتظمة ولكنها تتغير عكسياً مع تغير  $r$  وهذا معاير لمجال الملف اللولبي الذي سبق أنَّ وجده لا يعتمد على المكان داخله، أما إذا كان قطر كل عروة (المسافة  $d$  في الشكل 16-9) صغيراً بالنسبة للبعد  $2r$  فإنه يمكن اعتبار  $B$  ثابتة داخِل الملف الإطاري. وأما المجال  $B$  فيساوي صفرًا عندما تكون  $a > r > b$ ، ونترك لك برهان ذلك.

الملف الإطاري هو ملف لولبي مثني على شكل إطار بحيث لم تعد له أطراف. تعتمد شدة المجال المغناطيسي  $B$  داخِل الملف الإطاري على المكان. وبالتالي فهي ليست منتظمة داخله.

شدة المجال المغناطيسي  $B$  خارج الملف الإطاري تساوي صفرًا.

### مثال (11-9)

نـى ملف لولـي عـدـد لـفـاتـه 3000 عـلـى شـكـل إـطـار فـاصـبـع نـصـف قـطـرـه الدـاخـلـي 50 cm وـالـخـارـجـي 60 cm. ما مـقـدـار التـيـار الكـهـربـائـي الـلـازـم تـمـريـره فـي المـلـف لـلـحـصـول عـلـى مـجـال مـغـناـطـيسـي فـي مـرـكـز العـرـى شـتـه T 0.03

الـحـلـ:

لـإـيجـاد التـيـار الـلـازـم تـمـريـره فـي المـلـف نـسـتـخـدـم المعـادـلـة (16-9) التـالـيـة:

$$B = \frac{\mu_0 N i_0}{2\pi r}$$

$$0.03 = \frac{4\pi \times 10^{-7} \times 3000 \times i_0}{2\pi \times \left( \frac{0.50 + 0.60}{2} \right)}$$

$$i_0 = 27.5 A$$

وـمـنـهـا فـانـ:

لـاحـظ أـنـا عـوـضـنـا عـن 2 بـمـتوـسـط نـصـف قـطـر المـلـف الإـطـاري (r = 0.55 m)، وـهـذـا يـمـثـل بـعـد مـرـكـز العـرـى عـن مـرـكـز المـلـف الإـطـاري.

### □ 7-9 الخواص المغناطيسية للمواد

رأـيـنا فـي الفـصـل الـخـامـس أـنـ وـضـع مـادـة عـازـلـة فـي مـجـال كـهـربـائـي E يـعـمل عـلـى إـضـعـاف المـجـال لـيـصـبـح K/E، حـيـثـ K مـعـالـمـ العـزلـة لـلـمـادـة، وـبـالـمـثـل فـانـ وـضـع مـادـة فـي مـجـال مـغـناـطـيسـي B يـعـمل عـلـى تـغـيـير المـجـال لـيـصـبـح K\_M B، حـيـثـ K\_M يـعـدـيـةـ المـغـناـطـيسـيـةـ النـسـبـيـةـ (Relative Permeability) للـمـادـة، وـيـقـدـدـ بالـإـنـفـاذـيـةـ النـسـبـيـةـ لـلـمـادـةـ النـسـبـيـةـ بـيـنـ ثـابـتـ إـنـفـاذـيـهـا μ وـثـابـتـ إـنـفـاذـيـهـ الفـرـاغـ 0.01ـ لـلـتأـثـيرـ المـغـناـطـيسـيـ، ايـ أـنـ:

$$K_M = \frac{\mu}{\mu_0}$$

وـتـصـنـفـ المـوـادـ المـغـناـطـيسـيـةـ بـتـبعـاـ لـمـقـدـارـ معـالـمـ الإـنـفـاذـيـةـ النـسـبـيـةـ K\_M. فـيـطـلـقـ عـلـىـ المـوـادـ الـتـيـ تـكـونـ قـيـمةـ K\_M لـهـاـ أـقـلـ مـنـ 1ـ اـسـمـ المـوـادـ الـدـيـامـغـناـطـيسـيـةـ، كـمـاـ يـطـلـقـ عـلـىـ المـوـادـ الـتـيـ تـكـونـ قـيـمةـ K\_M لـهـاـ أـكـثـرـ مـنـ 1ـ بـقـلـيلـ اـسـمـ المـوـادـ الـبـارـامـغـناـطـيسـيـةـ، وـيـطـلـقـ عـلـىـ المـوـادـ الـتـيـ تـكـونـ قـيـمةـ K\_M لـهـاـ أـكـثـرـ بـكـثـيرـ مـنـ 1ـ اـسـمـ المـوـادـ الـفـرـومـغـناـطـيسـيـةـ. وـتـعـنـدـ قـيـمةـ المعـالـمـ K\_M عـلـىـ المـجـالـ المـغـناـطـيسـيـ المؤـثـرـ وـعـلـىـ الطـرـيـقـةـ الـتـيـ تـعـالـمـ بـهـاـ الـمـادـةـ. وـفـيـماـ يـلـيـ تـنـاقـشـ باـخـتـصـارـ سـبـبـ تـأـثـيرـ بـعـضـ الـمـوـادـ بـالـمـجـالـ المـغـناـطـيسـيـ بـمـقـدـارـ كـبـيرـ فـيـ حـينـ يـتـأـثـرـ بـعـضـهـاـ الـأـخـرـ تـأـثـيرـ قـلـيلـ بـالـمـجـالـ.

**المواد الديامغناطيسية (Diamagnetic Materials)**

إن ظاهرة تمغثط المواد نتيجة وضعها تحت تأثير مجال مغناطيسي خارجي يعود إلى سببين، الأول هو تراصف الذرات والجزيئات التي تمتلك عزوماً مغناطيسية دائمة، والثاني هو التغير الذي يحدث في حركة الإلكترونات في ذرات المادة، وكما تعلم فإن المجال المغناطيسي يؤثر بقوة مغناطيسية على الشحنات المتحركة فيه، فمن الطبيعي إذن أن تتعرض الإلكترونات التابعة لذرات المادة أو جزيئاتها إلى هذه القوة الإضافية الناجمة عن المجال المغناطيسي الخارجي المستخدم، وينتج عن هذه القوة الإضافية تغير في حركة الإلكترونات في الذرة مما يؤدي إلى تكون ما يكفي تياراً إضافياً محثلاً فيها ينشأ عنه عزم مغناطيسي محثث (induced magnetic dipole) للذرة، ويكونعكس اتجاه المجال المغناطيسي المستخدم، وعليه فإن المادة كل سوف تتمغثط باتجاه مضاد للمجال المغناطيسي الخارجي فتضعفه. ولهذا السبب تدعى هذه المواد بالديامغناطيسية (Diamagnetic) و Dia و Diamagnetic تعني ضد. فعد تقريب مثل هذه المواد، كالبزموت مثلاً، من مغناطيس قوى نلاحظ نفورها عنه. ويمكن القول أن ظاهرة الديامغناطيسية موجودة في جميع المواد بدون استثناء، لكنها قد لا تظهر في معظمها وذلك لوجود تأثير آخر مضاد أقوى منها فيحجبها ويعيق ظهورها. وتمتاز هذه المواد كما أسلفنا بمعامل إنفاذية نسبية KM أقل من 1 بقليل.

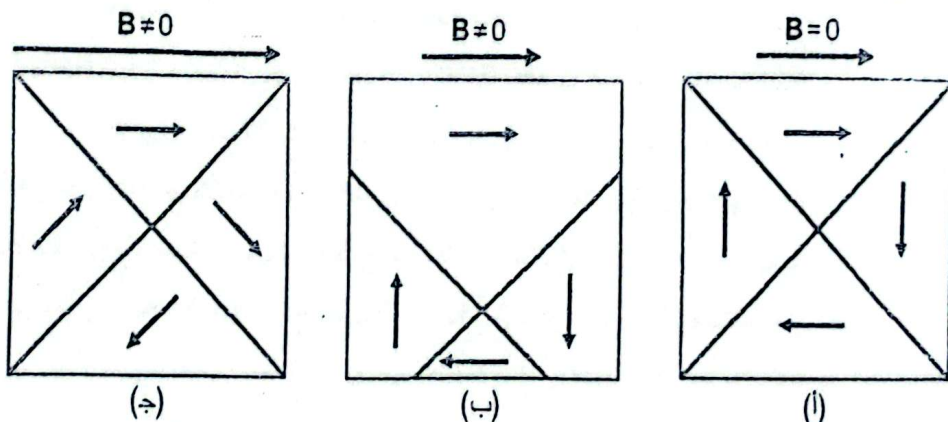
**المواد البارامغناطيسية (Paramagnetic Materials)**

هناك العديد من الذرات التي تمتلك خصائص مغناطيسية، وذلك لأن العزوم المغناطيسي للكتروناتها سواء التي تنشأ عن الحركة الدورانية أو الحركة المغزلية (spin) تتعادل فيما بينها ويمحو أحدها تأثير الآخر، فتكتون محصلة العزم المغناطيسي للذرة كما هو الحال في عنصر النيون (Ne). ولكن هناك ذرات أخرى لا يحدث فيها هذا التعادل التام في العزوم المغناطيسي لجميع إلكتروناتها، تلك الذرات هي التي تمتلك عزم مغناطيسياً دائماً (pm). ونعتبرها ثانيات أقطاب مغناطيسية كنظيراتها الجزيئات القطبية (polar molecules) التي تعتبر ثانيات أقطاب كهربائية. فإذا سلط مجال مغناطيسي على عينة من مثل هذه الذرات فإنه ينشأ عزم يدور ثانيات الأقطاب المغناطيسية الممثلة لها ويؤدي إلى تراصتها باتجاه مواز للمجال المسلط عليها فينتج عن ذلك تمغثط إضافي، لكنه ضعيف، ويعمل على تقوية المجال المغناطيسي الخارجي، لهذا فإن معامل الإنفاذية النسبية KM لهذه المواد يكون أكبر من 1 بقليل. وتدعى المواد التي تتصرف بهذه الطريقة بالمواد البارامغناطيسية (Paramagnetic materials) و Para، تعني موازي. ومن الأمثلة عليها الألミニوم والزنك.

**المواد الفرومغناطيسية (Ferromagnetic Materials)**

تظهر الخواص المغناطيسية في المواد الفرومغناطيسية بشكل واضح، حتى بالتأثير عليها بمجال مغناطيسي خارجي ضعيف، ويطلق على هذه المواد أيضاً اسم الحديدومغناطيسية

Ferro (Ferromagnetic) تعني حديدي، نسبة إلى الحديد الذي يُعد من أشهر هذه المواد. وتتميز هذه المادة في قابليتها للتمغثط العالي والدائم. ويعتمد مقدار التمغثط في هذه المادة على شدة المجال المغناطيسي الممغثط، وبُعْزى سبب التمغثط العالي الذي تكتسبه هذه المادة بصورة رئيسية إلى وجود نوع من التأثير المتبادل بين ذرات كل مجموعة من الذرات المجاورة للمادة يؤدي إلى بقائهما مترافقين باتجاه واحد. أما طبيعة هذا التأثير الذي ينبع عن قوى كبيرة تعمل على إبقاء العزم المغناطيسي لذرات المجموعة الواحدة متوازية، فهو موضوع في غاية التعقيد ولا يمكن شرحه إلا على ضوء الميكانيكا الكمية (quantum mechanics). إن كل مجموعة من الذرات التي تكون عزوّمها في اتجاه واحد تدعى حقولاً (domain). وتكون الحقول (المناطق) المختلفة لمادة غير ممغثطة موزعة بصورة عشوائية داخل المادة باتجاهات مختلفة. لذا تكون محصلة التمغثط فيها صفراء (انظر الشكل 17-9 أ). ولكن إذا تعرضت هذه المادة لمجال مغناطيسي خارجي  $B$  فإنها تكتسب تمغثطاً ينشأ عن عاملين، الأول هو حدوث نمو في الحقول الأكثر استقامة مع المجال الخارجي الممغثط على حساب الحقول الأخرى (انظر الشكل 17-9 ب). أما العامل الثاني فهو دوران الحقول التي ليست باتجاه المجال الخارجي المسلط بحيث تصبح أكثر استقامة مع المجال (انظر الشكل 17-9 ج). وكلما ازداد المجال الخارجي المسلط زادت استقامة الحقول باتجاهه حتى تصبح جميع الحقول بنفس اتجاه المجال المستخدم.



الشكل (17-9)

وعندئذ تصبح المادة في حالة إشباع مغناطيسي. وإذا عاد المجال الخارجي إلى الصفر فإن بعض الحقول تحفظ باتجاهها الموازي لاتجاه المجال الأصلي مما يؤدي إلى احتفاظ المادة بالخواص المغناطيسية بصورة دائمة.

إن تمغثط المادة الفرومغناطيسية يعتمد على درجة حرارتها. فكل مادة درجة حرارة معينة تدعى درجة حرارة كوري (Curie temperature)، تفقد عندها المادة خواصها المغناطيسية نتيجة لتهيج الذرات وعودتها لترتيب نفسها بشكل عشوائي وتحول إلى مادة بارامغناطيسية. ومن الأمثلة على المواد الفرومغناطيسية الحديد (Fe) والكربونات (Co) والنikel (Ni).

## النظرية الكاري أمبير

### André Marie Ampère



رُوَيْد أمبير عام 1775 في مدينة ليون الفرنسية، لعائلة ميسورة الحال، وأهتم والده بتدريسه وبعث الفضول العلمي في نفسه لدرجة أن الشاب انصغير فرأى الموسوعة الفرنسية كاملة وبالترتيب الأبجدي. وبدأ اهتمامه بالرياضيات مبكراً وأرسل بمقابل علمي لأكاديمية العلوم في ليون وهو في سن الثالثة عشرة.

في السنة التالية، 1789، وهي سنة الثورة الفرنسية كان أبوه أحد ضحاياها وأعدم بالمفصلة. ومع أن أمبير لم يكن حاصلاً على أي شهادة مدرسية أو جامعية إلا أن موهبه وعلمه سمحا له بأن يدرس الرياضيات في الفترة بين عامي 1797 و 1802، حتى عُين أستاذًا للفيزياء والكميات في إحدى مدارس الهندسة الكبرى في ضواحي باريس. وانتقل أمبير للإقامة نهائياً في باريس بعد وفاة زوجته الأولى وأصبح أستاذًا للرياضيات في مدرسة البوليتكنيك المعروفة. كان كوشي (Cauchy)، وهو أحد أبرز ممثلين المدرسة الفرنسية في الرياضيات في القرن التاسع عشر، زميلاً لأمير وكان الطلاب يفضلون أمبير لسهولة شرحه مقارنة بتعقيد فرضيات زميله كوشي. وفاز أمبير بمقعد في المعهد الوطني للعلوم الذي أصبح أكاديمية العلوم الفرنسية بعد أن تغلب على منافسه للمقعد كوشي. تعدد اهتمامات أمبير العلمية في تلك الفترة من الرياضيات إلى الكيمياء (يعود الفضل إلى أمبير في التبريز بوجود عنصر الفلور والتي عمل تصنيف للعناصر عام 1816) والتي الضوء في الفيزياء. وفي بداية العشرينات من القرن التاسع عشر اهتم أمبير بالكهرباء والمagnetismus بعد أن سمع باكتشاف أورستن في هولندا. وبعد عام من اكتشاف أورستن، وضع أمبير قانونه المشهور. وفي عام 1826 نشر كتابه "اطروحات في النظرية الرياضية للظواهر الكهرومغناطيسية المبنية فقط على التجربة". الذي ضممه كل نظرياته وأرائه في الكهرباء والمagnetismus وسط منافسة حادة مع فيزيائين فرنسيين مثل بيوت وباسون. وفي نفس العام بدأ أمبير بإعطاء دروس في الكهرومغناطيسика في الكوليج دو فرانس (Collège de France)، وهي أشهر مؤسسات فرنسا العلمية حتى الآن. وتوفي أمبير عام 1836، بعد حياة علمية مليئة بالإنجازات وحياة اجتماعية باحثة، في مدينة مرسيليا، أكبر موانئ فرنسا على البحر الأبيض المتوسط.

بتصرف عن

<http://www-history.mcs.st-andrews.ac.uk/Mathematicians/Ampere.html>

## ملخص الفصل التاسع

1. قانون بيوت - سافارت هو قانون استقى من التجربة ويعطي شدة المجال المغناطيسي الناتج عن تيار كهربائي في نقطة ما.

2. يعطي المجال المغناطيسي الناتج عن عنصر تيار ( $i dl$ ) في نقطة تبعد المسافة  $r$  عنه والمعرفة بالتجهيز حسب قانون بيوت - سافارت بالمعادلة التالية:

$$dB = \frac{\mu_0}{4\pi} \frac{i dl \times \hat{r}}{r^2}$$

حيث  $\hat{r} = \frac{\vec{r}}{|\vec{r}|}$  هو تتجه الوحدة في اتجاه  $\vec{r}$ .

3. المجال المغناطيسي الناتج عن سلك لانهائي الطول ويحمل تياراً شدته  $i$  في نقطة تبعد ما

$$B = \frac{\mu_0 i}{2\pi R} \text{ عند } R$$

4. شدة المجال المغناطيسي الناتج عن ثاقبتي مغناطيسي (عروة تيار) عزمها  $M$  في نقطة ما تبعد مسافة  $X$  عنه تتناسب طردياً مع  $M$  وعكسياً مع  $X^3$ , أي أن:

$$B \approx \frac{\mu_0 M}{2\pi X^3}$$

5. ينص قانون أمبير على أن التكامل الخطى لشدة المجال المغناطيسي الناتج عن تيار كهربائي ما شدته  $i$  في مسار مغلق، يتتناسب طردياً مع  $i$ . وإذا كان الوسط هو الفراغ فإن

$$\oint B \cdot dL = \mu_0 i$$

6. الملف اللولبي عبارة عن سلك ملفوف على أسطوانة بلفات متراصة. وعند مرور تيار في الملف يتولد داخله مجال مغناطيسي منتظم تقريباً. ويعطي شدة المجال المغناطيسي داخل الملف إذا كانت شدة التيار المار في الملف هي  $i_0$  بالنسبة:

$$B = \mu_0 n i_0$$

حيث  $n$  يمثل عدد اللفات في وحدة الطول.

7. الملف الإطاري ملف لولبي مثني على شكل إطار، بحيث لم تعد له أطراف. فإذا كان نصف قطر الملف الداخلي  $a$  ونصف قطره الخارجي  $b$  وعدد لفاته هو  $N$  وإذا كانت شدة التيار المار فيه هي  $i_0$  فإن شدة المجال المغناطيسي داخله وعلى بعد  $r$  من مركزه تساوي:

$$B(r) = 0 ; (r < a \text{ و } r > b) \quad B(r) = \frac{\mu_0 N i_0}{2\pi r} ; (a < r < b)$$

## تمارين

1: يمر تيار شدته  $A = 10$  بانتظام في سلك موصل طوله  $10\text{ cm}$ . إن قيمة شدة المجال المغناطيسي الناتج عن التيار في نقطة تبعد مسافة  $3\text{ cm}$  عن السلك تساوي:

- (ا)  $199.5 \mu\text{T}$       (ب)  $133.0 \mu\text{T}$       (ج)  $66.5 \mu\text{T}$       (د)  $33.3 \mu\text{T}$

2: يمر تيار شدته  $A = 1$  بانتظام في سلك موصل على شكل ربع حلقة نصف قطرها  $15\text{ cm}$ . إن قيمة شدة المجال المغناطيسي الناتج عن التيار في مركز الحلقة تساوي:

- (ا)  $1.2 \mu\text{T}$       (ب)  $3.3 \mu\text{T}$       (ج)  $6.6 \mu\text{T}$       (د)  $13.2 \mu\text{T}$

3: سلك اسطواني من النحاس نصف قطر مقطعه  $4\text{ cm}$  ويحمل تياراً شدته  $A = 4$ , إن قيمة المجال المغناطيسي عند نقطة  $P$  تقع داخل السلك وعلى بعد  $2\text{ cm}$  عن المحور تساوي:

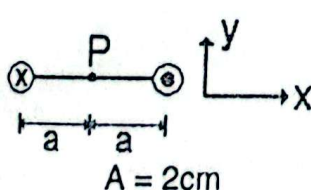
- (ا)  $10 \mu\text{T}$       (ب)  $15 \mu\text{T}$       (ج)  $20 \mu\text{T}$       (د)  $25 \mu\text{T}$

4: سلكان معدنيان طويلان ومتوازيان البعد بينهما  $1\text{ m}$  يحملان تيارين شدة كل منها  $5\text{ A}$  باتجاهين متعاكسين. إن شدة المجال المغناطيسي عند نقطة واقعة في منتصف المسافة بينهما تساوي:

- (ا) صفراء      (ب)  $0.4 \mu\text{T}$       (ج)  $2.0 \mu\text{T}$       (د)  $4.0 \mu\text{T}$

5: في السؤال السابق إن القوة التي يؤثر بها أحد السلكين على الآخر (بوحدة  $10^{-6} \text{ N}$ ) تساوي:

- (ا) 2      (ب) 3      (ج) 4      (د) 5



6: سلكان طويلان مستقيمان ومتوازيان والمسافة بينهما تساوي  $4\text{ cm}$  ، يمر في السلكين تياران متساويان متعاكسان في الاتجاه (الأول داخل في مستوى الورقة والثاني خارج منها) شدة كل منها  $3\text{ A}$ .

إن شدة المجال المغناطيسي الناتج من السلكين عند النقطة  $P$  (منتصف الخط الواصل بين

السلكين) - انظر الشكل المرافق- تساوي:

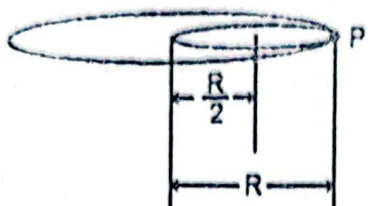
- (ا)  $100 \mu\text{T}$  واتجاهه إلى الأعلى ( $y^+$ )      (ب)  $100 \mu\text{T}$  واتجاهه إلى الأعلى ( $y^+$ )

- (ج)  $100 \mu\text{T}$  واتجاهه إلى الأسفل ( $y^-$ )      (د)  $100 \mu\text{T}$  واتجاهه إلى الأسفل ( $y^-$ )

7: اعتبر سلكاً اسطوانياً طويلاً جداً ونصف قطره قاعده  $R = 4\text{ cm}$ . إذا عمل تجريف في

السلك على امتداده نصف قطره  $2\text{ cm}$  بحيث كان محور التجريف يبعد مسافة مقدارها  $R/2$

عن محور السلك وموازياً له.



إذا مرر تيار شدته  $A = i$  في السلك  
(بعد عمل التجويف)، فإن شدة المجال  
المغناطيسي في النقطة P (انظر  
الشكل) تساوي:

- (أ)  $10 \mu T$  (ب)  $20 \mu T$  (ج)  $30 \mu T$  (د)  $40 \mu T$

مساعدة: التيار المُعطى في المسألة هو التيار المار في السلك بعد عمل التجويف وكثافته هي

$$J = \frac{4i}{3\pi R^2}$$

8: ملف لوبي عدد لفاته 1000 لفة وطوله 20 cm ، إن شدة التيار الكهربائي اللازم إمراره في  
الملف لكي تكون قيمة المجال المغناطيسي داخل الملف  $T = 0.04$  T تساوي:

- (أ) 1.59 A (ب) 4.77 A (ج) 6.36 A (د) 3.18 A

9: ملف لوبي عدد لفاته 10000 لفة وطوله 2 m ، يمر به تيار شدته 3 A. إن شدة المجال  
المغناطيسي، بوحدة  $mT$ ، داخل الملف تساوي:

- (أ)  $6\pi$  (ب)  $3\pi$  (ج)  $1.5\pi$  (د)  $12\pi$

10: ملف إطاري عدد لفاته 10000 لفة ونصف قطره الداخلي يساوي 20 cm ونصف قطره  
الخارجي 30 cm ، إن شدة التيار الكهربائي اللازم إمراره في الملف لكي تكون قيمة المجال  
المغناطيسي في مركز عري الملف  $T = 0.04$  T تساوي:

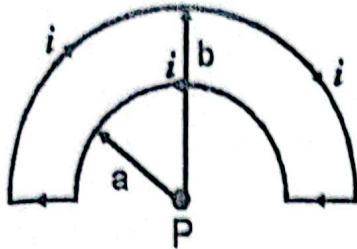
- (أ) 1 A (ب) 5 A (ج) 10 A (د) 15 A

### مسائل

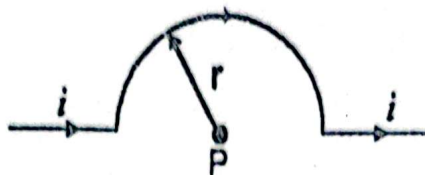
1-9 سلك معدني رفيع طويل ومستقيم يحمل تياراً شدته A . أوجد بعد النقطة (أو النقطتين) عن  
المحور التي يكون فيها شدة المجال المغناطيسي تساوي  $T = 20 \mu T$ .

2-9 ثُلثي سلك معدني رفيع طوله 10 cm على النحو المبين في الشكل (18-9). فإذا مر تيار  
في السلك شدته A ، وكان نصف القطر  $r = 2 \text{ cm}$  احسب قيمة المجال المغناطيسي  
واتجاهه عند النقطة P.

3-9 ثُلثي سلك معدني رفيع على النحو المبين في الشكل (19-9). إذا مر تيار في السلك شدته  
 $A = 3 \text{ A}$  وكانت  $b = 10 \text{ cm}$  و  $a = 6 \text{ cm}$  ، فاحسب قيمة المجال المغناطيسي واتجاهه عند  
النقطة P.



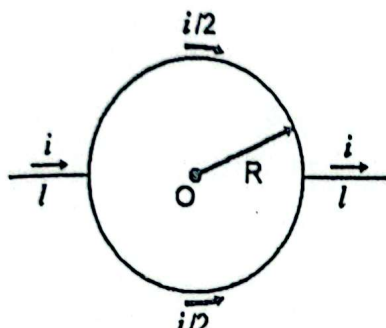
الشكل (19-9)



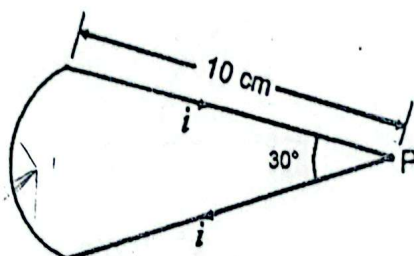
الشكل (18-9)

- 4-9 يمر تيار شدته  $A$  في السلك المبين في الشكل (20-9). أوجد قيمة المجال المغناطيسي واتجاهه عند النقطة  $P$ .

- 5-9 أوجد المجال المغناطيسي عند مركز الحلقة في الشكل (21-9).



الشكل (21-9)



الشكل (20-9)

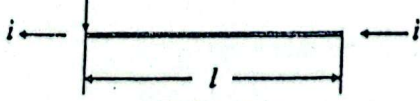
- 6-9 عروة تيار مربعة الشكل طول ضلعها  $a$ ، تحمل تياراً شدته  $i$ . اثبت أنَّ شدة المجال المغناطيسي في مركز العروة تعطى بالعلاقة:

$$B = 2\sqrt{2} \mu_0 i / \pi a$$

- 7-9 ثُني سلك معدني رفيع طوله  $6a$  ليكون مساراً مغلفاً على شكل سداسي منتظم، أثبت أنَّ شدة المجال المغناطيسي في مركز الشكل السداسي تعطى بالعلاقة:

$$B = \sqrt{3} \mu_0 i / \pi a$$

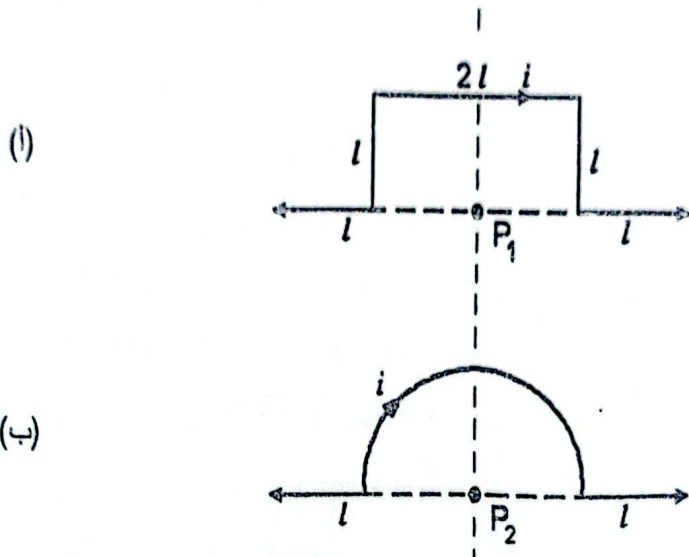
- 8-9 سلك مستقيم طوله  $l$  يحمل تياراً شدته  $i$ .  
أوجد المجال المغناطيسي عند نقطة تقع على العمود المار في أحد طرفي السلك على بعد  $R$  من محوره، كما في الشكل (22-9).



الشكل (22-9)

- 9-9 ثُني سلك طوله  $l$  على النحو المبين في الشكل (23-9). ثمَّ مررْ به تيار شدته  $i$  وقيسَت

شدة المجال المغناطيسي عند النقطة  $P_1$  فوجدت أنها تساوي  $B_1$ . ثُمّ نفخ العلبة مرة أخرى على النحو المبين في الشكل (23-9 ب) ثُمّ مُررّ به نفس التيار  $i$  وقيمت شدة المجال المغناطيسي عند النقطة  $P_2$  فوجدت أنها تساوي  $B_2$ . أرجد النسبة بين  $B_1$  و  $B_2$ .



الشكل (23-9)

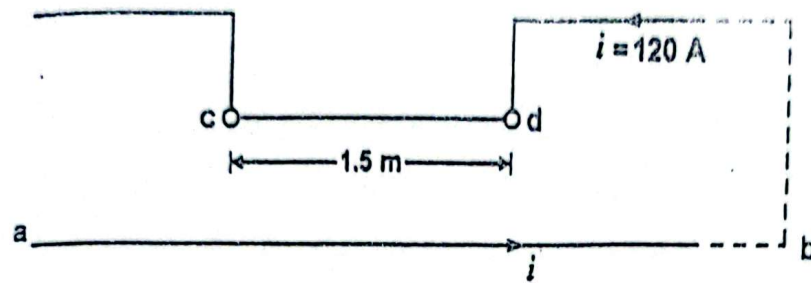
- 10-9 صفيحة رقيقة دائيرية نصف قطرها  $R$  وتدور حول المحور  $X$  في المستوى  $yz$  بسرعة زاوية قدرها  $\omega$ . إذا علمت أنَّ الصفيحة تحمل شحنة موجبة موزعة عليها بانتظام كثافتها السطحية  $\sigma$  فثبت أنَّ شدة المجال المغناطيسي عند مراكزها يُعطى بالعلاقة:

$$B = \frac{1}{2} \mu_0 \sigma \omega R$$

- 11-9 افترض أنَّ المسافة بين ملفي هلمهولتز (Helmholtz coils) في المثال (4-9) متغيرة وتساوي  $X$ . أثبت أنَّ المجال المغناطيسي يكون منتظمًا في النقاط الواقعة على الخط الواصل بين مركزي الملفين عندما تكون  $R = X$ , حيث تمثل  $R$  نصف قطر كل من الملفين.
- 12-9 يبين الشكل (24-9) سلكاً مستقيماً طويلاً (ab) وموازياً لسلك آخر (cd), طوله 1.5 m. إذا كان السلك cd قابلاً للانزلاق بالاتجاه الرأسي على حاملين رأسين، وإذا كانت كتلته 6 g، فبين أين يتزن هذا السلك عند مرور تيار شدته A 120 في السلكين ab و cd كما في الشكل؟

- 13-9 يتوزع تيار كهربائي  $i$  بين سلكين طويلين ومتوازيين، حيث يمر في أحدهما جزء  $i_1$  (مثلاً)، ويمر في الآخر  $i_1 - i$ . ما قيمة  $i_1$  التي تجعل القوة المغناطيسية لكل وحدة طول المتبادل بين السلكين أكبر ما يمكن؟

1.9

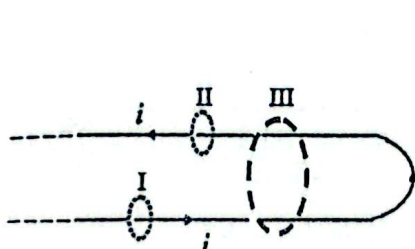


(24-9)

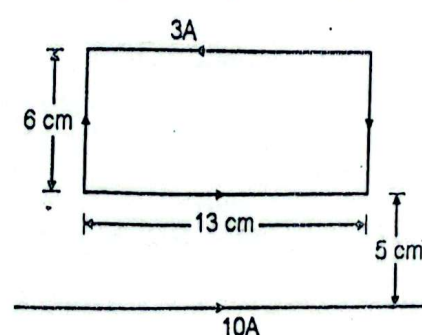
يبين الشكل (25-9) سلكاً مستقيماً لا نهائي الطول يحمل تياراً شدته  $10\text{A}$  موضوعاً بقرب

عروة مستطيلة يمر بها تيار شدته  $3\text{A}$ . أوجد محصلة القوى المؤثرة على العروة.

استخدم قانون أمبير لإيجاد التكامل الخطى للمجال المغناطيسى  $B$  للمسارات الثلاثة المعلنة  
المقطعة (I، II و III) المبينة في الشكل (26-9).



(26-9)



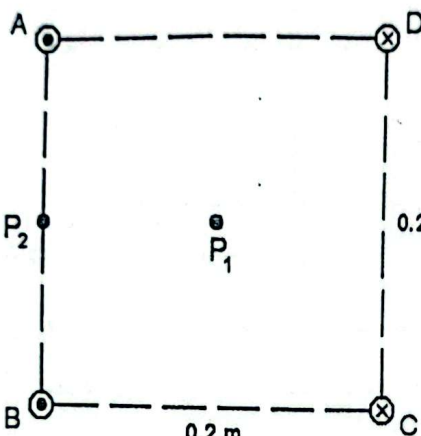
(25-9)

سلكان مستقيمان طويلاً ومتوازيان، المسافة بينهما  $1\text{m}$ ، يحملان تيارين كهربائيين بنفس  
الاتجاه، شدة الأول  $3\text{A}$  والثاني  $5\text{A}$ . أوجد النقطة (أو النقط) التي يكون عندها المجال  
المغناطيسى صفراء.

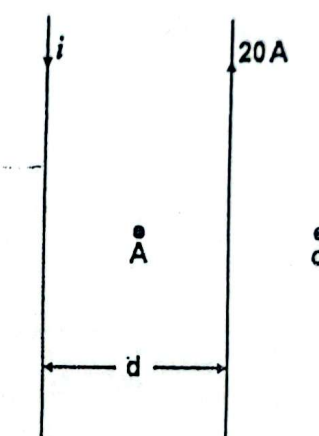
سلكان مستقيمان متوازيان وطويلاً، المسافة بينهما  $2\text{m}$ ، يحملان تيارين باتجاهين  
متضادين قيمتهما على الترتيب  $10\text{A}$  و  $25\text{A}$ . (أ) ما قيمة المجال المغناطيسى الناشئ  
عن السلك الذي يحمل التيار  $10\text{A}$ ، عند موضع السلك الآخر؟ (ب) أوجد مقدار القوة  
المؤثرة واتجاهها في طول قدره  $1\text{m}$  من السلك الذي يحمل التيار  $25\text{A}$ . (ج) كرر حل  
الفرع السابق للسلوك الآخر الذي يحمل التيار  $10\text{A}$ .

سلكان مستقيمان متوازيان وطويلاً، البعد بينهما  $d = 10\text{cm}$ ، يحملان تيارين باتجاهين  
متضادين قيمة أحدهما  $20\text{A}$  كما في الشكل (27-9). إذا كان هناك نقطتان الأولى A تقع  
في منتصف المسافة بين السلكين والثانية C على بعد  $d/2$  من محور السلك الأيمن، ومر  
تيار  $i$  في السلك الأيسر بحيث أصبح المجال المغناطيسى عند النقطة C صفراء فماجد: (أ)  
قيمة التيار  $i$ . (ب) شدة المجال المغناطيسى عند النقطة A.

19.9 يبين الشكل (28-9) مقطعاً عرضياً لأربعة أسلاك طولية ومتوازية وموضعه على رؤوس مربع وتحمل تيارات متساوية، قيمة كل منها  $A$  باتجاهات المبينة في الشكل، حيث تشير العلامة  $\otimes$  إلى أنَّ التيار عمودي على الورقة وداخل فيها، وتشير العلامة  $\oplus$  إلى أنَّ التيار عمودي على الورقة وخارج منها. أوجد المجال المغناطيسي عند النقطة: (أ)  $P_1$  الواقعة في مركز المربع. (ب)  $P_2$  الواقعة في منتصف المسافة بين السلكين  $A$  و  $B$ .



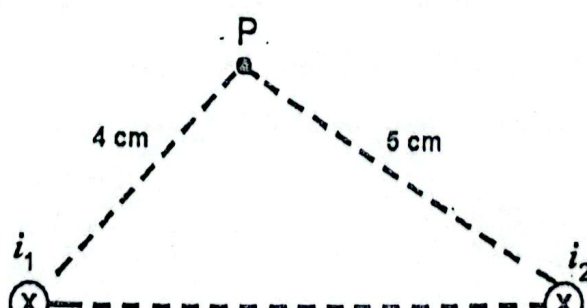
(28-9)



(27-9)

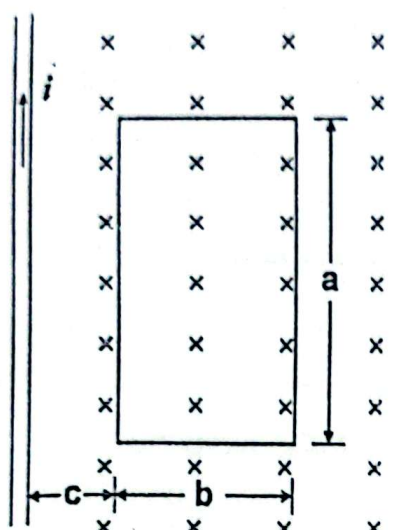
20-9 موصل اسطواني طوله  $2\text{ m}$  ونصف قطره  $3\text{ cm}$  ويحمل تياراً شدته  $12\text{ A}$  موزعاً على مساحة مقطعيه العرضي باتنظام. ما شدة المجال المغناطيسي عند نقطة تقع على بعد  $6\text{ cm}$  عن محور الموصل؟ افترض أنَّ مكان النقطة بعيد عن كل من طرفي الموصل.

21-9 يبين الشكل (29-9) مقطعاً عرضياً لسلكين طوليين ومتوازيين، يحمل الأول منهما تياراً  $i_1 = 3\text{ A}$  والثاني  $i_2 = 6\text{ A}$  في الاتجاهين المبينين في الشكل. أوجد المجال المغناطيسي عند النقطة  $P$ .



(29-9)

22-9 وُضعت عروة مستطيلة الشكل طولها  $a$  وعرضها  $b$  على بعد  $c$  من سلك طوليل يمر به تيار  $i$  كما هو مبين في الشكل (30-9). إذا كان السلك الطوليل يوازي الطرف الأيسر للعروة فما التدفق المغناطيسي الكلي من سطح العروة؟

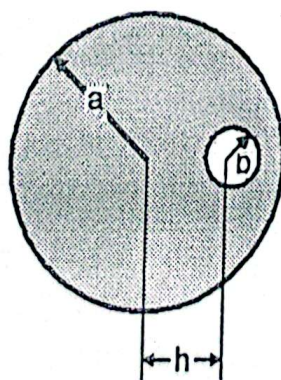


الشكل (30-9)

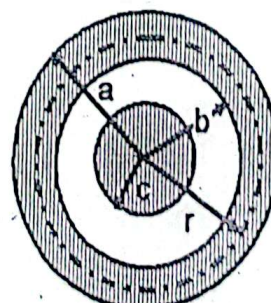
- 23-7 يبين الشكل (31-9) مقطعاً عرضياً لفترة اسطوانية موصولة وطويلة، نصف قطرها الخارجي  $a$  ونصف قطرها الداخلي  $b$ . فإذا وضع سلك اسطواني طول  $c$  نصف قطره  $c$  (حيث  $b > c$ ) داخل الفترة بحيث يتحدد محوره مع محور الفترة الأسطوانية، ومرر فيه وفي الفترة تياران متساويان باتجاهين متعاكسيين قيمة كل منهما  $i$ ، فثبتت أن شدة المجال المغناطيسي على بعد  $r$  عن المحور تساوي:

$$(a) \text{ صفر} ; \quad (b) \frac{\mu_0 i (a^2 - r^2)}{2\pi(a^2 - b^2)} ; \quad (c) \text{ عندما } r < b ; \quad (d) \frac{\mu_0 i}{2\pi r} \quad (\rightarrow)$$

- 24-9 يبين الشكل (32-9) مقطعاً عرضياً لموصل اسطواني طول  $a$  ويحمل تياراً شدته  $i$  ويحوي على تجويف اسطواني نصف قطره  $b$  ويبعد محوره عن محور الموصل مسافة  $h$ . أوجد المجال المغناطيسي عند  $r$  نقطة على محور التجويف.



الشكل (32-9)



الشكل (31-9)

- 25-9 ملف لوليبي طوله  $0.5 \text{ m}$  ومتوسط نصف قطر مقطعه  $3 \text{ cm}$ ، يحتوي على خمس طبقات

من المسار ملفوقة بشكل متراص بعضها فوق بعض، فإذا احتوت كل طبقة من المسار على 120 لفة وسرى تيار فيه شدته  $A = 2$  فاحسب: (أ) شدة المجال المغناطيسي داخل المسار (بعيداً عن طرفيه)، (ب) تلق المجال المغناطيسي من مقطع المسار.

- 26.9 ملء لوبي نصف قطر مقطعه  $5 \text{ cm}$  يحتوي على 100 لفة لكل  $1 \text{ cm}$  طول ويحمل تياراً باتجاه عقارب الساعة (عند النظر من الجهة اليمنى) شدته  $100 \text{ mA}$ . (أ) ما شدة المجال المغناطيسي داخل المسار (بعيداً عن طرفيه)? (ب) ما مقدار واتجاه التيار اللازم لإمداده في ملء لوبي آخر عدد لفاته 40 لفة لكل  $1 \text{ cm}$  يحيط بالملء الأول بإحكام لكي يصبح المجال المغناطيسي الكلي داخل المسار صفر؟
- 27.9 ملء لوبي طویل يحتوي على 10,000 لفة لكل  $1 \text{ m}$  طول، ما مقدار التيار اللازم لإمداده في المسار لكي يتحرك الإلكترون بداخله بسرعة  $2 \times 10^6 \text{ m/s}$  باتجاه عمودي على اتجاه المجال المغناطيسي في مسار دائري نصف قطره  $1 \text{ mm}$ .
- 28.9 ملء إطراري دائري نصف قطره الداخلي  $20 \text{ cm}$  مصنوع من ملء لوبي مقطعه على شكل مربع طول ضلعه  $6 \text{ cm}$  وعدد لفاته 1000 لفة، إذا مر تيار فيه شدته  $A = 1 \text{ A}$  فما هي شدة المجال المغناطيسي عند نقطة واقعة في مستوى المسار على بعد  $2 \text{ cm}$  من مركزه للحالات الآتية: (أ)  $r = 30 \text{ cm}$ ، (ب)  $r = 23 \text{ cm}$ ، (ج)  $r = 10 \text{ cm}$

الفصل العاشر

الحث الكهرومغناطيسي

وقانون فارادي  
Electromagnetic

Induction and Faraday's

Law

## الفصل العاشر

### الحث الكهرومغناطيسي وقانون فارادي

### (Electromagnetic Induction and Faraday's Law)

#### □ 1-10 تمهيد

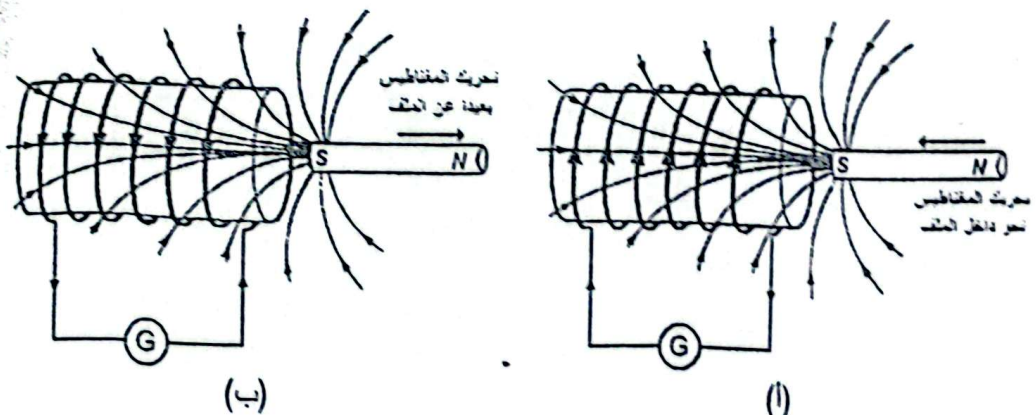
يولد التيار الكهربائي مجالاً مغناطيسياً، ويؤثر المجال بدوره في التيارات والشحنات الكهربائية المتركة الموجودة فيه بقوة مغناطيسية كما بينا في الفصلين الثامن والتاسع. لقد أدتحقيقة توليد التيار لمجال مغناطيسي هذه بالعلماء إلى التساؤل عما إذا كان بمقدور المجال المغناطيسي أن ينتج تياراً كهربائياً. وجاء الجواب من جوزيف هنري (Joseph Henry) في أمريكا عام (1830)، حيث اكتشف أنَّ تغير تدفق المجال المغناطيسي خلال دائرة مغلقة يؤدي إلى توليد قوة دافعة وتيار تأثيرين فيها. ولكن هنري لم ينشر نتائج اكتشافه إلا بعد أن أعلن فارادي (Faraday) في إنجلترا عام (1831) عن اكتشافه للقوة الدافعة التأثيرية المُتولدة في دائرة مغلقة عندما يتغير تدفق المجال المغناطيسي خلالها. ولذلك يُعدُّ فارادي مكتشف القوة الدافعة التأثيرية هذه باعتباره لم يكن يعلم بأنباء اكتشاف هنري. وقد يكون من الإنصاف اعتبار أنَّ هنري وفارادي قد اكتشفا تلك الظاهرة كل على حدة، بشكل مستقل عن الآخر.

تناقش في هذا الفصل موضوع القوة الدافعة التأثيرية وقانون فارادي، الذي يربط بين هذه القوة الدافعة ومقدار تغير التدفق بالنسبة للزمن. كما نناقش بعض التطبيقات على هذا الموضوع. وبذلك تكون قد أكملنا دراسة القوانين الأساسية في الكهرومغناطيسية. ويمكن تلخيص جميع هذه القوانين في أربع معادلات، تُدعى معادلات ماكسويل (Maxwell's equations)، تُمثّل مع قانون قوة لورنتز (Lorentz force law) نظرية كاملة لوصف تفاعل الأجسام المُشحونة بعضها مع بعض. وترتبط معادلات ماكسويل المجالين الكهربائي والمغناطيسي مع بعضهما، إضافة إلى أنها ترتبط هذين المجالين مع مصدرهما الأساسي، أي مع الشحنات الكهربائية.

#### □ 2-10 الحث الكهرومغناطيسي (Electromagnetic Induction)

بعد اكتشاف اورستن أنَّ التيار الكهربائي قادر على توليد مجال مغناطيسي، وقدر على التأثير في إبرة البوصلة المغناطيسية والتسبب في حركتها، دأب العديد من الفيزيائيين على البحث عن طريقة لتوليد تيار كهربائي بواسطة مجال مغناطيسي. فمن المنطقي أن يكون المجال المغناطيسي قادراً على توليد

تيار كهربائي متلماً أنَّ التيار الكهربائي قادر على توليد مجال مغناطيسي. وقد نجح فارادي عام (1831) في اكتشاف هذه الطريقة، حيث لاحظ أنَّ تحريك مغناطيس خلال ملف من سلك متصل بـ غالفانوميتر حساس يحرّك إبرة الغلفانوميتر، مما يدل على أنَّ تياراً كهربائياً قد تولد في الملف. ولاحظ فارادي أنَّ تحريك المغناطيس بعيداً عن الملف إلى الخارج يزددي إلى انحراف إبرة الغلفانوميتر باتجاه مضاد لاتجاه انحرافها الأول. أي أنَّ اتجاه التيار المُتولَّد في الملف يعتمد على اتجاه حركة المغناطيس بالنسبة للملف الساكن، انظر الشكل (10-1). كما لاحظ فارادي أنَّ إبرة الغلفانوميتر لا تتحرك عندما يكون المغناطيس ساكناً داخل الملف أو خارجه. ويدعى هذا التأثير الكهربائي للمجال المغناطيسي بالـ **الكهرومغناطيسي** (electromagnetic induction).



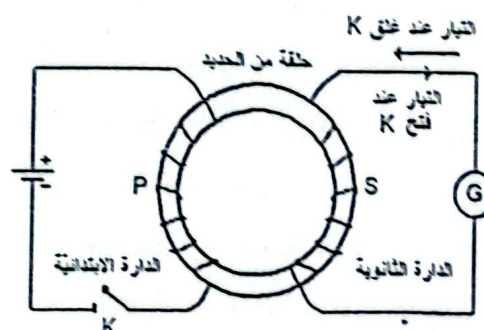
الشكل (10-1)

لقد فسرَ فارادي ظاهرة الحث الكهرومغناطيسي هذه بقوله إنَّ تياراً كهربائياً يتولد في دارة الملف نتيجة قطع خطوط تدفق المجال المغناطيسي لـ سلك الملف أثناء حركة المغناطيس. ويمكن إعادة صياغة هذا التفسير بالقول: "إنَّ قوة دافعة كهربائية تتولد كلما تغير التدفق المغناطيسي خلال الملف". ويسمى التيار المُتولَّد في الملف عادةً **بتيار التأثيري** (induced current) للدلالة على أنه ناتج عن التأثير المغناطيسي في سلك الملف. كذلك تسمى القوة الكهربائية المُتولدة في الملف **القوة الدافعة الكهربائية التأثيرية** (induced electromotive force) لنفس السبب.

**عند تغير التدفق المغناطيسي خلال ملف تولد قوة دافعة كهربائية، وتسمى القوة الدافعة الكهربائية التأثيرية.** ويسمى التيار المُتولَّد في الملف **بتيار التأثيري**.

إضافة إلى توليد تيار تأثيري في ملف نتيجة حركة مغناطيس خلاله، اكتشف فارادي أنَّ تياراً يتولد كذلك في دارة عندما يتغير التيار الكهربائي المار في دارة مجاورة لـ تلك الدارة، وذلك دون تحريك أي من الدارتين. فعند إغلاق المفتاح K في الدارة العبيدة في الشكل (10-2) واندفاع التيار خلال دارة الملف الابتدائي P، يتولد في دارة الملف الثانوي S تيار لحظي يستدل عليه من انحراف إبرة

العفانوميتر G. وب مجرد أن تثبت قيمة التيار في الدارة P بعد إغلاق المفتاح K بفترة وجية يزول انحراف إبرة العفانوميتر. وعند فتح المفتاح K وانحسار التيار عن الدارة الابتدائية P يتولد في الدارة الثانوية S تيار لحظي كذلك، ولكن باتجاه معاكس لاتجاه التيار المتأول لحظة إغلاق المفتاح K. ومرة ثانية يفسر هذا التأثير بالقول إن المجال المغناطيسي الناتج عن مرور التيار في الملف الابتدائي P يتغير كلما تغير مقدار أو اتجاه التيار. ويؤدي تغير المجال المغناطيسي إلى تغير عدد خطوط القوة المغناطيسية التي تقطع الملف الثانوي S، مما يؤدي إلى توليد تيار ثانوي فيه. ويقتصر دور المفتاح K على تغيير قيمة التيار المار في الدارة الابتدائية P مما يؤدي إلى تغيير تدفق المجال المغناطيسي الناتج عن هذا التيار.



الشكل (2-10)

ويطلق على التأثير المتبادل بين الملفين P و S، اسم الحث المتبادل (mutual induction)، ويقال للملفين في هذه الحالة بأنهما يمتلكان خاصية مُحاثة (inductance) متبادلة. وفي نفس الوقت الذي اكتشف به فارادي خاصية الحث المتبادل للملفات المتحلولة، اكتشف هنري أن التيار المتغير في دارة مغلقة، أو في عروة (loop)،

يولد قوة دافعة كهربائية ثانوية في الدارة ذاتها. وقد سمي هذا التأثير بالحث الذاتي (self induction) للدارة.

الحث المتبادل هو الطريقة الأخرى لإنتاج تيارات ثانوية.

الحث الذاتي هو تولد قوة دافعة كهربائية ثانوية في دارة مغلقة.

### □ 3-10 قانون فارادي (Faraday's Law)

بحث فارادي في العوامل التي تؤثر في مقدار القوة الدافعة الثانوية و المتأولة في دارة مغلقة، وخلص إلى الاستنتاج بأن مقدارها يعتمد على سرعة تغير المجال المغناطيسي الذي يتدفق خلال الدارة. حيث وجد أن  $\propto$  تزداد بازدياد معدل تغير التدفق المغناطيسي  $\Phi_B$ ، الذي يُعرف من المعادلة:

$$(1-10) \quad \Phi_B = \int B \cdot dA$$

[انظر المعادلة (6-8)]. ويمكن تلخيص استنتاجات فارادي المتعلقة بالقوة الدافعة الكهربائية الثانوية، بالمعادلة التالية:

(٢-١٠)

$$\epsilon = - \frac{d\Phi_B}{dt}$$

حيث تفاص ع بالفولت ويقاس معدل تغير التدفق المغناطيسي بالوبيير لكل ثانية (Wb/s)، أو بـ  $T \cdot m^2/s$ . وتعرف المعادلة (٢-١٠) باسم قانون فارادي في الحث، وتعُد من العلاقات الأساسية في الكهرومغناطيسية. وإذا كانت الدارة المغلقة مكونة من  $N$  من العرى المتماثلة، الملفوفة بشكل متراص، فتصبح المعادلة (٢-١٠) على النحو التالي:

(٢-١٠ ب)

$$\epsilon = - N \frac{d\Phi_B}{dt}$$

تهدف الإشارة السالبة في المعادلتين (٢-١٠) و (٢-١٠ ب) إلى تذكيرنا باتجاه القوة الدافعة الكهربائية التأثيرية. فقد ثبت بالتجربة أنَّ القوة الدافعة الكهربائية التأثيرية هذه تعطى تياراً يولد مجالاً مغناطيسياً معاكساً في اتجاهه للتغير في التدفق المغناطيسي الأصلي (الذي أدى تغيره إلى توليد القوة الدافعة التأثيرية). ويعرف هذا عادة بقانون لنز (Lenz's Law)، نسبة لهنري لنز (Henry Lenz) الذي قام بسلسلة تجارب عام (١٨٣٤) (في روسيا) أدت إلى تحديد اتجاه القوة الدافعة الكهربائية التأثيرية نتيجة تغير التدفق المغناطيسي في دارة مغلقة. وللوضوح قانون لنز نطبقه في حالة حركة مغناطيس نحو ملف، كما في الشكل (١-١٠ أ).

يؤدي تغير التدفق المغناطيسي الناتج عن زيادة عدد خطوط المجال المتداخنة خلال الملف عند اقتراب المغناطيس منه، إلى توليد تيار تأثيري في الملف. ويولد التيار التأثيري مجاله المغناطيسي الخاص به. وبما أنَّ التدفق المغناطيسي في حالة تزايد أثناء اقتراب المغناطيس من الملف، واتجاهه خارج من الملف وداخل في قطب المغناطيس الجنوبي (S)، فإن المجال المغناطيسي الذي يولده التيار التأثيري يكون متوجهاً بعيداً عن القطب الجنوبي S نحو داخل الملف، بحيث يكون قادراً على مقاومة التغير في تدفق المجال المغناطيسي خلال الملف. وعليه يمكن تحديد اتجاه التيار التأثيري المُتولَّد في دارة الملف على النحو الموضح في الشكل (١-١٠ أ). وفي الشكل (١-١٠ ب) يتناقص التدفق المغناطيسي خلال الملف بسبب ابعاد المغناطيس عنه، ولذلك يجب أن يولَّد التيار التأثيري المُتولَّد في هذه الحالة مجالاً مغناطيسياً يقاوم التغير في التدفق، أي يقاوم التناقص في التدفق. ويتحقق هذا إذا كان المجال المغناطيسي الناتج عن التيار التأثيري متوجهاً إلى الخارج، وكأنه ممثَّل لقطب شمالي N يعمل على جذب طرف المغناطيس الجنوبي S إليه، وبالتالي يقاوم حركته ويقاوم التغير في التدفق المرافق له. وبناء عليه فإن اتجاه التيار التأثيري المُتولَّد في هذه الحالة يكون على النحو المبين في الشكل (١-١٠ ب)، ويمكن استخدام قاعدة اليد اليمنى للربط بين اتجاه المجال والتيار التأثيريين.

وعودة إلى القوة الدافعة الكهربائية التأثيرية ع المُتولدة في الدارة المغلقة. يجب أن نذكر دائماً أنَّ

تولد كلما كان هنالك تغير في التدفق المغناطيسي، وبتعريض  $\Phi_B$  المعادلة (1-10) في المعادلة (2-10) نجد أن:

$$(3-10) \quad \epsilon = -\frac{d}{dt} \int B \cos \theta dA$$

وهذا يعني أنه يمكن توليد القوة الدافعة التأثيرية  $\epsilon$  بإحدى ثلاثة طرق: (1) بواسطة مجال مغناطيسي متغير ( $B$ )، أو (2) بواسطة تغير مساحة الدارة المغلفة أو العروة ( $A$ )، أو (3) بتغيير اتجاه مساحة الدارة أو العروة ( $\theta$ ) بالنسبة للمجال.

قانون فارادي: القوة الدافعة التأثيرية  $\epsilon$  الناتجة عن تحريك مجال مغناطيسي داخل ملف تساوي معدل التغير الزمني في تدفق المجال المغناطيسي.

$$\epsilon = -\frac{d\Phi_B}{dt} = -\frac{d}{dt} \int B \cdot dA$$

ينصُّ قانون لenz على أنَّ "اتجاه التيار التأثيري يكون بحيث يكون اتجاه المجال المغناطيسي التأثيري الناتج عنه معاكساً للتغير في التدفق المغناطيسي الأصلي". ويعتبر الإشارة السالبة في قانون فارادي قانون لenz.

#### مثال (1-10)

ملف مكون من 250 لفة ملفقة بشكل مرصوص على إطار مستطيل طوله 20 cm وعرضه 10 cm. إذا علمت أنَّ المقاومة الكلية لسلك الملف الكلية  $\Omega = 3$ ، وأنَّ مجالاً مغناطيسياً متعمداً مع مستوى الملف يتغير بانتظام من صفر إلى  $T = 2$  خلال  $t = 1.2$  s، فما هي: (أ) مقدار القوة الدافعة الكهربائية المترددة بالتأثير في الملف أثناء تغير المجال. (ب) مقدار التيار التأثيري المترددة في الملف أثناء تغير المجال.

الحل:

(أ) نجد أولاً مساحة الملف ( $A$ )، حيث

$$A = 20 \text{ cm} \times 10 \text{ cm} = 200 \text{ cm}^2 = 0.02 \text{ m}^2$$

إن تدفق المجال المغناطيسي  $\Phi_B$  خلال الملف عند اللحظة الزمنية  $t = 0$  يساوي صفراء، وذلك لأنَّ المجال  $B$  يساوي صفراء في تلك اللحظة. وبتغير تدفق المجال ليصبح في اللحظة  $t = 1.2$  s مساوياً:

$$\Phi_B = BA = 2 \text{ T} \times 0.02 \text{ m}^2 = 0.04 \text{ Wb}$$

لذلك يعطى مقدار القوة الدافعة الكهربائية التأثيرية  $\epsilon$  بالمعادلة:

$$|\epsilon| = \frac{N \Delta \Phi_B}{\Delta t}$$

$$= \frac{250 (0.04 \text{ Wb} - 0 \text{ Wb})}{(1.2 \text{ s} - 0 \text{ s})} = 8.33 \text{ V}$$

(ب) بتطبيق قانون أم نحصل على قيمة التيار التأثيري  $i$  المترد في الملف، على النحو التالي:

$$i = \frac{|\epsilon|}{R} = \frac{8.33 \text{ V}}{3 \Omega} = 2.78 \text{ A}$$

### مثال (2-10)

وضعت عروة تيار مستوية مساحتها  $A$  في منطقة مجال مغناطيسي  $B$ ، بحيث كان مستواها متعمداً مع اتجاه المجال. إذا كان المجال المغناطيسي يتغير بمرور الزمن وفقاً للعلاقة  $B = B_0 e^{-at}$ ، حيث  $B_0$  و  $a$  متداران ثابتان و  $t$  الزمن بالثانية. فما القوة الدافعة الكهربائية المترددة في العروة في لية لحظة زمنية  $t$ ؟

الحل:

بما أن المجال عمودي على مستوى العروة، فإن تدفق المجال المغناطيسي من العروة يعطى بالمعادلة:

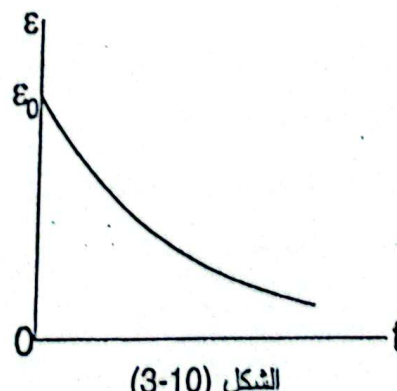
$$\Phi_B = B \cdot A = A B_0 e^{-at}$$

وبذلك يعطى القوة الدافعة الكهربائية التأثيرية بالمعادلة:

$$\begin{aligned} \epsilon &= -\frac{d\Phi_B}{dt} = -A B_0 \frac{d}{dt} e^{-at} \\ &= a A B_0 e^{-at} \end{aligned}$$

أي إن  $\epsilon$  تضخم أسيّا (exponentially) بمرور الزمن. وتلاحظ أن أكبر قيمة لها تتولد في اللحظة

$t = 0$ ، حيث يعطى قيمتها العظمى  $\epsilon_0$  بالمعادلة:



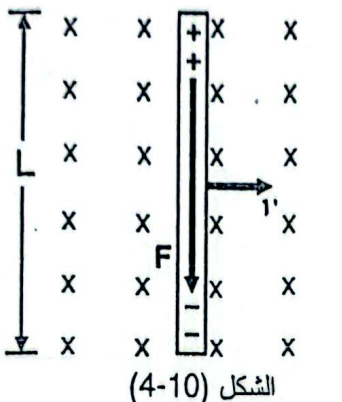
$$\epsilon_0 = a A B_0$$

ويبين الشكل (3-10) العلاقة بين  $\epsilon$  و  $t$ .

## □ 4-10 القوة الدافعة الكهربائية المُتولدة في موصل متحرك

### (Induced Electromotive Force in a Moving Conductor)

يمكن توليد قوة دافعة كهربائية عن طريق حركة موصل في مجال مغناطيسي، لنفترض أنَّ موصلًا مستقيماً طوله  $L$  يتحرك بسرعة ثابتة  $v$  باتجاه عمودي على مجال مغناطيسي منتظم  $B$ ، كما في الشكل



الشكل (4-10)

(4-10). إنَّ هذا سيؤدي إلى تأثير المجال المغناطيسي على الإلكترونات الحرة الموجودة في الموصل بقوة مغناطيسية  $qvB$ ، إذ أنَّ الإلكترونات تتحرك في المجال بسرعة قيمتها المتوسطة  $v$ . وتؤدي هذه القوة إلى تحريك الإلكترونات نحو نهاية الموصل السفلية وتجمعها

هناك تاركة وراءها تجمعاً لشحنات موجبة عند نهاية الموصل العلوية. وينتج عن نزوح الإلكترونات هذه من طرف الموصل العلوي إلى طرفه السفلي مجال كهربائي  $E$  داخل الموصل. وتستمر عملية فصل الشحنات السالبة عن الموجبة في الموصل تحت تأثير القوة  $qvB$  إلى أن تصبح القوة الكهربائية  $E$  قادرة على موازنة القوة المغناطيسية، حيث تؤثر القوتان باتجاهين متضادين على الإلكترونات المتحركة بين نهايتي الموصل العلوية والسفلى. وعندئذ يتوقف نزوح المزيد من الإلكترونات، ويطلب هذا أن يكون:

$$E = vB, \text{ اي ان: } qE = qvB$$

الحفاظ على حالة الاتزان. ويبودي المجال الكهربائي داخل الموصل إلى ظهور فرق في الجهد  $V$  بين طرفيه يعطى بالمعادلة التالية:

(4-10)

$$V = EL = BLv$$

حيث يكون جهد الطرف العلوي للموصل أعلى من جهد الطرف السفلي له، ويظل فرق الجهد هذا موجوداً بين طرفي الموصل ما دام الموصل متحركاً في المجال. وإذا تحرك الموصل بالاتجاه المعاكس لبعكس قطباً، فيصبح الطرف العلوي سالباً والطرف السفلي موجباً. ويمثل الموصل المستقيم المتحرك خلال المجال في هذه الحالة مصدراً للقوة الدافعة الكهربائية، إذ إنَّ فرق الجهد بين طرفيه يستطيع أن يولد تياراً كهربائياً إذا ما وصل الطرفان إلى بعضهما في دارة مغلقة.

افتراض الأنَّ الموصل المستقيم السابق ينزلق بدون احتكاك على سلك موصل آخر على شكل حرف L، كما في الشكل (4-10) داخل مجال مغناطيسي منتظم  $B$ ، بسرعة ثابتة  $v$ ، متعامدة مع اتجاه المجال تحت تأثير قوة  $F$ . إنَّ هذا سيؤدي إلى تأثير الإلكترونات الحرة في الموصل المتحرك بقوة

شخلا

تصاحد

ينزلق

أن الف

الشغل

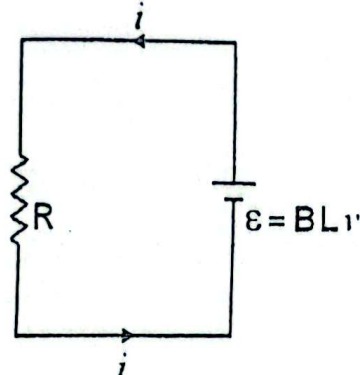
وبالت

ويال

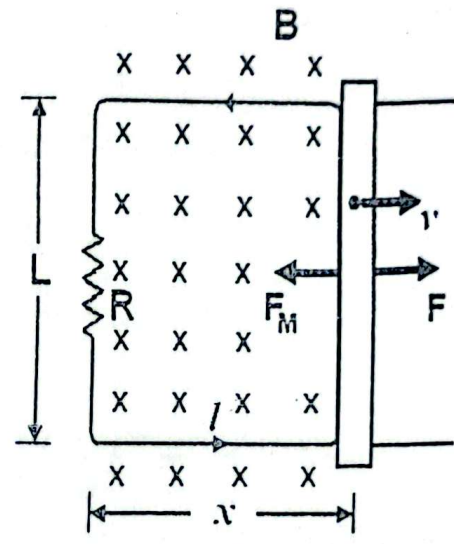
بالم

ويا

مغناطيسيّة تدفعها بموازاة محور الموصى مولدة تياراً تأثيراً، كما أسلفنا. عليه فإن تياراً كهربائياً سيسري خلال المسار المغلق المكون من الموصى المستقيم والسلك الذي ينزلق عليه الموصى. من ناحية أخرى، تؤدي حركة الموصى المستقيم إلى تغيير مساحة المسار المغلق (أو العروة) ومن ثم إلى زيادة تدفق المجال المغناطيسي  $\Phi_B$  خلال المسار، إذ أن:



(ب)



(ل)

الشكل (5-10)

$$\Phi_B = BA = BLx$$

حيث تمثل  $x$  عرض العروة، كما في الشكل (5-10). وبتطبيق قانون فارادي، نستنتج أن:

$$\epsilon = -\frac{d\Phi_B}{dt} = -\frac{d}{dt}(BLx) = -BL \frac{dx}{dt}$$

أي أن:

$$(5-10) \quad \epsilon = -BLv$$

ونتفق هذه النتيجة مع قيمة فرق الجهد بين طرفي الموصى المستقيم، المعادلة (4-10) التي توصلنا إليها دون استخدام قانون فارادي. ويمكن إيجاد قيمة التيار  $i$  المُولَد في الدارة باستخدام قانون أوم. فإذا

كانت مقاومة الدارة  $R$  فإن:

$$(6-10) \quad i = \frac{|\epsilon|}{R} = \frac{BLv}{R}$$

ويمكن رسم الدارة المكافئة للعروة في هذه الحالة على النحو المبين في الشكل (5-5 ب).

بما أن الدارة لا تحتوي أصلاً على مصدر قوة دافعة كهربائية، فقد يتتساع البعض عن مصدر التيار التأثيري المُولَد، وعن مصدر الطاقة الكهربائية المرافق له. وبالواقع ينجم التيار التأثيري (والطاقة الكهربائية) عن الطاقة الميكانيكية المبذولة في تحريك الموصى، حيث تبذل القوة المؤثرة على الموصى

شدة ميكانيكياً عليه أثناء حركته، ويلزم بذلك هذه القوة للتغلب على الفوهة المغناطيسية  $L B$  التي تصاحب تولد التيار  $I$  وتساول أن تعيق الحركة، كما يتضح من الشكل (5-10). وحيث أن الموصل ينزلق بسرعة ثابتة فإن تسارعه يكون صفراء، أي أن القوة المُحصلة المؤثرة عليه تساوي صفراء، بمعنى أن القوة المغناطيسية  $F_M$  تساري في مقدارها القوة  $F$  المسيبة لانزلاق الموصل. وعليه يمكن حساب الشغل الميكانيكي الذي تبذله القوة  $F$  في ثانية واحدة (أي قدرتها) على النحو التالي:

$$P = F \cdot v = Fv = iLBv$$

وبالتعويض عن قيمة التيار  $I$  من المعادلة (6-10)، نستنتج أن:

$$(7-10) \quad P = iLBv = \frac{B^2 L^2 v^2}{R}$$

وبالمقابل فإن الطاقة الكهربائية المُتولدة في الثانية الواحدة في الدارة (أي القدرة الناتجة) تُعطى بالمعادلة:

$$(8-10) \quad P = i^2 R = \left( \frac{BLv}{R} \right)^2 R = \frac{B^2 L^2 v^2}{R}$$

ويتبين من مقارنة المعادلة (7-10) بالمعادلة (8-10)، أن القدرة الكهربائية المُتولدة تساري القدرة الميكانيكية المبذولة في تحريك الموصل. فالطاقة إذن محفوظة كما هو معلوم، وكل ما في الأمر هنا أنها تتحول من شكل (ميكانيكي) إلى شكل آخر (كهربائي). وبقي أن نحدد اتجاه التيار التأثيري المُتولد في العروة نتيجة تغير التدفق المغناطيسي خلالها. حيث تؤدي حركة الموصل إلى اليمين إلى زيادة تدفق المجال المغناطيسي بالاتجاه الداخل في مستوى الورقة. ولذلك يجب أن يكون اتجاه التيار التأثيري في العروة عقارب الساعة لكي يكون المجال المغناطيسي الناجم عنه قادرًا على مقاومة التغير في التدفق، وفقاً لقانون لنز. فالمفروض في هذا المجال أن يقاوم تزايد تدفق المجال المغناطيسي الأصلي خلال العروة، ويتحقق هذا عندما يكون المجالان متضادين. ولو كانت حركة الموصل المستقيم نحو اليسار (بدلاً من اليمين) فإن التغير في التدفق المغناطيسي يكون تناقصاً، وعندها يجب أن يعمل المجال المغناطيسي الناشئ عن التيار التأثيري مع عقارب الساعة لكي يعزز التدفق ويحاول أن يمنع تناقصه (أي تغيره).

### مثال (3-10)

تطير طائرة بسرعة  $1000 \text{ km/h}$  في مجال الأرض المغناطيسي البالغ  $T = 10^5 \text{ N/A}$ ، باتجاه رأسياً تقريباً. ما مقدار فرق الجهد المُتولد بين طرفي جناحيها اللذين يبعدان  $70 \text{ m}$  عن بعضهما؟

الحل:

$$v = 1000 \text{ km/h} = (1000 \times 10^3 \text{ m}) / (3600 \text{ s}) \approx 278 \text{ m/s}$$

وبالتعويض في المعادلة (4-10)، نستنتج أن:

$$V = BLv = (5 \times 10^{-5} T) \times (70 m) \times (278 m/s) = 0.97 V$$

وهذا مقدار بسيط لا خطأ منه على الطائرة.

### مثال (4-10)

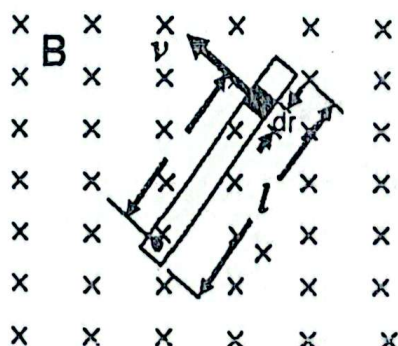
يدور قضيب موصل طوله  $v$  بسرعة زاوية ثابتة  $\omega$  حول دعامة مثبتة عند أحد طرفيه. إذا كان القضيب يتحرك في مجال مغناطيسي منتظم  $B$  داخل في مستوى الورقة، كما في الشكل (10-6)، فما مقدار القوة الدافعة الكهربائية المترددة بين طرفي القضيب؟

الحل:

لو أخذنا قطعة طولها  $dr$  من القضيب وسرعتها  $v$ ، فإن القوة الدافعة الكهربائية التأثيرية المترددة فيها تُعطى حسب المعادلة (10-5) على النحو التالي:

(9-10)

$$d\epsilon = Bv dr$$



وبما أن جميع أجزاء القضيب تتحرك باتجاه عمودي على اتجاه المجال فإن القوة الدافعة الكهربائية التأثيرية المترددة في كل واحد من هذه الأجزاء تُعطى بالمعادلة (9-10). وبإجراء عملية تكامل لجميع أجزاء القضيب الواقع بين نهايته، نجد أن:

الشكل (6-10)

$$\epsilon = \int Bv dr = B \int v dr = B\omega \int r dr$$

$$\therefore \epsilon = \frac{1}{2} B\omega l^2$$

### مثال (5-10)

عروة مستطيلة الشكل طولها 10 cm وعرضها 5 cm تدور حول محور تماثلها الموازي لضلعها الطويلين بسرعة زاوية قدرها 100 rad/s، في مجال مغناطيسي منتظم شدته  $T = 2 \times 10^{-2}$  عمودي على محورها. إذا كانت العروة مكونة من عشر لفات، فما مقدار القوة الدافعة الكهربائية العظمى المترددة في العروة؟

الحل:

يمكن إيجاد تدفق المجال المغناطيسي  $\Phi_B$  من العروة من المعادلة:

$$\Phi_B = \int B \cdot A = BA \cos \theta.$$

حيث تُمثل  $\theta$  الزاوية بين متجه المجال والمساحة. وبتطبيق قانون فارادي [المعادلة (10-2 ب)] نجد:

$$\begin{aligned}\varepsilon &= -N \frac{d\Phi_B}{dt} = -N \frac{d}{dt} (BA \cos \theta) \\ &= +NB A \sin \theta \frac{d\theta}{dt}\end{aligned}$$

وباستخدام العلاقة بين الإزاحة الزاوية والسرعة الزاوية ( $\omega = d\theta/dt$ ), نستنتج أن:

$$(10-10) \quad \varepsilon = N B A \omega \sin \theta$$

ويتضح من المعادلة (10-10) أن القوة الدافعة الكهربائية المُولدة تكون أكبر ما يمكن  $\varepsilon_0$  عندما تكون  $\theta = 90^\circ$ , وعليه فإن:

$$\begin{aligned}\varepsilon_0 &= N B A \omega \\ &= (10) \times (2 \times 10^{-2} \text{ T}) \times (0.05 \text{ m} \times 0.10 \text{ m}) \times (100 \text{ rad/s}) \\ &= 0.1 \text{ V}\end{aligned}$$

## □ 5-10 المولد الكهربائي (The Electric Generator)

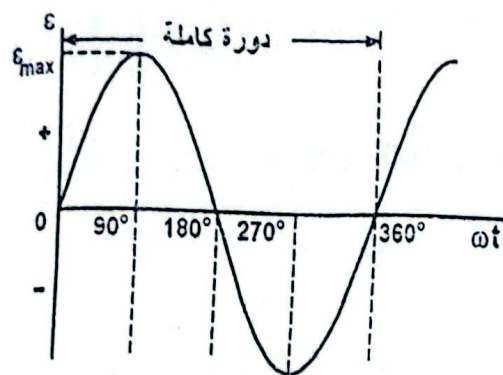
يُعد مولد الكهرباء من الأجهزة الهامة التي تعتمد على مبدأ الحث الكهرومغناطيسي في عملها. ففي مولدات التيار المتردد (ac) أو alternating current، تُحول الطاقة الميكانيكية إلى طاقة كهربائية. ويكون المولد في أبسط صوره من عروة تيار تدور بقوة ميكانيكية في مجال مغناطيسي، كما في الشكل (10-7 أ). فعند دوران العروة يتغير تدفق المجال المغناطيسي خلالها بمرور الزمن مما يؤدي إلى توليد قوة كهربائية فيها، وفقاً للمعادلة (2-2)، ويحصل سلكاً العروة بحلقتين موصلتين ملساوتيين ومثبتتين حول محور الدوران وملامستين لفرشتين معدنيتين. و تستطيع الحلقات الدوران مع العروة، في حين أنَّ الفرشتين تعملان على نقل التيار التأثيري الناتج عن القوة الدافعة الكهربائية المُولدة إلى الأجهزة الكهربائية التي تعمل على الطاقة الكهربائية المُولدة والتي تُمثلها المقاومة الكهربائية  $R$  المبينة في الشكل.

يمكن حساب القوة الدافعة الكهربائية  $\varepsilon$  المُولدة عند دوران العروة في المجال المغناطيسي  $B$  بشكل مماثل للطريقة المتبعة في حل المثال (5-10) للحصول على المعادلة (10-10). فإذا كان ملف المولد (أو عروته) مكوناً من عدد  $N$  من اللفات، وكانت مساحة كل منها  $A$ ، وكانت الزاوية بين المتجه العمودي على مستوى النصف  $A$  ومتوجه المجال  $B$  هي  $\theta$ , فإن تدفق المجال المغناطيسي خلال الملف

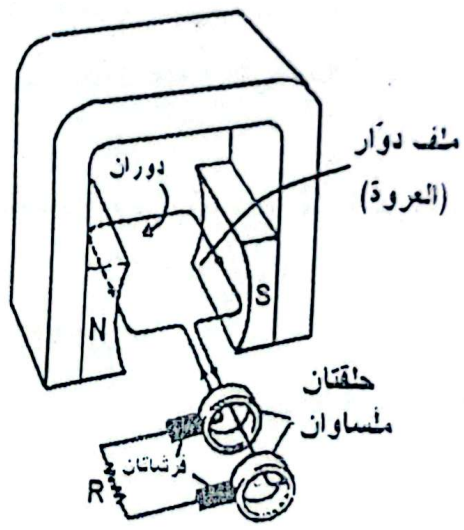
$\Phi_B$  يعطى بالمعادلة:

$$\Phi_B = BA \cos \theta = BA \cos \omega t$$

مذ  
مول  
ملف  
الداف  
الحال  
(ا)  
دور  
وابا  
لت



(ب)



(ج)

الشكل (7-10)

حيث تُمثل  $\omega$  السرعة الزاوية لدوران الملف، أي أن  $\omega t = \theta$ . وبالتالي يُعطى القوة الدافعة  $\epsilon$  باستخدام المعادلة (2-10) على النحو التالي:

$$\epsilon = -N \frac{d\Phi_B}{dt} = -NAB \frac{d}{dt} (\cos \omega t)$$

$$(11-10) \quad \therefore \epsilon = NAB \omega \sin \omega t$$

ويتبين من هذه العلاقة أن القوة الدافعة الكهربائية  $\epsilon$  تتغير بشكل جيبي (sinusoidal) مع تغير الزمن، كما هو مبين في الشكل (7-10 ب)، وأن قيمتها المطلقة تكون أكبر ما يمكن ( $\epsilon_{max}$ ) عندما تكون  $\omega t = 90^\circ$  أو  $\omega t = 270^\circ$ ، أي أن:

$$(12-10) \quad \epsilon_{max} = NAB \omega$$

كما يتضح أيضاً من نفس العلاقة أن القوة الدافعة الكهربائية  $\epsilon$  تكون صفرًا عندما تكون  $\omega t = 0^\circ$  أو  $\omega t = 180^\circ$ .

المولد الكهربائي جهاز يستخدم لتوليد قوة دافعة كهربائية باستخدام مبدأ الحث الكهرومغناطيسي.

الفكرة الأساسية لعمل مولد كهربائي هي في استخدام ملف يدور في مجال مغناطيسي. أي تحويل الطاقة الحركية المستخدمة في تحريك الملف إلى طاقة كهربائية.

### □ مثال (6-10)

مولد تيار متعدد يحتوي على 12 لفة، ومساحة مستوى ملئه  $A = 0.1 \text{ m}^2$ ، ومقاومة ملفه  $\Omega = 8$ . يدور ملف المولد في مجال مغناطيسي منتظم شدته  $B = 0.2 \text{ T}$  بمعدل 50 دورة لكل ثانية. اوجد: (ا) القوة الدافعة الكهربائية العظمى التي ينتجها المولد. (ب) القيمة العظمى للتيار التأثيري الناتج في ملف المولد.

الحل:

(ا) نجد التردد الزاوي (السرعة الزاوية)  $\omega$  للملف المولد من العلاقة  $\omega = 2\pi f$  حيث تمثل  $f$  عدد دورات الملف في الثانية الواحدة. اي ان:

$$\omega = 2\pi f = 2 \times 3.14 \times 50 = 314 \text{ rad/s}$$

وبالتعميض في المعادلة (10-12) نجد القوة الدافعة الكهربائية التأثيرية العظمى المُتولدة على النحو التالي:

$$\begin{aligned} \epsilon_{\max} &= N A B \omega \\ &= 12 \times 0.1 \times 0.2 \times 314 = 75.36 \text{ V} \end{aligned}$$

(ب) بتطبيق قانون اوم، واستخدام نتيجة الفرع (ا) يمكن ايجاد القيمة العظمى للتيار المُتولد  $i_0$  كما يلي:

$$\begin{aligned} i_0 &= \frac{\epsilon_{\max}}{R} \\ &= \frac{75.36 \text{ V}}{8 \Omega} = 9.42 \text{ A} \end{aligned}$$

### □ 6-10 المجال الكهربائي المُتولد عن تغير التدفق المغناطيسي

رأينا عند مناقشتنا لكيفية تولد التيار داخل موصل في الفصل السادس، أنَّ التيار في الموصل ينبع عن مجال كهربائي داخل الموصل. ورأينا كذلك أنَّ دور مصدر فرق الجهد بين طرفي الموصل هو توليد هذا المجال الكهربائي داخله حيث تكسب الإلكترونات الحرة في الموصل سرعة انسياق ٧ من المجال المُتولد، وينشا عن انسياقها التيار الكهربائي. وفي حالة حركة موصل ما خلال مجال مغناطيسي يتولد في الموصل تيار كهربائي، كما أسلفنا. ويعني هذا أنَّ مجالاً كهربائياً قد تولد داخل الموصل نتيجة قطعه لخطوط المجال المغناطيسي. ويرتبط المجال الكهربائي المُتولد  $E$  مع المجال المغناطيسي  $B$  وسرعة الانسياق ٧ بالعلاقة  $E = -v \times B$  عندما تكون حركة الموصل باتجاه عمودي على المجال  $B$  [انظر البند (4-10)]. ويمكن كتابة صيغة عامة للمجال  $E$  عندما لا تكون ٧ عمودية على  $B$ ، على النحو التالي:

$$(13-10) \quad E = -v \times B$$

وذلك استناداً على قانون فوة لورنزي.

وفي الحالات التي ينولد التيار الكهربائي بها نتيجة تغير تدفق المجال المغناطيسي خلال مسار مغلق أو خلال عروة (بدلاً من تولده نتيجة حركة الموصل أو العروة)، يعني تولد التيار كذلك أنَّ هنالك مجالاً كهربائياً قد تولد داخل العروة.  
وهكذا نتوصل إلى الاستنتاج أنَّ "تغير تدفق المجال المغناطيسي يولد مجالاً كهربائياً". ولا ينطبق هذا على الموصلات والعرى فحسب، بل إنه ينطبق على أيّة منطقة في الفراغ. إذ إنه ينولد مجال كهربائي في الفراغ عند أيّة نقطة إذا كان فيها مجال مغناطيسي متغير.

تعبر القوة الدافعة الكهربائية  $\mathbf{U}$  المُتولدة في عروة عن الشغل المبذول في نقل وحدة الشحنات الموجبة خلال العروة بواسطة المجال الكهربائي. ولذلك فإنها ترتبط مع المجال  $\mathbf{E}$  ومع عناصر الإزاحة  $dl$  على طول المسار المغلق (المكون للعروة) بالمعادلة التالية:

(14-10)

$$\mathbf{U} = \oint \mathbf{E} \cdot d\mathbf{l}$$

وبالتعمير عن قيمة  $\mathbf{U}$  من قانون فارادي، المعادلة (14-10)، نستنتج أنَّ:

(15-10)

$$\oint \mathbf{E} \cdot d\mathbf{l} = - \frac{d\Phi_B}{dt}$$

وتمثل المعادلة (15-10) العلاقة بين تغير التدفق المغناطيسي والمجال الكهربائي الناتج عنه. ويحيط المسار المغلق (الطرف الأيسر من المعادلة) بالمنطقة التي يتغير التدفق المغناطيسي  $\Phi_B$  خلالها. ويمكن النظر إلى هذه المعادلة على أنها صياغة حديثة لقانون فارادي، تتحقق أينما كان داخل الموصلات أو في الفراغ.

يختلف المجال الكهربائي المُتولد نتيجة تغير التدفق المغناطيسي عن المجال الكهربائي المُتولد عن شحنات كهربائية ساكنة (المسمى بالمجال الساكن). ففي حالة المجال الساكن تبدأ خطوط المجال من شحنات كهربائية ساكنة وتنتهي في شحنات كهربائية ساكنة أخرى، بينما تكون خطوط المجال الكهربائي الناشئ عن تغير تدفق المجال المغناطيسي على شكل مسارات مستمرة مغلقة. وزيادة على ذلك، فإن الفرق في الجهد بين نقطتين في مجال كهربائي ساكن كالنقطتين  $a$  و  $b$  مثلاً، يعطى بالمعادلة:

$$V_{ab} = V_a - V_b = \int_a^b \mathbf{E} \cdot d\mathbf{l}$$

فإذا طبقنا هذه المعادلة على مسار مغلق، تكون النقطتان  $a$  و  $b$  منطبقتين على بعضهما ويصبح فرق الجهد بينهما صفراء ( $V_{ab} = 0$ ). لذلك يكون تكامل المجال الكهربائي حول المسار المغلق صفراء.

$$\oint \mathbf{E} \cdot d\mathbf{l} = 0$$

(للمجال الكهربائي الساكن)

والسبب في هذا، بالطبع، هو كون القوة الكهربائية الساكنة قوة محافظة (conservative force). حيث تخبرنا المعادلة السابقة أن الشغل المبذول في نقل وحدة الشحنات الموجبة حول أي مسار مغلق يساوي صفرًا، أو أن الشغل المبذول في نقل الشحنات بين أي نقطتين لا يعتمد على المسار المتبوع، كما رأينا في الفصل الرابع. أما في الحالة غير الساكنة، أو الحالة التحريرية، عندما يتولد مجال كهربائي نتيجة تغير التدفق المغناطيسي، فإن التكامل حول مسار مغلق لا يساوي صفرًا ولكنه يعطى بالمعادلة (15-10) التالية:

$$\oint \mathbf{E} \cdot d\mathbf{l} = - \frac{d\Phi_B}{dt}$$

ومنه يدل على أن القوى الناتجة عن المجالات المغناطيسية المتغيرة ليست قوى محافظة (potential energy). ولذلك لا نستطيع أن نعرف طاقة وضع (nonconservative forces) في حالة المجالات غير الساكنة. ومع أن المجالات الكهربائية الساكنة محافظة، إلا أن المجالات الكهربائية الناتجة عن مجالات مغناطيسية متغيرة لا تكون محافظة.

يُولد المجال المغناطيسي المتغير مجالاً كهربائياً يُعطي بالعلاقة:

إن المجال الكهربائي التأثيري  $\mathbf{E}$  يختلف في طبيعته عن المجال الكهربائي الناتج عن شحنة ساكنة.

في حين أن القوى الناتجة عن شحنات ساكنة قوى محافظة فإن القوى الناتجة عن المجالات المغناطيسية المتغيرة ليست قوى محافظة. ولذلك لا نستطيع أن نعرف طاقة وضع في حالة المجالات غير الساكنة.

#### ■ مثال (7-10)

يتَّسِعُ مغناطيس كهربائي مجالاً مغناطيسياً منتظماً  $B$  في المنطقة الواقعة بين قطبيه الدائريين، كما في الشكل (10-8أ). بدأ التيار في ملف المغناطيس بالتزداد التدريجي مع مرور الزمن ففتح عن ذلك تغير المجال المغناطيسي بانتظام (ثابت  $= dB/dt$ ) عند جميع النقاط الواقعة بين القطبين. إذا علمت أن المجال المغناطيسي خارج منطقة القطبين يساوي صفرًا دائمًا، فما هو المجال الكهربائي  $\mathbf{E}$  عند أي نقطة مثل  $P$  تبعد مسافة  $2$  عن مركز أحد القطبين الدائريين وتقع في مستوى:

الحل:

يؤدي تغير المجال المغناطيسي خلال دائرة نصف قطرها  $2$  كما هو مبين في الشكل (10-8أ)، إلى توليد قوة دافعة كهربائية تأثيرية حول الدائرة. وبما أن جميع النقاط الواقعة على محيط المسار الدائري

المنطقة  
التي  
تمتد  
إلى  
اليمين  
التي  
تمتد  
إلى  
اليمين

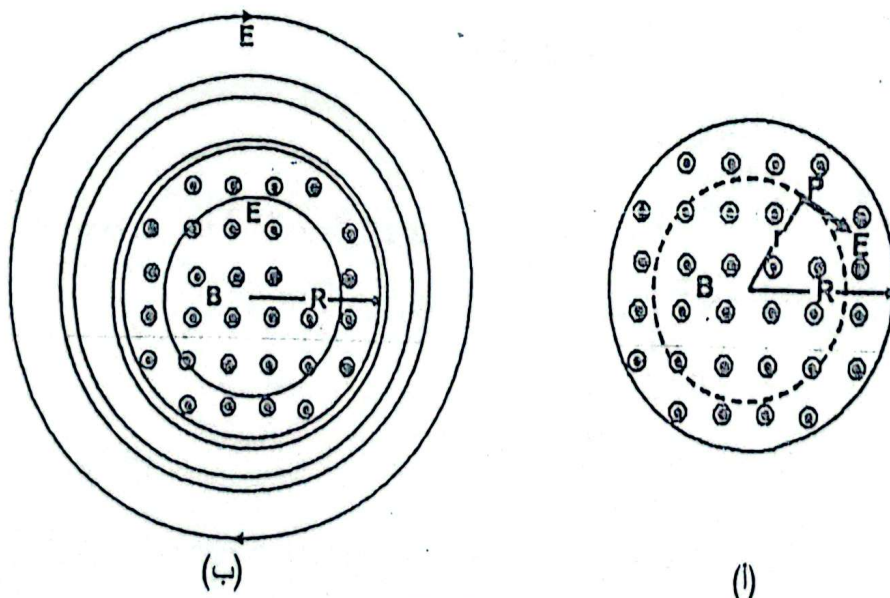
المغلق متماثلة بالنسبة للمركز، فإن المجال الكهربائي المترافق سيكون متماثلاً أيضاً. ولذلك فإن المجال  $E$  المتواقع يكون عمودياً على اتجاه  $B$  وموازاً للدائرة التي نصف قطرها  $r$ ، كما هو مبين في الشكل، ويكون مقداره ثابتاً عند جميع النقاط الواقعة على محيط الدائرة. لذلك فإننا نستخدم هذا المسار الدائري لإجراء عملية المتكاملة في المعادلة (10-15)، حيث نجد أن:

$$\oint E \cdot dI = E(2\pi r) = -(\pi r^2) \frac{dB}{dt}; \quad (r \leq R)$$

ونذلك لأن:  $(\pi r^2) B = BA = \Phi_B$  في آية لحظة. وعند حل المعادلة السابقة للمجال  $E$ ، نستنتج أن:

$$(16-10) \quad E = \frac{r}{2} \frac{dB}{dt}; \quad (r \leq R)$$

وتحتفق المعادلة (10-16) حتى حافة الدائرة  $R = r$ ، إذ إن المجال المغناطيسي يصبح صفرًا بعد هذه الحافة. وإذا أخذنا نقطة  $P$  تقع خارج المنطقة بينقطين وتبعده عن المركز  $r > R$  (حيث  $r > R$ )، فإن تدفق المجال المغناطيسي خاللها يكون  $B = \pi R^2$ . ويمكن إيجاد المجال الكهربائي  $E$  عند آية نقطة على محيط المسار الدائري  $r$  كما يلي:



الشكل (8-10)

$$(17-10) \quad \oint E \cdot dI = E(2\pi r) = -\pi R^2 \frac{dB}{dt}; \quad (r > R)$$

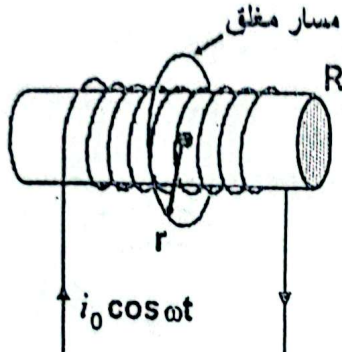
$$\therefore E = \frac{R^2}{2r} \frac{dB}{dt}; \quad (r > R)$$

وقد أسقطت الإشارة السالبة من المعادلتين (10-16) و (10-17) إذ إننا معنيون بمقدار المجال  $E$  فقط. وتلاحظ مما تقدم أن المجال الكهربائي  $E$  يتزايد بشكل خطى من صفر (في المركز) إلى  $E = (R/2)(dB/dt)$  (عند الحافة)، ثم يتناقص عكسياً مع البعد عن المركز في المنطقة الواقعة خارج القطبين. وتكون خطوط المجال الكهربائي على شكل دوائر، كما هو مبين في الشكل (10-8 ب).

مثال (8-10)

ملف لولبي طویل نصف قطر مقطوعه  $R$  ویحتوی على  $n$  لفة لكل وحدة طول. یحمل تيارا متغیرا مع الزمن یعطی بالمعادلة  $i = i_0 \cos \omega t$ ، حيث یمثل  $i_0$  قيمة التيار العظمى و یمثل  $\omega$  ترددہ الزاوي. اوجد المجال الكهربائی عند نقطة بعده  $r$  عن محور الملف في الحالتين (ا)  $r > R$  و (ب)  $r < R$ .

الحل:



الشكل (9-10)

- (ا) نمرر بالنقطة المراد حساب المجال عندها مسار دائريا مغلقا مركزه محور الملف، كما في الشكل (9-10). حيث يتضح من تمثيل المسار أن مقدار المجال ثابت عند جميع النقاط الواقعة عليه واتجاهه مماس لمحيط المسار. ویعطی تدفق المجال المغناطيسي خلال هذا المسار بالمعادلة  $\Phi_B = BA = B(\pi R^2)$ ، ولذلك نجد عند تطبيق المعادلة (15-10) ان:

$$\oint E \cdot dI = -\frac{d}{dt} [B(\pi R^2)]$$

$$E(2\pi r) = -\pi R^2 \frac{dB}{dt}$$

و بما أن المجال المغناطيسي داخل ملف لولبي یعطی بالمعادلة  $B = \mu_0 n i$  و حيث ان  $i = i_0 \cos \omega t$

$$(18-10) \quad E(2\pi r) = -\pi R^2 \mu_0 n i_0 \frac{d}{dt} (\cos \omega t)$$

$$= \pi R^2 \mu_0 n i_0 \sin \omega t$$

$$\therefore E = \left( \frac{\mu_0 n i_0 \omega R^2}{2r} \right) \sin \omega t ; (r > R)$$

وتلاحظ من هذه النتيجة أن المجال الكهربائي يتغير وفق اقتران جيبي مع مرور الزمن، إضافة إلى أن قيمته تتناقص بازدياد  $r$ .

(ب) عندما تكون  $r < R$ ، اي عند نقطة واقعة داخل الملف، يكون تدفق المجال المغناطيسي  $\Phi_B = B(\pi r^2)$ . وبابتعاد خطوات مماثلة للخطوات المتبقية في الفرع السابق، نجد ان:

$$(19-10) \quad E(2\pi r) = -\pi r^2 \frac{dB}{dt} = \pi r^2 \mu_0 n i_0 \omega \sin \omega t$$

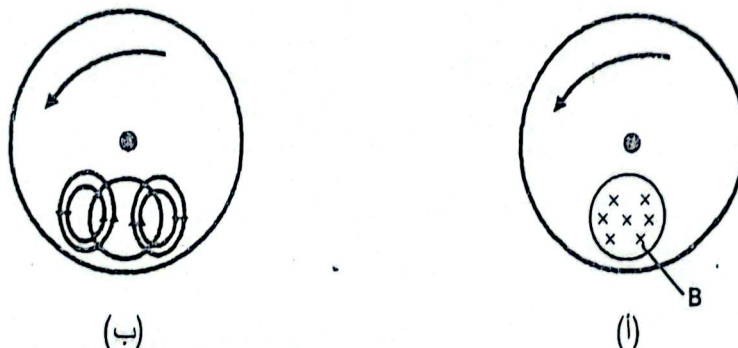
$$E = \left( \frac{\mu_0 n i_0 \omega}{2} \right) r \sin \omega t ; (r < R)$$

ويتضح من هذه النتيجة أن المجال الكهربائي داخل الملف اللولبي يتزايد بشكل خطى مع تزايد  $r$  و يتغير وفق اقتران جيبي مع مرور الزمن.

## □ 7-10 التيارات الدوامية (Eddy Currents)

تُستخدم  
العن  
على  
طبقات  
الحذ  
في

لا تسرى التيارات التأثيرية دائمًا في مسارات محددة مسبقاً كما هي الحال في العرى والأسلاك، فمثلاً عند دوران قرص معدني بحيث يقطع جزء منه مجالاً مغناطيسياً، كما في الشكل (10-10 أ)، يتولد في هذا الجزء قوة دافعة كهربائية نتيجة استجابة الإلكترونات الحرة الموجودة فيه للمجال المغناطيسي وانسياقها باتجاه محدد، ويكون اتجاه التيار الاصطلاحي (المعاكس لاتجاه حركة الإلكترونات) إلى الأعلى في الجزء الواقع داخل المجال من القرص، كما يكون اتجاهه إلى الأسفل في الجزء الواقع خارج المجال، انظر الشكل (10-10 ب). وبطريق على التيارات المولدة داخل القرص اسم التيارات الدوامية، وتتولد هذه التيارات الدوامية داخل أي موصل متحرك خلال مجال مغناطيسي، كما تتولد هذه التيارات داخل أي موصل ساكن إذا تعرض لمجال مغناطيسي متغير.



الشكل (10-10)

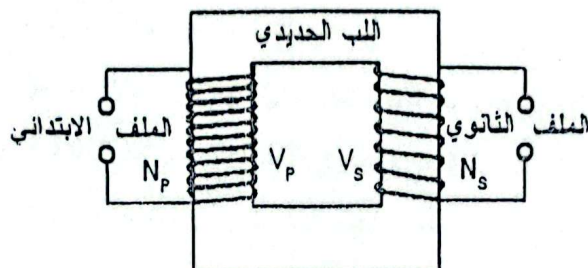
ويبدل المجال المغناطيسي قوة على التيارات الدوامية الناتجة في الموصل باتجاه مضاد لاتجاه الحركة، أي قوة معيبة للحركة (وذلك حسب قانون لنز). ولذلك يستفاد من التيارات الدوامية لکبح حركة الأجسام أحياناً كما هي الحال في القاطرات الكهربائية السريعة مثلاً. فلكي توقف القاطرة، يؤثر مجال كهرومغناطيسي على عجلات القاطرة المصنوعة من الفولاذ، فتعمل القوة المغناطيسية المؤثرة في التيارات الدوامية المولدة في العجلات على مقاومة الحركة وإيقاف القاطرة وبالتالي. كما يستفاد من ظاهرة التيارات الدوامية هذه في الغلفانومتر، حيث تقلل التيارات المولدة من تذبذب ملفه وتسهل بهذا أخذ القياسات.

من ناحية أخرى، فإن التيارات الدوامية تمثل مشكلة تستوجب البحث عن حل للتخلص منها في الكثير من الحالات، ففي المحرك الكهربائي، وكذلك في المولد، يضيع جزء من القدرة الكهربائية للتغلب على هذه التيارات. ولتنقلي أثر التيارات الدوامية يصنع اللب الحديدبي (الداخلي) للمحرك الكهربائي وما شابهه من أجهزة، عادة على شكل صفائح رقيقة يفصل بينها طبقات عازلة رقيقة. حيث تزيد الطبقات العازلة من مقاومة اللب وتقلل بذلك التيارات الدوامية، فتقل الطاقة الصناعية.

تتولد التيارات الدوامية نتيجة لوجود جزء من موصل في مجال مغناطيسي، ويتسبب وجودها في إعاقة حركة الموصل.

## ١٠-٨ المُحَوِّلُات (Transformers)

تُستخدم المُحَوِّلُات لنقل القدرة الكهربائية ولرفع أو خفض الجهد. ويكون المحوّل من ملفين من السلك المعزول، يُعرفان بالملف الابتدائي (primary coil) والملف الثانوي (secondary coil) ملفوفين على لبٍ من الحديد اللين. ويصنع لب الملف الحديدي عادةً من صفائح رقيقة من الحديد يفصل بينها طبقات عازلة لتقليل تأثيرات التيارات الدوامية. ويعتمد المحوّل في عمله على مبدأ قانون فارادي في الحث الكهرومغناطيسي، حيث يُؤدي تغير تدفق المجال المغناطيسي الخاص بالملف الابتدائي عند تأثيره في الملف الثانوي إلى توليد قوة دافعة وتيار تأثيريين في الملف الثانوي. انظر الشكل (11-10).



الشكل (11-10)

ولزيادة كفاءة نقل التأثير الكهرومغناطيسي بين الملفين الابتدائي والثانوي، يُنفَّذ الملفان على نفس اللب الحديدي، حيث يُحصر التدفق المغناطيسي كلّه (تقريباً) ضمن هذا اللب.

عندما يؤثّر تيار متعدد في ملف المحوّل الابتدائي، يُولَد المجال المغناطيسي المتغير الناتج عنه في الملف الثانوي جهذا متعددًا له نفس جهد الملف الابتدائي. وتعتمد قيمة الجهد الثانوي  $V_s$  (المتولَد في الملف الثانوي) على الجهد الابتدائي  $V_p$  (المسلط على الملف الابتدائي)، وعلى النسبة بين عدد لفات الملفين الابتدائي والثانوي. ويمكن التعبير عن الجهد الثانوي أو القوة الدافعة الكهربائية المُتولدة في الملف الثانوي، بالمعادلة:

$$(20-10) \quad V_s = N_s \frac{d\Phi_B}{dt}$$

حيث ترمز  $N_s$  لعدد لفات الملف الثانوي، وترمز  $d\Phi_B/dt$  لمعدل تغيير المجال المغناطيسي. كذلك يمكن التعبير عن الجهد الابتدائي بالمعادلة:

$$(21-10) \quad V_p = N_p \frac{d\Phi_B}{dt}$$

حيث ترمز  $N_p$  لعدد لفات الملف الابتدائي. وبقسمة المعادلة (20-10) على المعادلة (21-10) نجد أنَّ:

$$(22-10) \quad \frac{V_s}{V_p} = \frac{N_s}{N_p}$$

(ج)

وتبين معادلة المُحَوّل (transformer equation) هذه، العلاقة بين الجهدتين الابتدائي والثانوي. فإذا كانت  $N_p$  أكبر من  $N_s$  يقال للمُحَوّل بأنه رافع للجهد (step-up)، وإذا كانت  $N_s$  أقل من  $N_p$  يقال للمُحَوّل بأنه خافض للجهد (step-down).

ولله  
نحو  
الم  
باز  
بك  
ء  
ف

بالرغم من أنه يمكن رفع قيمة الجهد أو خفضها، إلا إننا لا نحصل على شيء دون ثمن. فنحن نعلم من مبدأ حفظ الطاقة أنه لا يمكن خلق شيء من العدم، ولذلك فإن زيادة الجهد الثانوي  $V_s$  يكون على حساب التيار الثانوي، حيث توجب مساواة القدرة الكهربائية الثانوية بالقدرة الكهربائية الابتدائية، أي أن:

(23-10)

$$V_p i_p = V_s i_s$$

حيث يمثل  $i_p$  و  $i_s$  التيارين الابتدائي والثانوي على الترتيب. وتحتفق هذه المعادلة بالطبع إذا كانت كفاءة المُحَوّل 100%， أي إذا كان فقد القدرة فيه صفرًا. ويمكن عمليا الحصول على محولات تبلغ كفاءتها تقريبا 99%. أي أن قدرتها الثانوية تساوي 0.99 من قدرتها الابتدائية. ويتضح من المعادلة (23-10) أن زيادة قيمة  $V_s$  تتطلب خفض قيمة  $i_s$  بحيث يظل حاصل ضربهما ثابتاً ومساوياً لقدرة الكهربائية الابتدائية. وبالتالي نجد أن:

(24-10)

$$\frac{i_s}{i_p} = \frac{V_p}{V_s} = \frac{N_p}{N_s}$$

وتتجدر الإشارة هنا إلى أن المُحَوّل يعمل على التيار المتردد فقط. إذ أن التيار المستمر (أو المباشر) كتيار البطاريات مثلا، ثابت المقدار والاتجاه، وبالتالي لا يولد مجالاً مغناطيسياً متغيراً، أي أن  $d\Phi_B/dt = 0$  في هذه الحالة. عليه فلا يتولد في الملف الثانوي جهد ولا تيار تأثيري.

### مثال (9-10)

يستخدم مُحَوّل لخفض الجهد من 220 V إلى 6 V في تشغيل جهاز كهربائي. إذا كان عدد لفات الملف الثانوي للمُحَوّل 24 وكان الجهاز يسحب تياراً شنته A 0.5 من المُحَوّل، فلوجد: (أ) عدد لفات الملف الابتدائي. (ب) التيار المار في الملف الابتدائي. (ج) القدرة الكهربائية المحولة.

الحل:

(أ) باستخدام المعادلة (22-10) نجد أن:

$$N_p = N_s V_p / V_s$$

$$= 24 \times 220 / 6 = 880$$

أي أن عدد لفات الملف الابتدائي 880 لفة.

(ب) من المعادلة (24-10) نجد أن:

$$i_p = i_s N_s / N_p$$

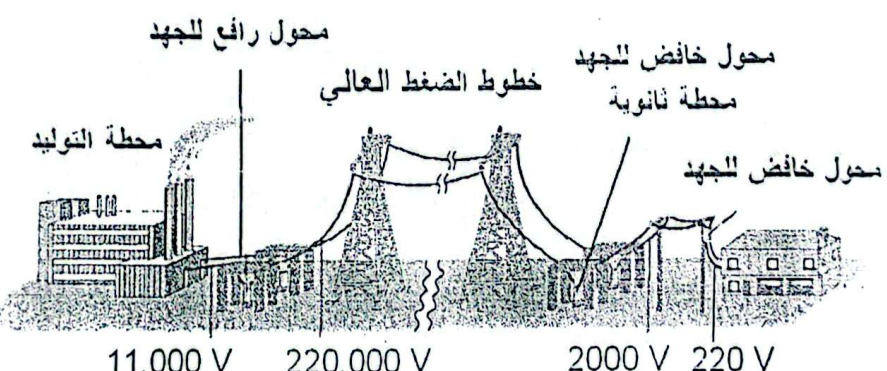
$$= 0.5 \times 24/880 = 0.0136 \text{ A} = 13.6 \text{ mA}$$

(ج) يمكن حساب القراءة المحولة باستخدام المعادلة (10-23) على النحو التالي:

$$P = i_s V_s$$

$$= 0.5 \times 6 = 3 \text{ W}$$

والمحولات أهميتها الكبيرة في نقل الكهرباء بين محطات التوليد والمناطق التي تستهلك الكهرباء، حيث تكون المحطات بعيدة عن المناطق المأهولة بالسكان في معظم الأحيان. وعند نقل الطاقة الكهربائية بين المحطات والمستهلكين يضيع جزء من الطاقة دائماً خلال خطوط النقل، ويزداد الجزء الضائع هذا بازدياد التيار الكهربائي المار في خطوط النقل، إذ أنَّ القدرة تتناسب مع مربع التيار. ولذلك يجب أن يكون تيار نقل القدرة صغيراً ما أمكن لقليل ضياع القدرة في خطوط النقل، ويتحقق هذا باستخدام جهد عال لأنَّ حاصل ضرب التيار في الجهد يساوي مقداراً ثابتاً، كما في المعادلة (10-23). وهذا موضح في الشكل (12-10) كما سيتضح أيضاً من خلال مناقشتنا للمثال (10-10).



الشكل (12-10)

يتكون المحول في تركيبته الأساسية من ملفين، يُسمى الأول الملف الابتدائي والثاني الملف الثانوي. ويُستفاد من الحث المتبادل بين الملفين لتوليد قوة دافعة تأثيرية.

تستخدم المحولات في نقل الطاقة الكهربائية من منطقة إلى أخرى.

تعطى العلاقة بين الجهدين الابتدائي والثانوي بما يُسمى معادلة المحول:

$$\frac{V_s}{V_p} = \frac{N_s}{N_p}$$

حيث  $V_p$  و  $V_s$  هما الجهد الابتدائي والجهد الثانوي و  $N_p$  و  $N_s$  هما عدد ملفات الملف الابتدائي والثانوي على الترتيب.

للمثال (10-10)

تمد محطة توليد كهرباء قرية تبعد عنها 10 km بقدرة متوسط قيمتها 100 kW بواسطة خطوط نقل مقاومتها الكلية  $\Omega = 0.4$ . احسب القدرة الضائعة في خطوط النقل إذا كان الجهد المنقول: (أ) 220V  
 (ب) 22000V

الحل:

(أ) إذا كانت القرية الخارجة من المحطة 100 kW، وكان الجهد المستخدم في النقل 220 V، فإن التيار الكهربائي الكلي يكون:

$$i = \frac{100 \times 10^3 \text{ W}}{220 \text{ V}} = 454.55 \text{ A}$$

وعليه فإن القدرة المفقودة في خطوط النقل تكون:

$$\begin{aligned} P &= i^2 R = (454.55 \text{ A})^2 \times (0.4 \Omega) \\ &= 82646 \text{ W} \approx 82.65 \text{ kW} \end{aligned}$$

أي أن القدرة المفقودة تبلغ أكثر من 80% من القدرة المراد نقلها.

(ب) وعندما يستخدم الجهد 22000 V في نقل القرية يكون التيار الكلي:

$$i = \frac{100 \times 10^3 \text{ W}}{22 \times 10^3 \text{ V}} = 4.55 \text{ A}$$

وعليه تكون القدرة المفقودة في خطوط النقل في هذه الحالة:

$$\begin{aligned} P &= i^2 R = (4.55 \text{ A})^2 \times (0.4 \Omega) \\ &= 8.28 \text{ W} \approx 0.0083 \text{ kW} \end{aligned}$$

وهذا أقل من 0.01% من القدرة المراد نقلها عبر الخطوط.

يتضح من المثال (10-10) أنه كلما ازداد جهد النقل قل التيار المار به، وبالتالي يقل فقد القرية خلاه. وهذا هو السبب في استخدام خطوط الجهد (أو الضغط) العالي في شبكات الكهرباء والذي يبلغ في بعض الحالات KV 700. وفي مثل الحالات تستخدم محولات رافعة للجهد لربط محطة التوليد بخطوط النقل، حيث تقوم بتحويل الجهد الناتج في المحطة إلى جهد النقل العالي، ثم تستخدم محولات خاضصة للجهد لتحويل الجهد عند المدينة أو القرية المراد استخدامه فيها من قيمة عالية إلى قيمة متوسطة ( حوالي V 2000 في شوارع المدن الكبيرة)، ثم يحول بواسطة محولات فرعية خاضصة للجهد خاصة ( حوالي V 220 في بلادنا). وبذلك يتم نقل القدرة بكفاءة ممتازة من محطة التوليد إلى المستهلك، أنظر الشكل (10-12).

## □ 9-10 معادلات ماكسويل (Maxwell's Equations) :

نختم هذا الفصل بمناقشة أربع معادلات أساسية لجميع الظواهر الكهربائية والمغناطيسية، تعرف بمعادلات ماكسويل نسبة إلى جيمس ماكسويل (J. Maxwell) وتلعب هذه المعادلات دوراً هاماً في الكهرومغناطيسية مماثلاً للدور الذي تلعبه قوانين نيوتن في الميكانيكا. وقد مرت هذه المعادلات معنا خلال مناقشتنا لمواقع معينة في دراستنا السابقة خلال صفحات هذا الكتاب.

كما أنها ستمر معك ثانية في حالة دراستك مستقبلاً للنظرية الكهرومغناطيسية، وللأمواج الكهرومغناطيسية، إذ أنها تنبأ بوجود الأمواج الكهرومغناطيسية (التي هي بمثابة أنماط مسافرة للمجالين الكهربائي والمغناطيسي)، وتنبأ أيضاً بأنَّ سرعة هذه الأمواج هي نفس سرعة الضوء في الفراغ أي  $s = 1/\sqrt{\mu_0 \epsilon_0} \approx 3 \times 10^8 \text{ m/s}$ . كما أنَّ معادلات ماكسويل تثبت بأنَّ الأمواج الكهرومغناطيسية تتبع من الشحنات المتسارعة (accelerated charges).

نستعرض في ما يلي معادلات ماكسويل الأربع مطبقة في حالة الفراغ، أي في حالة عدم وجود أي مادة. وهذه المعادلات هي:

$$(25-10) \quad \oint \mathbf{E} \cdot d\mathbf{A} = \frac{Q}{\epsilon_0} \quad (\text{قانون غاوس في الكهرباء}) ;$$

$$(26-10) \quad \oint \mathbf{B} \cdot d\mathbf{A} = 0 \quad (\text{قانون غاوس في المغناطيسية}) ;$$

$$(27-10) \quad \oint \mathbf{E} \cdot d\mathbf{l} = -\frac{d\Phi_B}{dt} \quad (\text{قانون فارادي}) ;$$

$$(28-10) \quad \oint \mathbf{B} \cdot d\mathbf{l} = \mu_0 i + \epsilon_0 \mu_0 \frac{d\Phi_E}{dt} \quad (\text{قانون أمبير وماكسويل}) ;$$

إن معادلة ماكسويل الأولى (25-10)، هي نفس قانون غاوس الذي ينص على أنَّ التدفق الكلي للمجال الكهربائي خلال أي سطح مغلق يساوي الشحنة المُحصّلة داخله مقسومة على  $\epsilon_0$ . ويربط هذا القانون بين المجال الكهربائي وتوزيع الشحنات، حيث تبع خطوط المجال من الشحنات الموجبة وتنتهي في الشحنات السالبة. ويكافئ قانون غاوس، كما هو معلوم لديك، قانون كولوم الذي ثبت صحته تجريبياً.

وتتص楚 معادلة ماكسويل الثانية، المعادلة (26-10)، التي يمكن اعتبارها تطبيقاً لقانون غاوس في المغناطيسية، على أنَّ التدفق الكلي للمجال المغناطيسي خلال أي سطح مغلق يساوي صفرًا. أي أنَّ عدد خطوط المجال المغناطيسي التي تدخل أي حيز مغلق يساوي عدد الخطوط التي تخرج منه. وهذا يعني أنَّ خطوط المجال المغناطيسي لا تستطيع أن تبدا أو أن تنتهي عند أي نقطة، ولو فعلت ذلك لدَلَّ هذا بالتأكيد على وجود نقطتين مغناطيسية مفردة عند تلك النقطة. وثبتت حقيقة عدم وجود نقطتين مغناطيسية

مفردة صحة ما جاء في المعادلة الثانية.

أما معادلة ماكسويل الثالثة، المعادلة (10-27)، فهي ليست سوى قانون فارادي في الحد الكهرومغناطيسي التي تصف العلاقة بين المجال الكهربائي وتتدفق المجال المغناطيسي المتغير مع الزمن. وبقى هذا القانون بأن التكامل الخطي للمجال الكهربائي حول أي مسار مغلق (الذي يساوي القوة الدافعة الكهربائية التأثيرية) يساوي معدل تغير التدفق المغناطيسي خلال أي سطح محاط بالمسار. ومن النتائج المبنية على قانون فارادي هذا هو التيار المترافق بالتأثير في عروة موضوعة داخل مجال مغناطيسي متغير.

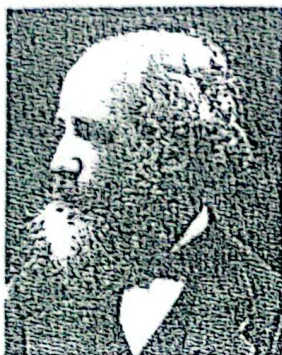
وأخيراً، تمثل المعادلة الرابعة لماكسويل، المعادلة (10-28)، الصورة العامة لقانون أمبير الذي يصف العلاقة بين المجالين الكهربائي والمغناطيسي والتيارات الكهربائية. حيث يقضي بأن التكامل الخطي للمجال المغناطيسي حول أي مسار مغلق يساوي مجموع تيار التوصيل المُحصل خلال المسار ومعدل تغير تدفق المجال الكهربائي خلال أي سطح محاط بالمسار.

وإذا ما عُرف المجالان الكهربائي والمغناطيسي عند أي نقطة في الفراغ فإن القوة المؤثرة على شحنة  $q$  تصبح معلومة، ونعطي بالمعادلة:

(29-10)

$$\mathbf{F} = q \mathbf{E} + q \mathbf{v} \times \mathbf{B}$$

وهذه هي قوة لورنزي. وتعطى معادلات ماكسويل الأربع مع قانون القوة هذا، [معادلة (29-10)] وصفاً كاملاً لجميع التأثيرات الكهرومغناطيسية. وتلاحظ عند تفحص معادلات ماكسويل أنَّ المعادلين (25-10) (26-10) متماثلان باستثناء غياب حد أحدي القطب المغناطيسي عن المعادلة (10-26)، كما تلاحظ تمايز المعادلين (10-27) و (10-28) في كون التكاملين الخطرين للمجالين  $\mathbf{E}$  و  $\mathbf{B}$  حول مسار مغلق يرتبطان مع معدل تغير التدفق المغناطيسي ومعدل تغير التدفق الكهربائي على التوالي.



وُلد ماكسويل في العام 1831 في مدينة إدنبره (Edinburgh)، في سกوتلند. لم يتعلم ماكسويل في المدرسة وإنما في البيت. وعندما أصبح في الثالثة عشرة دخل أكاديمية إدنبره وكان منعزلاً عن أقرانه يدرس ويبحث في الرياضيات. وكتب في سن الرابعة عشرة من عمره مقالة علمية عن الأشكال البيضاوية. في العام 1850 انتقل ماكسويل إلى جامعة ترينت في دبلن (أيرلندا) حيث حصل على منحة دراسية وبعد ثلاث سنوات حاز على الشهادة الجامعية الأولى في الرياضيات. وفي عامي 1855 و 1856 أرسل ماكسويل مقالتين علميتين إلى جمعية كمبريدج للفلسفة عن أعمال فارادي وبين فيها بمعادلات بسيطة سلوك المجالات الكهربائية والمغناطيسية وارتباطها بعضها. استقر الوضع بماكسويل كأستاذ للعلوم الطبيعية في كلية الملك في لندن في عام 1860. وخلال السنوات السبعة التي قضتها هناك كرسى وقته للبحث على الرغم من ابعانه الأكademie وكان أهم إنجازاته حساب سرعة الأمواج الكهرومغناطيسية والتي وجدها تساري سرعة الضوء في الفراغ. وكان استنتاجه أن الضوء هو أمواج كهرومغناطيسية. وفي عام 1871 قبل ماكسويل بوظيفة أستاذ في الفيزياء في جامعة كمبريدج العريقة ليحتل كرسي الأستانة الذي سمى باسم كافنديش (Cavendish) الفيزيائي البريطاني المعزف. وفي عام 1873، نشر ماكسويل كتابه "الكهرباء والمغناطيسية" وفيه وضع معادلاته الأربع المشهورة والتي تُعد بحق أهم الإنجازات العلمية في القرن التاسع عشر. وتوفي ماكسويل عام 1879 في ريعان شبابه (كان عمره 46 سنة) مخلفاً للبشرية إطاراً رياضياً يفسر الظواهر الكهرومغناطيسية مما فتح الباب منذ ذلك الوقت أمام التقدم التقني الهائل في شئ مناحي الحياة.

بنصرف عن:

MacTutor History of Mathematics

<http://www-history.mcs.st-andrews.ac.uk/Mathematicians/Maxwell.html>

١. عند تغير التدفق المغناطيسي خلال ملف تولد قوة دافعة كهربائية، وتسمى القوة الدافعة الكهربائية التأثيرية، ويسمى التيار المُولد في الملف بالتيار التأثيري.
٢. الحث المتبادل بين ملفين هو الطريقة الأخرى لإنتاج تيارات تأثيرية.
٣. الحث الذاتي هو تولد قوة دافعة كهربائية تأثيرية في دارة مختلفة.
٤. قانون فارادي: القوة الدافعة التأثيرية  $\propto$  الناتجة عن تحريك مجال مغناطيسي داخل ملف تساوي معدل التغير الزمني في تدفق المجال المغناطيسي.

$$\mathcal{E} = - \frac{d\Phi_B}{dt} = - \frac{d}{dt} \int B \cdot dA$$

٥. ينصُّ قانون لenz على أنَّ "اتجاه التيار التأثيري يكون بحيث يكون اتجاه المجال المغناطيسي التأثيري الناتج عنه معاكساً للتغير في التدفق المغناطيسي الأصلي". وتمثل الإشارة السالبة في قانون فارادي قانون لenz.

٦. المُولد الكهربائي جهاز يستخدم لتوليد قوة دافعة كهربائية باستخدام مبدأ الحث الكهرومغناطيسي. الفكرة هي في استخدام ملف يدور في مجال مغناطيسي. تتحول الطاقة الميكانيكية المستخدمة في تدوير (أو تحريك) الملف في المجال المغناطيسي إلى طاقة كهربائية.

$$\oint E \cdot dl = - \frac{d\Phi_B}{dt}$$

٧. يُولد المجال المغناطيسي المتغير مجالاً كهربائياً يُعطى بالعلاقة:

٨. يختلف المجال الكهربائي التأثيري  $E$  في طبيعته عن المجال الكهربائي الناتج عن شحنة ساكنة

٩. في حين أنَّ القوى الناتجة عن شحنات ساكنة قوى محافظة فإنَّ القوى الناتجة عن المجالات المغناطيسية المتغيرة ليست قوى محافظة. ولذلك لا نستطيع أن نعرف طاقة وضع في حالة المجالات غير الساكنة.

١٠. يتكون المحوَّل في تركيبته الأساسية من ملفين، يُسمى الأول الملف الابتدائي والثاني الملف الثانوي. ويستفاد من الحث المتبادل بين الملفين لتوليد قوة دافعة تأثيرية. المحوَّلات نوعان: رافع للجهد وخافض للجهد ويُستخدم في نقل الطاقة الكهربائية من منطقة إلى أخرى.

١١. تمثل معادلات ماكسويل الأربع، بالإضافة إلى قانون لورنزو، إطاراً رياضياً شاملًا لتفسير جميع الظواهر الكهرومغناطيسية.

١: عند إدخال ملف في مجال مغناطيسي بسرعة معينة لا فإنّ القوة الدافعة التأثيرية الناتجة:

- (أ) نقل بازدياد ٧  
 (ب) تزداد بازدياد ٧  
 (ج) تتغير بشكل أسي بازدياد ٧  
 (د) تتغير بشكل جيبى بازدياد ٧

٢: وضع ملف عدد لفاته  $100 = N$  ومساحة مقطعيه  $0.02 \text{ m}^2$  في منطقة مجال مغناطيسي

موازي محوره ويتغير مع الزمن حسب العلاقة:  $t^2 = 2 + 3 t^2$  حيث  $t$  بالثانية و  $B(t)$  حيث  $t$  بالثانية، إنّ مقدار القوة الدافعة التأثيرية المُتولدة في الملف (بالفولت) في اللحظة  $t = 3 \text{ s}$  يساوي:

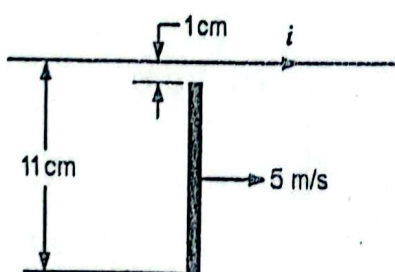
- (أ) 36 V      (ب) 48 V      (ج) 60 V      (د) 72 V

٣: استخدم ملف دائري مساحة مقطعيه  $0.03 \text{ m}^2$  وعدد لفاته 1000 لقياس مجال مغناطيسي منتظم ومحظوظ، فدور في المجال بسرعة  $5 \text{ rad s}^{-1}$  ولوحظ أنّ أكبر قيمة للقوة الدافعة الكهربائية المُتولدة فيه كانت ١.٢ V، إنّ شدة المجال المغناطيسي تساوي:

- (أ) 2 mT      (ب) 4 mT      (ج) 6 mT      (د) 8 mT

٤: في السؤال السابق لو كانت شدة المجال المغناطيسي الناتج تساوي  $20 \text{ mT}$  فإنّ سرعة الدوران، بوحدة  $\text{rad s}^{-1}$  يجب أن تصبح متساوية لـ:

- (أ) 1.0      (ب) 1.5      (ج) 2.0      (د) 2.5



٥: يتحرك سلك مستقيم طوله 10 cm بسرعة 5 m/s باتجاه مواز لسلك طويل يحمل تياراً شدته  $I$ ، كما في الشكل المجاور، إذ علمت أنّ حافة السلك المتحرك القريبة من السلك الطويل تبعد مسافة 1 cm عنه وأنّ فرق

الجهد المُتولد بين طرفي السلك المتحرك يساوي  $1.2 \mu\text{V}$  فإنّ شدة التيار  $I$  تساوي:

- (أ) 0.25 A      (ب) 0.50 A      (ج) 0.75 A      (د) 1.00 A

٦: ملف لولبي طوله نصف قطر مقطعيه 6 cm ويحتوي على 1000 لفة لكل وحدة طول،

يحمل تياراً متغيراً مع الزمن يعطى بالمعادلة  $i = i_0 \cos \omega t$  حيث  $i_0$  قيمة التيار العظمى

وتساوي  $500 \text{ mA}$  و  $10 \text{ rad s}^{-1} = \omega$  تردد التيار الزاوي، إنّ أكبر قيمة لشدة المجال

الكهربائي، بوحدة  $\text{V/m}^{10}$ ، عند نقطة تبعد 3 cm عن محور الملف تساوي تقريرياً:

ملاحظة: انظر المثال (8-10).

7: يخضع محول عدد لفات ملفه الابتدائي 200 وعدد لفات ملفه الثانوي 80 إلى جهد متعدد

فترة 220 V، إنَّ جهد الملف الثانوي يساوي:

(ا) 88 V وهذا المحول رافع للجهد      (ب) 88 V وهذا المحول خافض للجهد

(ج) 550 V وهذا المحول رافع للجهد      (د) 550 V وهذا المحول خافض للجهد

8: في السؤال السابق إذا كانت شدة التيار في الملف الثانوي تساوي 50 mA فإنَّ شدة التيار

المار في الملف الابتدائي تساوي:

(ا) 10 mA      (ب) 20 mA      (ج) 25 mA      (د) 50 mA

9: يُعبّر قانون غاوس في المغناطيسية  $\oint \mathbf{B} \cdot d\mathbf{A} = 0$  عن حقيقة أنَّ:

(ا) الأحاطي المغناطيسي غير موجود.

(ب) تتفق المجال المغناطيسي يعتمد على مصدره.

(ج) تتفق المجال المغناطيسي الناتج عن ثاقبي مغناطيسي في لية نقطة في الفراغ ثابت.

(د) تتفق أي مجال مغناطيسي خلال أي سطح يساوي دائماً صفرًا.

10: تُعبّر معادلات ماكسويل عن حقيقة:

(ا) وجوب التمييز بين الأثر الكهربائي والأثر المغناطيسي للشحنات الكهربائية.

(ب) وجود الأثر الكهربائي والمغناطيسي للشحنات الكهربائية في آن واحد.

(ج) أنَّ الأثر الكهربائي والمغناطيسي للشحنات الكهربائية لا يظهران معاً.

(د) أنَّ الكهرباء والمغناطيسية ظاهرتان مستقلتان تماماً الواحدة عن الأخرى.

### مسائل

1-10 يتغير التدفق المغناطيسي خلال ملف يحتوي على 12 لفة من  $+6.0 \text{ Wb}$  إلى  $-6.0 \text{ Wb}$

خلال  $0.2 \text{ s}$ . ما متوسط القوة الدافعة الكهربائية التأثيرية المتولدة في الملف؟

2-10 يؤثر مجال مغناطيسي باتجاه عمودي على سطح عروة دائري نصف قطرها  $15 \text{ cm}$

فتتغير قيمته من  $T$  0.4 إلى  $T$  0.8 خلال  $0.8 \text{ ms}$ . احسب متوسط القوة الدافعة الكهربائية

التأثيرية المتولدة في العروة.

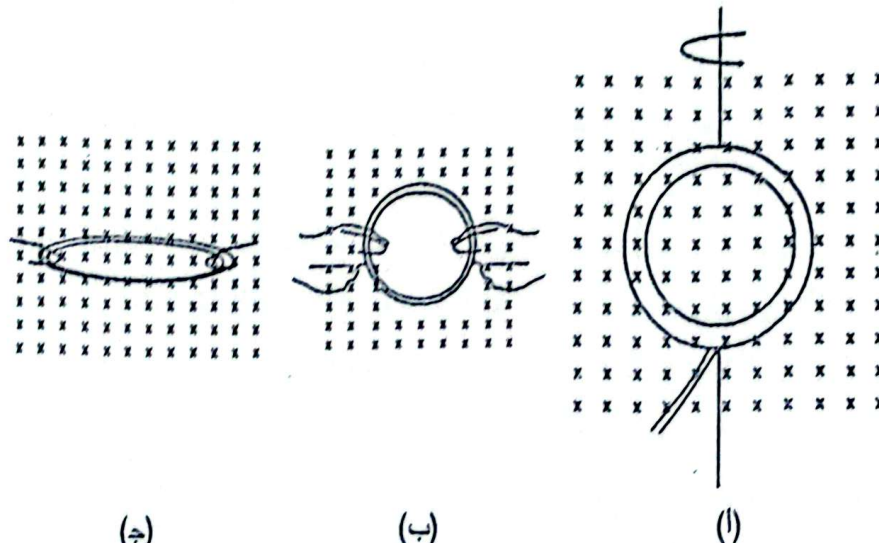
3-10 ملف مكون من 50 لفة مساحة سطحه  $0.2 \text{ m}^2$  ومقاومته  $0.6 \Omega$ ، موضوع في مجال

مغناطيسي منتظم  $\mathbf{B}$  يؤثر باتجاه عمودي على مستوى، إذا كانت قيمة المجال  $\mathbf{B}$  تتغير

بمرور الزمن على النحو:  $B = 5t^2 + 3t$ ، حيث  $B$  بالتسلا و  $t$  بالثانية فلارجد: (ا)

القوة الدافعة الكهربائية التأثيرية المتولدة في الملف عند اللحظة  $t = 4 \text{ s}$ . (ب) التيار

4-10 يؤثر مجال مغناطيسي ثابت  $B = 0.2 \text{ T}$  باتجاه عمودي على ملف ممساحة سطحه  $A = 10^2 \text{ m}^2$  وعدد فlaces  $N = 100$  كما في الشكل (13-10) (أ) إذا دوى الملف بحيث أصبح المجال موازيًا لسطحه خلال زمن  $0.2 \text{ s}$ ، فما القوة الدافعة الكهربائية التأثيرية المولدة في الملف؟ (ب) إذا حرك الملف في الشكل (13-10) (أ) بعيداً عن منطقة المجال واستغرق إخراجه من المجال  $0.2 \text{ s}$  فما مقدار القوة الدافعة الكهربائية التأثيرية المولدة في الملف؟ (ج) إذا سحب طرفا الملف السابق خلال زمن  $0.2 \text{ s}$  كما في الشكل (13-10) (ج) وأصبحت مساحته  $0.1 \text{ A}$ ، فما مقدار القوة الدافعة الكهربائية التأثيرية المولدة في الملف؟ (د) أي الحالات السابقة تُعد عملية لتوليد القوة الدافعة الكهربائية؟



الشكل (13-10)

5-10 عروة مرنة من مادة موصلة تتغير مساحة سطحها وقتاً للعلاقة  $(5+1) A = 5 \times 10^{-3} t$  حيث  $t$  بالثانية و  $A$  بالمتر المربع، إذا كانت العروة موضوعة في مجال مغناطيسي منتظم عمودي على مستواها ثابت  $T = 0.2 \text{ T}$ ، فما القوة الدافعة الكهربائية التأثيرية المولدة في العروة عند اللحظة  $t = 2 \text{ s}$ ؟

6-10 حلقة دائريّة نصف قطرها  $15 \text{ cm}$  و مقاومتها  $0.012 \Omega$  ما كمية الشحنات الكلية المارة في الحلقة عند تدويرها من وضع يكون مستواها عمودياً على مجال مغناطيسي منتظم ثابت  $4.0 \text{ T}$  إلى وضع يصبح فيه مستواها موازيًا للمجال؟

7-10 وضعت عروة مساحتها  $A$  في مجال مغناطيسي  $B$  قيمته متغيرة مع الزمن وعمودي على مستواها، يُعطى مقداره بالمعادلة  $B = B_0 e^{-ta}$ ، حيث  $B_0$  و  $a$  ثابتان و  $t$  بالثانية، (أ) اثبت أن القوة الدافعة الكهربائية التأثيرية المولدة في العروة تُعطى المعادلة

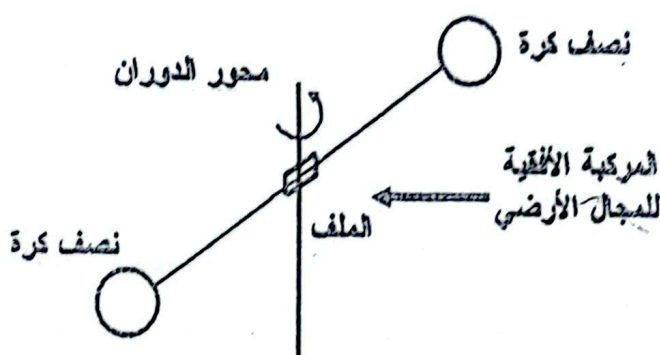
$$A = 0.05 \text{ m}^2 \quad B_0 = 0.2 \text{ T}$$

الناتجة العظمى للقوة الدافعة الكهربائية؟

- 8-10 استخدم ملف دائري نصف قطره 1 cm وعدد لفاته 80 لقياس مجال مغناطيسي مجهول، فدور في المجال بسرعة 500 دورة في الدقيقة ولوحظ أن أكبر قيمة للقوة الدافعة الكهربائية المولدة فيه كانت 7 V، ما مقدار المجال المغناطيسي؟ وهل يمكن الاستفادة من هذه الطريقة لتحديد اتجاه المجال؟ على إجابتك.

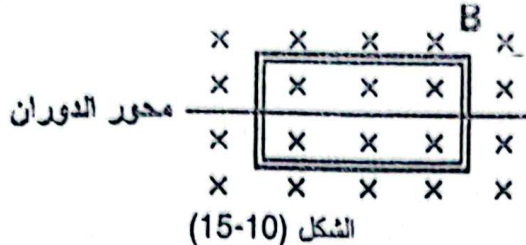
- 9-10 يستخدم جهاز الأنيموميتر (anemometer) لقياس سرعة الريح. ويتكون الجهاز من قضيب خفيف مثبت في نهايته نصفاً كره صغيراً بشكل متعاكش، ومثبت في وسطه ملف مستوأه بالاتجاه الرأسي، ويدور حول محور رأسي كما في الشكل (14-10). عند دوران الجهاز تحت تأثير الريح وتغير تكثف المجال المغناطيسي الأرضي خلال ملفه، يتولد في الملف قوة دافعة كهربائية تأثيرية تتناسب مع سرعة الدوران التي تتناسب بدورها مع سرعة الريح. إذا كان طول قضيب الأنيموميتر 60 cm ومساحة ملفه  $0.01 \text{ m}^2$ ، وعدد لفاته 200، وقيمة المركبة الأفقية للمجال المغناطيسي الأرضي  $20 \mu\text{T}$ ، فما سرعة الريح عندما تكون القوة الدافعة الكهربائية العظمى المولدة في الملف

$$? \text{ m/s}$$

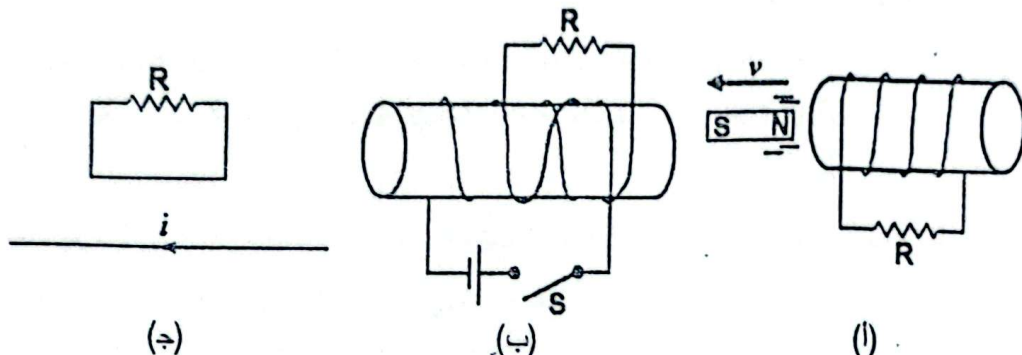


الشكل (14-10)

- 10-10 ملف مستطيل الشكل طوله 25 cm وعرضه 15 cm، يحتوي على 400 لفة، يدور حول محور تمايله في مجال مغناطيسي منتظم شدته متوازنة مع محور دورانه، كما في الشكل (15-10). إذا علمت أن الملف يكمل 2000 دورة في الدقيقة، فارجع القوة الدافعة الكهربائية التأثيرية المولدة في الملف عندما يصنع مستوى الملف مع اتجاه المجال زاوية قدرها: (أ)  $90^\circ$ , (ب)  $80^\circ$ , (ج)  $120^\circ$ .



- 11-10 استخدم قانون لenz لإيجاد اتجاه التيار الكهربائي التأثيري المار في المقاومة  $R$ : (ا) عند تحريك المغناطيس نحو اليسار في الشكل (16-10 أ). (ب) عند إغلاق المفتاح  $S$  في الشكل (16-10 ب). (ج) عند تلاصق التيار  $i$  في الشكل (16-10 ج) بسرعة إلى الصفر.



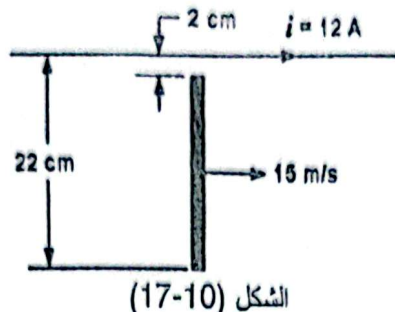
- 12-10 تطير طائرة بعد بين جناحيها  $50 \text{ m}$  بسرعة  $200 \text{ m/s}$  باتجاه الشمال. إذا علمت أن مركبة المجال المغناطيسي الرأسية تساوي  $T \mu 12$ ، (ا) فما فرق الجهد التقريري المُتولد بين طرفي جناحي الطائرة؟ (ب) ماذا يحدث إذا غيرت الطائرة اتجاه حركتها فأصبحت تطير باتجاه الشرق؟

- 13-10 سلك موصل ومستقيم طوله  $1 \text{ m}$  ويتحرك بسرعة  $2 \text{ m/s}$  باتجاه عمودي على مجال مغناطيسي منظم شدته  $T$   $0.5$ . (ا) ما فرق الجهد التأثيري المُتولد بين طرفيه؟ (ب) إذا تغير اتجاه حركة الموصل بحيث أصبح يصنع  $30^\circ$  مع اتجاه المجال، فما فرق الجهد التأثيري؟

- 14-10 يسقط قضيب معدني طوله  $2 \text{ m}$  من السكون تحت تأثير الجذب الأرضي بحيث يظل طوله موازياً للأفق ومتعمداً مع مركبة المجال المغناطيسي الأرضي الأفقي، إذا علمت أن مركبة المجال المغناطيسي الأفقي تساوي  $T = 2.3 \times 10^{-5} \text{ T}$  فما فرق الجهد المُتولد بين طرفي القضيب عند سقوطه مسافة  $20 \text{ m}$ ؟

- 15-10 يتحرك سلك مستقيم طوله  $20 \text{ cm}$  بسرعة  $15 \text{ m/s}$  باتجاه مواز لسلك طوبل يحمل تياراً شدته  $12A$ ، كما في الشكل (10-17). إذ علمت أن حافة السلك المتحرك القريبة من السلك

الطويل تبعد مسافة 12 cm عنده، فما فرق الجهد المغولد بين طرفي المكثف المتحرّك؟ أي الطرفين يكون جهده أعلى من الآخر؟

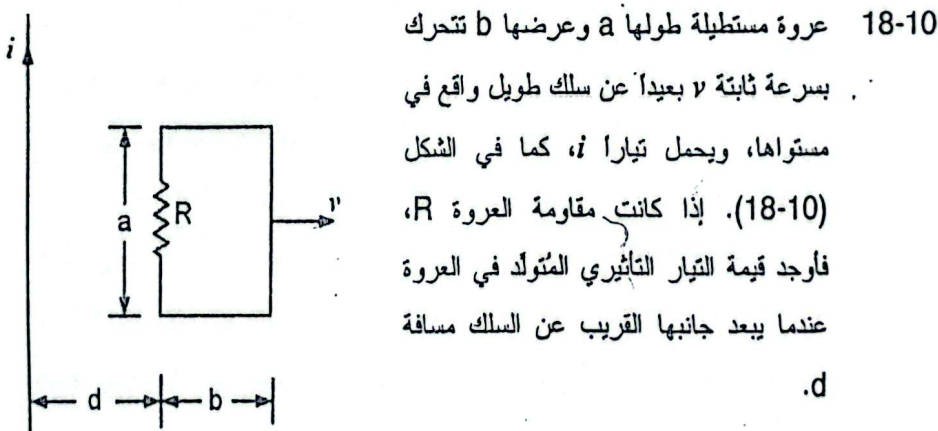


الشكل (17-10)

.10

- 16-10 يدور قرص معدني نصف قطره  $R$  بسرعة زاوية  $\omega$  حول محور عمودي على سطحه ماربمركزه في مجال مغناطيسي منتظم  $B$  مواز للمحور. (ا) اثبت ان فرق الجهد التأثيري المغولد بين مركز القرص وحافته يساوي  $B/2 R^2 \omega$ . (ب) إذا كانت القرص وحافته؟  
الكتلة بين مركز القرص وحافته  $B = 0.5 \text{ T}$  و  $R = 12 \text{ cm}$  و  $\omega = 100 \text{ rad/s}$

- 17-10 يدور مولد بسيط مكون من عري مربعة طول ضلعها 6 cm، بسرعة 1200 دورة في الدقيقة في مجال مغناطيسي منتظم شدته  $T$  0.4، إذا كانت القيمة العظمى للفوّة الدافعة الكهربائية المولدة فيه 7 V فما عدد عري ملف المولد؟

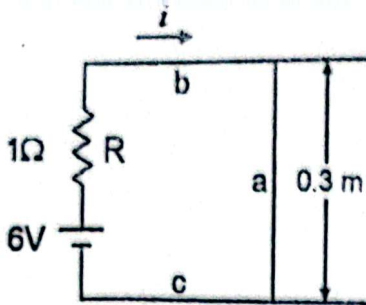


الشكل (18-10)

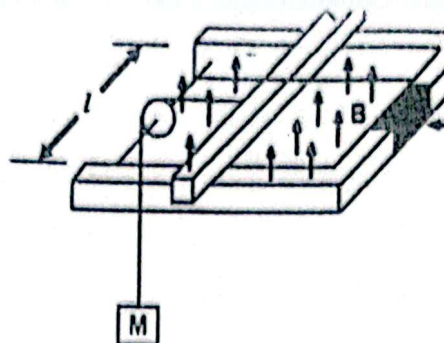
- 18-10 عروة مستطيلة طولها  $a$  وعرضها  $b$  تتحرّك بسرعة ثابتة  $v$  بعيداً عن سلك طول  $d$  واقع في مستوىها، ويحمل تياراً  $i$ ، كما في الشكل (18-10). إذا كانت مقاومة العروة  $R$ ، فلوجد قيمة التيار التأثيري المولود في العروة عندما يبعد جانبها القريب عن السلك مسافة  $d$ .

الشكل (18-10)

- 19-10 قضيب كتله  $m$  قابل للانزلاق بدون احتكاك على موصلين متوازيين، البعد بينهما  $l$  ومتصل طرفاها الأمين معًا بواسطة مقاومة  $R$ ، و موضوعين في منطقة مجال مغناطيسي منتظم  $B$  متواز مع مستوىهما، كما في الشكل (19-10). ربطت كتله  $M$  بالقضيب بواسطة خيط خفيف يمر حول بكرة، فبدأ القضيب بالانزلاق في اللحظة  $t = 0$  لوحده سرعة القضيب بدالة الزمن  $t$ .



الشكل (20-10)



الشكل (19-10)

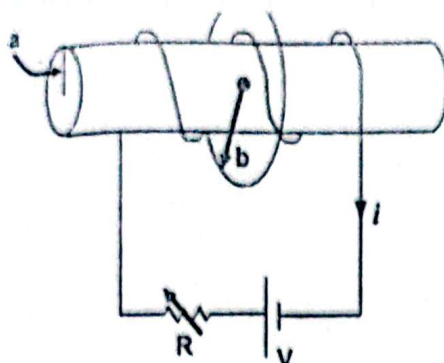
20-10 في الدارة المبينة في الشكل (20-10) يستطيع السلك a الانزلاق بدون احتكاك على السلكين b و c. إذا وضعنا الدارة في مجال مغناطيسي منظم شدته  $T = 0.5$  حيث كان اتجاهه عمودياً على مستواها إلى الداخل فبدأ السلك بالانزلاق إلى اليمين تحت تأثير القوة المغناطيسية ولزم التأثير عليه بقوة معاكسة قدرها  $N = 0.25$  لجعل انزلاقه بسرعة ثابتة. جد: (ا) شدة التيار المار في الدارة. (ب) فرق الجهد بين طرفي المقاومة  $R$ . (ج) القوة الدافعة الكهربائية التأثيرية المترولة في السلك المنزلي. (د) سرعة انزلاق السلك. (هـ) القدرة الميكانيكية الناتجة عن انزلاق السلك.

21-10 قضيب موصل كتلته  $m$  و مقاومته  $R$  موضوع على سلكين أملسين متوازيين البعد بينهما  $l$  و يقعان في مجال مغناطيسي منظم  $B$  عمودي على مستواهما، كما في الشكل (21-10). وصل مصدر فرق جهد  $V$  بين النقطتين a و b في اللحظة  $t = 0$ . (ا) ما سرعة انزلاق القضيب بدلالة الزمن؟ (ب) هل تستمر سرعة القضيب بالتغير مع مرور الزمن، ولماذا؟

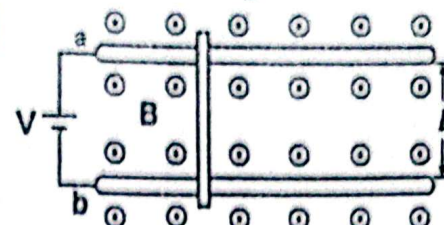
22-10 ملف لولبي طوله  $l$ ، و عدد لفاته  $N$  و نصف قطره  $a$ ، يتحدد في المhour مع عروة دائيرية نصف قطرها  $b$ ، كما في الشكل (22-10). يمكن تغيير التيار  $i$  المار في الملف اللولبي بواسطة المقاومة المتغيرة  $R$ . إذا تغير التيار  $i$  من  $6 \text{ A}$  إلى  $1 \text{ A}$  خلال زمن  $1.5 \text{ ms}$  وكانت  $N = 3$  و  $b = 20 \text{ cm}$  و  $a = 4 \text{ cm}$  و  $l = 1 \text{ m}$  فارجع القوة الدافعة الكهربائية التأثيرية المترولة في العروة.

23-10 ما مقدار المجال الكهربائي عند أيّة نقطة على القرص الدوار في المسألة (16-10)؟ وما اتجاهه؟

24-10 يتغير مجال مغناطيسي  $B$  عمودي على مستوى الورقة إلى الداخل، خلال منطقة دائيرية نصف قطرها  $8 \text{ cm} = R$  على النحو  $T = (0.2t^2 + 0.3) \text{ T}$ ، حيث  $t$  بالثانية. ما مقدار المجال الكهربائي المترولد عند نقطة مثل  $P_1$  تبعد مسافة  $r_1 = 5 \text{ cm}$  عن مركز المنطقة في اللحظة  $t = 2 \text{ s}$ ؟ وما اتجاهه؟ انظر الشكل (23-10).



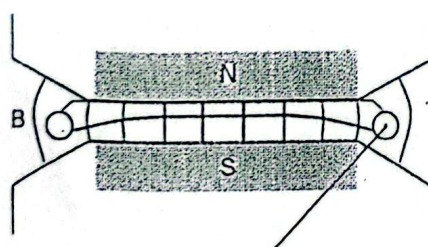
(22-10)



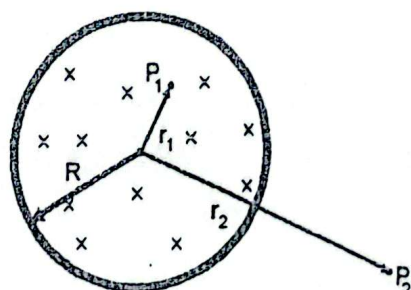
(21-10)

في المسألة السابقة، المسألة 24-10 إذا كانت  $B = 24 - 10 \cdot 3t^2 + 0.05 T$  فارجد القوة المؤثرة على الإلكترون موجود عند النقطة  $P_2$ ، التي تبعد عن مركز المنطقة مسافة  $r_2 = 10\text{cm}$ ، في اللحظة  $t = 3\text{s}$  اوجد اللحظة الزمنية التي تكون عندها القوة تساوي صفرًا.

**البيتارون (Betatron)** من الأجهزة التي شاع استعمالها في الماضي لتسريع الإلكترونات. يحتوي هذا الجهاز على صمام إلكتروني حلقي (circular) مفرغ من البواء موضوع في مجال مغناطيسي  $B$  كما في الشكل (24-10). تدخل فيه الإلكترونات المراد تسريعها وزيادة طاقتها الحركية، حيث يعمل المجال المغناطيسي على حفظ الإلكترونات في مدارات دائرية داخل الصمام إضافة إلى تسريعه لها نتيجة تغير مقداره. (أ) فسرُ كيف يتم تسريع الإلكترونات عندما تتغير قيمة المجال المغناطيسي. (ب) في أي اتجاه تتسارع الإلكترونات داخل البيتاoron. (ج) هل يجب أن تتزايد قيمة المجال أم تتناقص لكي تسرع الإلكترونات؟



(24-10)



(23-10)

محول عدد لفات ملفه الابتدائي 255 وعدد لفات ملفه الثانوي 85 ما نوع هذا المحول؟ إذا سُلِّطَ على ملفه الابتدائي جهد متزدوج قدره  $220\text{V}$  فما جهد ملفه الثانوي على افتراض أن كفاءة المحول % 98 ؟

محول يرفع جهداً متزدجاً قدره  $30\text{V}$  إلى  $220\text{V}$  ما نسبة التيار الثانوي إلى التيار الابتدائي على افتراض أن كفاءة المحول % 96 ؟

29-10 يحتاج مصباح نيون إلى 12 V لكي يضيء. (أ) كم يجب أن تكون نسبة عدد لفات ملفه الابتدائي إلى لفات ملفه الثانوي عند استخدام جهد 220 V لتشغيله؟ (ب) كم يكون الجهد إذا وقع خطأ في توصيل المحوّل فوصل ملفه الابتدائي بدل ملفه الثانوي وملفه الثانوي بدل الابتدائي؟

30-10 يحمل خطأ نقل جهداً قدره 18 kV من محطة التوليد إلى مصنع يبعد 18 km عن محطة التوليد، إذا علمت أن مقاومة كل من خطى النقل  $\Omega = 0.4$  وانهما يحملان تياراً شدته 600 A فما هي: (أ) الجهد الكهربائي الوा�صل لمحطة التحويل الفرعية في المصنع. (ب) القدرة الابتدائية. (ج) القدرة المفقودة في خطوط النقل. (د) القدرة الثانوية.

31-10 ثبتت أن القدرة المفقودة في خطوط النقل ( $P_L$ ) تُعطى بالمعادلة  $P_L = P_T^2 R_L / V^2$  حيث  $P_T$  تُمثل القدرة المنقول إلى المستهلك و  $V$  الجهد الوा�صل للمستهلك و  $R_L$  مقاومة خطوط النقل.

32-10 إذا لزمك نقل 80 kW من القدرة خلال خطى نقل مقاومة كل منها  $\Omega = 0.05$ ، فما التوفير في القدرة إذا رفع الجهد من 220 إلى 2200 V عند بداية تحويل الخطين ثم خفض ثانية إلى 220 عند نهاية الخطوط بدلاً من نقله على جهد 220 V؟ افترض أن كفاءة المحوّلين المستخدمين في رفع الجهد وفي خفضه 99%.

الفصل الحادي عشر

المِحَنَّاتُ وَالْمُحَاكَةُ

Inductors and  
Inductance

## المِحَاثُاتُ وَالْمُحَائِثُ

## (Inductors and Inductance )

## □ 1-11 تمهيد

يعتمد سلوك دارة كهربائية على جميع المفاهيم التي ناقشناها في الكهرباء والمagnetism خلال دراستنا للفصول السابقة. فهو يعتمد على مفاهيم المجال الكهربائي والمجال المغناطيسي وفرق الجهد الكهربائي والتيار الكهربائي وتوزيع الشحنات والتيارات التأثيرية، وعلى مفاهيم أخرى لم يبحث بعد. لذلك فإن تحليل دارة كهربائية حقيقة استناداً إلى هذه المفاهيم الأساسية أمر معقد في الواقع، ولهذا استحدث مفهوم المقاومة والمواسعة لتبسيط عملية التحليل، كما بينا في فصول سابقة. فأصبح من الممكن تمثيل فرق الجهد بين طرفي موصل بدلاً من مقاومته والتيار المار فيه. كما أصبح من السهل تمثيل فرق الجهد الناتج عن توزيعات شحنة على موصلات بدلاً من مواسعتها والشحنات المتواجدة عليها. وهناك مفهوم ثالث يضاف لمفهومي المقاومة والمواسعة يجعل من الممكن التعبير عن القوة الدافعة الكهربائية المتولدة نتيجة تغير التدفق المغناطيسي بدلاً من تغير الزمن للتيار. هذا المفهوم هو **المُحَائِثة** (inductance).

ويستخدم مفاهيم المقاومة والمواسعة والمُحَائِثة يمكن وصف سلوك أيّة دارة كهربائية بدلاً من التيار وتجمعات الشحنات والقوى الكهربائية في الدارة.

لقد تعرّفنا على مفهوم المواسعة في الفصل الخامس، كما تعرّفنا على مفهوم المقاومة في الفصل السادس وناقشت خواص الدارة المكونة من عنصر مواسعة (مكثف) وعنصر مقاومة (مقاومة) في الفصل السابع. وسنعرف في الفصل الحالي على مفهوم المُحَائِثة (inductance)، والمِحَاثُاتُ (inductors)، أو عناصر الحث. وخير مثال على عناصر الحث هذه هو الملف (coil)، الذي يحتوى تحت تأثير تغير التدفق المغناطيسي خلاله ويتولد به تيار تأثيري (أي تيار مستحدث) كما بينا في الفصل المنصرم.

و سنعرف كذلك على كيفية حساب قيمة المُحَائِثة هذه لمِحَاثٍ، ونناقش خواص الدارة المكونة من مقاومة ومحاث، والدارة المكونة من مكثف ومحاث والتي تعرف باسم دارة الرنين (resonance circuit)، وأخيراً نناقش الدارة التي تحتوي على مكثف ومحاث ومقاومة (RLC circuit) والتي تسمى بدارة الرنين المختمدة. وسوف ترى في دراستك اللاحقة أهمية الدارة الأخيرة في توليد الموجات الكهرومغناطيسية التي نستخدمها في البث الراديوي والتلفزيوني والتلفونى.

في دراستنا لقانون فارادي في الفصل الماضي، كان المجال المغناطيسي المتدايق خلال عروة من السلك (أو خلال ملف) ناتجاً عن مصدر آخر غير العروة، أي كان ناتجاً عن تيار مار في عروة أخرى أو عن مغناطيس خارجي. ومن الممكن أن يكون تدفق المجال المغناطيسي خلال منطقة محاطة بعروة (أو دارة) ناتجاً عن تيار مار في العروة نفسها. فإذا تغير التيار المار في العروة فإن المجال المغناطيسي  $\Phi_B$  الناتج عنه يتغير، ويصحب ذلك تدفق المجال المغناطيسي  $\Phi_B$  خلال العروة. ويؤدي تغير  $\Phi_B$  إلى احتثار (أو توليد)، قوة دافعة كهربائية  $E$  في العروة نفسها، تُعطى وفقاً لقانون فارادي بالمعادلة:

$$E = -d\Phi_B/dt$$

يتناصف تدفق المجال المغناطيسي مع المجال المكون له، كما نعلم، ويتناسب المجال بدوره مع التيار المولاد له (حسب قانون بيوت وسفارت)، لذلك فإن تدفق المجال المغناطيسي خلال العروة يتناصف طردياً مع التيار فيها، أي أن:

$$(1-11)$$

$$\Phi_B = L \cdot i$$

حيث  $L$  (L) مقداراً ثابتاً (ثابت التناصف بين  $\Phi_B$  و  $i$ )، يُعرف باسم المُحَالَةُ الذَّائِتِيَّةُ للعروة. وبطريق على العروة أو الدارة، التي تمتلك خاصية الاحتثار أو الحث (induction) هذه اسم البحث (inductor). ويمكن كتابة المُحَالَةُ الذَّائِتِيَّةُ  $L$  للعروة، من المعادلة (1-11)، على النحو الآتي:

$$(2-11)$$

$$L = \Phi_B / i$$

ونُقَاسِ المُحَالَةُ بالهنري (henry)، ويرمز للهنري في النظام الدولي للوحدات (SI)، بالرمز  $H$ . وبوضوح من المعادلة (2-11) أن:

$$1H = 1Wb / A = 1 T.m^2 / A$$

وكثيراً ما يكون تعاملنا مع بحث مكون من عدة عرى (أو لفات) متماثلة، تمر نفس خطوط المجال المغناطيسي خلالها جميعاً على حد سواء، كما هي الحال عند التعامل مع ملف تولبي. وفي هذه الحالة نضرب الطرف الأيمن للمعادلة (2-11) بعد لفات الملف  $N$  للحصول على المُحَالَةُ الذَّائِتِيَّةُ الكلية للملف. أي أن:

$$(3-11)$$

$$L = N \Phi_B / i$$

ويمثل  $\Phi_B$  هنا تدفق المجال المغناطيسي خلال لفة واحدة. ويرمز للمبحثات في الدارات الكهربائية بالرمز  $\mu_{0000}$ .

وتلعب المُحَالَةُ في المغناطيسية دوراً مشابهاً للدور الذي تلعبه المواسعة في الكهرباء. حيث يستفاد من المبحثات في توليد مجالات مغناطيسية مثلاً يستفاد من المكبات في توليد مجالات كهربائية. ويمكن اختران طاقة (مغناطيسية) في المبحثات مثلاً يمكن اختران طاقة (كهربائية) في المكبات. وتعتمد قيمة

البعدين، بينما يضرى في الثالث المترافق، على العكس الهندسى للمبحث (أى على ابعاده)، وعلى نوع المادة الموجودة فيه، تماماً كما هي الحال مع المكثف، إذ أن مواسعته تعتمد على شكله الهندسى وعلى نوع المادة الموجودة فيه.

تُمثل المعادلة (11-3)، صيغة مناسبة لحساب المحاثة الذاتية  $L$  لملف، بيد أنها ليست الصيغة المثلثى لقياس فرقية ما، فمن الأспектين لقياس  $L$  عملياً تمثلها بدلالة القوة الدافعة الكهربائية  $E$  المحدثة (أى المولدة بالتأثير) في المبحث، وتغير التيار في المبحث  $i = di/dt$ ، الذي هو المسبب في تولد  $E$ ، إذ إن تغير التيار  $i$  مع الزمن هو الذي يسبب تغير المجال  $B$  وتغير التدفق المغناطيسى  $\Phi_B$  خلال المبحث، الذي يؤدي إلى اختلاف  $E$  بالتالى، وللحصول على الصيغة العملية للمحاثة الذاتية  $L$ ، ننفصل المعادلة (1-11)، بالنسبة للزمن فنحصل على العلاقة:

$$\frac{d\Phi_B}{dt} = L \frac{di}{dt}$$

وبمقارنة هذه المعادلة مع قانون فارادي، المعادلة (10-2)، نستنتج أن:

$$(4-11) \quad L = -\frac{E}{di/dt}$$

وتكل الإشارة السالبة في المعادلة السابقة على أن اتجاه القوة الدافعة الكهربائية  $E$ ، المحدثة في المبحث عند تغير التيار المار به، يكون دائماً معاكساً لاتجاه التغير في التيار. وبمَكْنَ فهم هذا على ضوء قانون لenz، حيث يمكن مقاومة التغير في التدفق (النتائج عن تغير التيار) عن طريق توليد تدفق مضاد للتغير في التدفق الأصلى. ويستوجب هذا أن يكون اتجاه  $E$  المولدة للتدفق المعاكس مخالفة في اتجاهها لاتجاه التغير في التيار المولد لها أصلاً. وعند الرغبة بقياس المحاثة الذاتية  $L$  عملياً لمبحث فإننا نمرر فيه تياراً وتغير شدة التيار بمرور الزمن وفق نمط معروف ثم نقيس القوة الدافعة المحدثة فيه، ونعرض في المعادلة (11-4). وبشهادة ما علمناه لقياس مواسعة مكثف، حيث قمنا بشحن المكثف بشحنة  $Q$  ثم أنسنا فرق الجهد  $V$  الناتج عنها واستخدمنا المعادلة  $C = Q/V$  لإيجاد مواسعة المكثف  $C$  ومثماً تعتمد  $C$  على النسبة بين  $Q$  و  $V$  ولا تعتمد على أي من الكمبئين وحدهما، حيث تزداد  $V$  عند ازدياد  $Q$  بما يكفل بقاء النسبة بينهما ثابتة، فإن  $L$  تعتمد على النسبة بين  $E$  و  $di/dt$  ولا تعتمد على أي من الكمبئين وحدهما، وبفسر هذا ما قيل سابقاً عن المحاثة الذاتية بأنها خاصية ذاتية للمبحث تعتمد على شكله الهندسى والمواد الموجودة فيه (او حوله) فقط.

**المبحث هو نبيطة كهربائية، والمفضل مثل عليه هو الملف، يبحث تحت تأثير تغير التدفق المغناطيسى خلاله ويتولد به تيار تأثيري (أى تيار مستحدث).**

## نَخْرِين الطَّلَقَة الكهربائية.

يُعطى المُحَافَّة الذاتية  $L$  بالعلاقة:  $L = \frac{E}{di/dt}$ ، أي أنها تساوي النسبة بين القوة الدافعة

الكهربائية التأثيرية ومعدل تغير التيار الكهربائي الذي ولد هذه القوة الدافعة الكهربائية.

### □ 3-11 حساب المُحَافَّة الذاتية

يمكن حساب قيمة المُحَافَّة الذاتية لملف أو محيث نظرياً بإحدى طريقتين، تستند الأولى منها على المعادلة (11-3)، في حين تستند الثانية على المعادلة (11-4). بيد أنَّ الطريقة الأولى أسهل بكثير من الطريقة الثانية، ولذلك فهي المتبعة في معظم الأحيان لحساب المُحَافَّة الذاتية.

#### مثال (1-11)

أوجد المُحَافَّة الذاتية لملف لولبي طوبل مساحة مقطعه  $A$  وطوله  $l$  ويحتوي على  $n$  لفة لكل وحدة طول.

الحل:

لحساب مُحَافَّة الملف الذاتية، نتخيل تياراً  $i$  يمر فيه، ثم نحسب قيمة تدفق المجال المغناطيسي  $\Phi_B$  الناتج عن هذا التيار في الملف، وأخيراً نعرض في المعادلة (11-3). ووفقاً للمعادلة (9-15)، فإنَّ المجال المغناطيسي  $B$  داخل الملف اللولبي يُعطى بالعلاقة:

$$B = \mu_0 n i = \mu_0 N i / l$$

حيث تُمثل  $N$  عدد لفات الملف اللولبي الكلي ( $N = n l$ )، وعليه فإنَّ تدفق المجال المغناطيسي  $\Phi_B$  من إية لفة (ما عدا اللفات القليلة الواقعة عند نهاية الملف اللولبي)، يُعطى بالعلاقة:

$$\Phi_B = B A = \mu_0 N i A / l$$

وباستخدام المعادلة (11-3)، نجد أنَّ:

$$L = N \Phi_B / i = N \mu_0 N i A / l i$$

$$(5-11) \quad \therefore L = \mu_0 N^2 A / l = \mu_0 n^2 / A$$

وتلاحظ من نتيجة هذا المثال أنَّ  $L$  تعتمد على طول الملف  $l$ ، وعلى مساحة مقطعه  $A$  التي تحدد شكله الهندسي، وعلى ثابت إفرازية الوسط (الفراغ) للتأثير المغناطيسي. ولا تعتمد على التيار التخيلي  $i$ ، ولا على التدفق الناتج عنه، تماماً كما هو متوقع.

ما تقدم فإن مُحَانَة الملف التولبي الذاتي بعد إدخال قلب الحديد فيه تصبح:

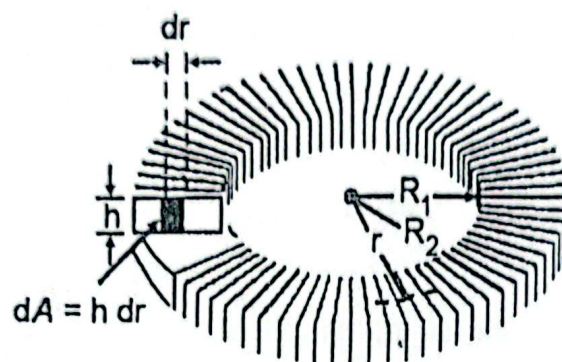
$$L = \kappa_M L_0 = 3000 \times 6.7 \times 10^{-4}$$

$$= 2.01 \text{ H} = 2010 \text{ mH}$$

### مثال (3-11)

ملف إطاري يحتوي على  $N$  لفة، نصف قطره الداخلي  $R_1$  والخارجي  $R_2$ ، ومحاطه على شكل مستطيل، ارتفاعه  $h$ ، كما في الشكل (1-11). احسب مُحَانَة الملف الذاتي.

الحل:



الشكل (1-11)

نخلي مرور تيار  $i$  خلال الملف، كما في المثل (1-11)، ونجد المجال المغناطيسي عند أيّة نقطة داخل الملف على بعد  $r$  من مركزه، وذلك باستخدام المعادلة (16-9) التالية:

$$(16-9) \quad B = \frac{\mu_0 N i}{2\pi r}; \quad (R_1 < r < R_2)$$

ثم نحسب تدفق المجال المغناطيسي  $\Phi_B$  خلال لفات الملف على النحو التالي:

$$\begin{aligned} d\Phi_B &= B dA = B h dr \\ \therefore \Phi_B &= \int B h dr = \frac{\mu_0 N i h}{2\pi} \int_{R_1}^{R_2} \frac{dr}{r} = \left( \frac{\mu_0 N i h}{2\pi} \right) \ln \frac{R_2}{R_1} \end{aligned}$$

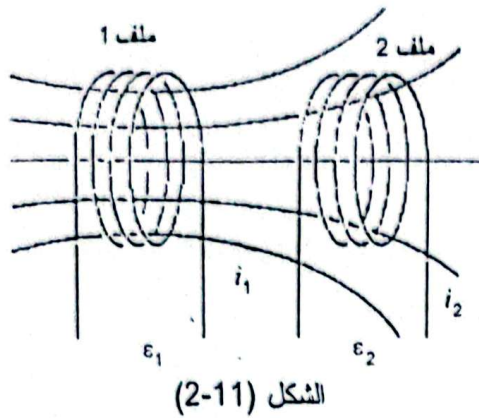
وأخيراً نعرض في المعادلة (1-11)، فنحصل على المُحَانَة الذاتية للملف الإطاري على النحو التالي:

$$(10-11) \quad L = \frac{N \Phi_B}{i} = \left( \frac{\mu_0 N^2 h}{2\pi} \right) \ln \frac{R_2}{R_1}$$

نعطي مُحَانَة ملف إطاري يحتوي على  $N$  لفة، نصف قطره الداخلي  $R_1$  والخارجي  $R_2$

$$L = \frac{N \Phi_B}{i} = \left( \frac{\mu_0 N^2 h}{2\pi} \right) \ln \frac{R_2}{R_1}$$

## □ ٤-١١ المحانة المتبادلة (Mutual Inductance)



عند وضع ملفين قرب بعضهما كما في الشكل (2-11)، ومرور تيار متغير في أحدهما فإنّ قوة دافعة كهربائية  $\epsilon$  تتولد بالتأثير في الملف الآخر. ووفقاً لقانون فارادي، تتناسب  $\epsilon_2$  المتولدة في الملف 2 مع معدل تغير التدفق المغناطيسي خلاه. وبما أنّ هذا التدفق ناتج عن التيار  $i_1$  المار في الملف 1 فإنه يمكن تمثيل  $\epsilon_2$  بدلالة  $i_1$ .

لفترض أنَّ  $\Phi_{21}$  يمثل تدفق المجال المغناطيسي خلا كل عروة من عرى الملف 2 الناتج عن التيار  $i_1$ ، فتكون  $N_2 \Phi_{21}$  مماثلة للتدفق خلا جميع لفات الملف 2 نتيجة التيار  $i_1$ ، وذلك على افتراض أنَّ الملف 2 مكون من عدد  $N_2$  من اللفات المترادفة. ويتناسب مقدار  $N_2 \Phi_{21}$  طردياً مع  $i_1$ ، ويسمى ثابت التتناسب بالمحانة المتبادلة (mutual inductance)، ويرمز له بالرمز  $M_{21}$ ، ويُعرف بالمعادلة:

$$(11-11) \quad M_{21} = \frac{N_2 \Phi_{21}}{i_1}$$

من ناحية أخرى فإنَّ القوة الدافعة الكهربائية  $\epsilon_2$  المتولدة في الملف 2 نتيجة تغير التيار المار في الملف 1 تُعطى حسب قانون فارادي بالمعادلة:

$$(12-11) \quad \epsilon_2 = -N_2 \frac{d\Phi_{21}}{dt}$$

وبالتعميض عن  $\Phi_{21}$  من المعادلة (11-11)، نجد أنَّ:

$$(13-11) \quad \epsilon_2 = -M_{21} \frac{di_1}{dt}$$

ترتبط المعادلة (13-11) بين التيار في الملف 1 والقوة الدافعة الحثية في الملف 2. ويمثل  $M_{21}$  مقداراً ثابتاً يعتمد على حجم وشكل وعدد لفات كل من الملفين 1 و 2 وموضعهما، وينظر إليها على أنها محانة الملف 2 بالنسبة للملف 1. كما يعتمد مقدار  $M_{21}$  على وجود مادة فرومغناطيسية داخل الملفين أو قربهما من بعضهما ويمكن حساب قيمة المحانة المتبادلة لملفين في بعض الحالات بطريقة نظرية، ولكنها تُحدَّد بشكل عام بطرق تجريبية عملية. لنفترض الآن وجود وضع معاكس. أي لنفترض أنَّ تياراً متغيراً يمر في الملف 2 ويولد في الملف 1 قوة دافعة كهربائية  $\epsilon_1$ . في هذه الحالة نستطيع اشتقان صيغة لـ  $\epsilon_1$  على النحو التالي:

$$(14-11) \quad \epsilon_1 = -M_{12} \frac{di_2}{dt}$$

اننا لن نثبت ذلك هنا، وعليه فإنه يمكن الاستغناء عن الرموز الدليلية السفلية وكتابه:

$$(15-11) \quad M = M_{12} = M_{21}$$

وهكذا يمكن كتابة معادلتي القوتين الدافعتين الكهربائيتين  $\epsilon_1$  و  $\epsilon_2$  على النحو الآتي:

$$(16-11) \quad \epsilon_1 = -M \frac{di_2}{dt}$$

$$(16-11) \quad \epsilon_2 = -M \frac{di_1}{dt}$$

كما يمكن كتابة المُحَائِّة المُتَبَالِدَة على النحو الآتي:

$$(17-11) \quad M = -\frac{\epsilon_1}{di_2/dt} = -\frac{\epsilon_2}{di_1/dt}$$

وتقاس المُحَائِّة المُتَبَالِدَة بنفس وحدة المُحَائِّة الذاتية، أي بالهنري (H).

وخير مثال على المُحَائِّة المُتَبَالِدَة هو المُحَوّل الكهربائي، الذي يكون الترابط فيه بين الملفين الابتدائي والثانوي أكبر ما يمكن، حيث يعمل اللب الحديدي الموجود داخله على تمرير جميع خطوط المجال المغناطيسي (تقريباً) المتداقة من الملف الابتدائي إلى الملف الثانوي. وهناك تطبيقات أخرى مهمة على الحث المتبادل في الحياة العملية، كما في حالة جهاز ضابط معدل نبضات القلب (pacemaker)، الذي يستخدمه بعض مرضى القلب لضبط نبضات قلوبهم، ولتنقية عضلاتها حيث يدخل في جسم المريض جهاز إلكتروني للقيام بالعمل المطلوب وذلك عن طريق عملية جراحية. ويُستفاد من المُحَائِّة المُتَبَالِدَة هنا في تزويد الجهاز بالقدرة الكهربائية اللازمة لعمله من خارج الجسم، حيث يوجد مع الجهاز داخل جسم المريض ملف مناسب يتاثر بتغير تدفق المجال المغناطيسي خلال ملف آخر يحمله المريض معه، وتتولد به القوة الدافعة الكهربائية وبالتالي. ولا يخفى عليك أهمية هذا الأمر، إذ أنه بغير هذا سيضطر المريض لإجراء عملية جراحية كلما نفذت طاقة البطارية (لو كان الجهاز الداخلي يعمل على بطارية) لنفس بطارية جديدة. وعادة يكون الملف الخارجي مربوطاً على جسم المريض قرب مكان وجود الملف الداخلي، ويتحذى الملف الخارجي بالقدرة الكهربائية المتغيرة من بطارية يحملها المريض في جيده بدلاً من أن تكون مفروسة داخل جسمه.

لا تكون المُحَائِّة المُتَبَالِدَة دائماً مفيدة على أية حال، فكثيراً ما تسبب لنا مشاكل نضطر لصرف جهد ومال من أجل التخلص منها. ففي الدارات الإلكترونية، كارات اجهزة الإرسال والاستقبال الراديوي والتلفزيوني يبحث أي ملف موجود فيها الملفات أو العري (أو حتى النبات) المجاورة له، ويولد فيها تيارات تأثيرية غير مرغوب بها، وفي هذه الحالات علينا أن نبحث عن الدرع المناسب لوقاية النبات الحساسة الجرحة بالنسبة لقيام الجهاز بعمله من تأثير المحاثات عليها.

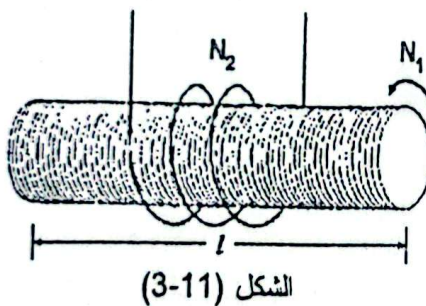
إذا كانت  $E_1$  هي القوة الدافعة التأثيرية المتولدة في بحث 1ـا يمر به تيار شدته  $i_1$ ، النتيجة عن وضعه قرب بحث لكر  $N_2$  يمر به تيار شدته  $i_2$ ، وإذا كانت  $E_2$  هي القوة الدافعة التأثيرية المتولدة في البحث 2ـا، فإن المُحَانَة المتبادلة بينهما تُعطى بالعلاقة:

$$M = -\frac{E_1}{di_2/dt} = -\frac{E_2}{di_1/dt}$$

#### مثال (4-11)

يحتوي ملف لوبي طوله على عدد  $N_1$  من اللفات المتراصة، وملفوف عليه ملف آخر عدد لفاته  $N_2$ ، كما في الشكل (3-11).假設  $N_1$  是第一圈的匝數， $N_2$  是第二圈的匝數。假設  $A$  是線圈的面積。若  $i_1$  是第一圈的電流， $i_2$  是第二圈的電流，則由上式得  $M = -\frac{\mu_0 N_1 i_1}{l} = -\frac{\mu_0 N_2 i_2}{l}$

الفرض أن طول الملف اللوبي  $l$  ومساحة مقطعه  $A$ ، وأن جميع خطوط المجال المغناطيسي التي تتدفق من الملف اللوبي (عدد مرور تيار فيه)، تمر خلال الملف الخارجي (الم ملفوف على الملف اللوبي)، واحسب المُحَانَة المتبادلة للملفين.



الشكل (3-11)

الحل:

إذا مر تيار  $i_1$  في الملف اللوبي الذي عدد لفاته  $N_1$  وطوله  $l$ ، فإن المجال المغناطيسي  $B_1$  داخله يُعطى  
بالمعادلة (15-9) التالية:

$$B_1 = \mu_0 n_1 i_1 = \frac{\mu_0 N_1 i_1}{l}$$

وبما أن المجال  $B_1$  يتدفق خلال الملف الخارجي، الذي عدد لفاته  $N_2$ ، والذي يحيط بالملف اللوبي، فإن تدفق المجال المغناطيسي خلال الملف الخارجي  $\Phi_{21}$  يكون:

$$\Phi_{21} = BA = \frac{\mu_0 N_1 i_1 A}{l}$$

وبالتعریض في المعادلة (11-11) نستنتج ان:

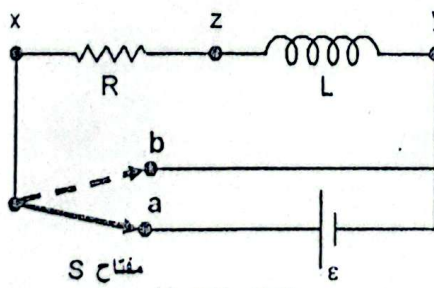
$$M_{21} = M = N_2 \frac{\Phi_{21}}{i_1} = \frac{\mu_0 N_1 N_2 A}{l}$$

لاحظ أنتا حسبنا في هذا المثال  $M_{21}$  هنا، وهي مماثلة لم  $M_{12}$  ولم  $M$  كما في المعادلة (11-11)، إلا أن حساب  $M_{12}$  ليس بالأمر السهل في هذا المثال لعدم توفر معلومات كافية عن ابعاد الملف الخارجي. وعادة تختار أسلوب وأفضل طريقة لحساب المُحَانَة المتبادلة ( $M$ ).

## □ ٤-٦ دارة مبحث و مقاومه (RL - circuit)

تحتوي جميع الدارات التي يمر بها تيار متغير على محيثات، أبسطها أسلاك التوصيل، حيث يتولد تيار تأثيري في أسلاك التوصيل هذه عندما يتغير التيار المار بها. ولا تكون محاثة الأسلاك عادة مهمة، ويُصبح المُحاثة ذات أهمية في الدارات التي يوجد بها مبحث على شكل ملف مكون من عدة لفات ويكون الملف مصنوعاً، كما نعلم، من أسلاك معدنية (لها مقاومة) ملفونة باشكال مختلفة. وعليه يمكن اعتبار أي مبحث في دارة كهربائية على أنه مُؤلف من جزئين، هما مقاومة سلك المبحث  $R$  ومحاثة  $L$ ، موصولتين معاً على التوالي، كما هو مبين في الشكل (4-11). ويمكن بشكل عام اعتبار  $R$  ممتلة لمقاومة المبحث ولأية مقاومات أخرى في دارته، كما يمكن اعتبار  $L$  الموصولة على التوالي مع  $R$  ممتلة للمحيثات في الدارة. ونناقش في هذا البند خواص دارة مغلقة تحوي مقاومة  $R$  ومحاثة  $L$  موصولين مع مصدر جهد  $\epsilon$  (بطارية مثلاً)، كما في الشكل (4-11).

عند إغلاق الدارة بوضع المفتاح  $S$  في الوضع  $a$ ، فإنَّ تياراً كهربائياً سيسري بالطبع في الدارة المغلقة، ويؤدي تغير قيمة التيار المار في الدارة وتزايده لحظة إغلاقها إلى توليد قوة دافعة تأثيرية فيها، تعمل على إعاقة تزايد التيار وفقاً لقانونLenz. أي تعمل على إعاقة نمو التيار الناتج عن البطارية  $\epsilon$  وبالتالي فإنَّ هذا التيار لا ينمو فجأة إلى قيمته القصوى لحظة إغلاق الدارة، وإنما ينمو بمعدل متغير يعتمد في قيمته على  $R$  و  $L$ . ويُشبه سلوك هذه الدارة سلوك دارة أخرى تعرفت عليها سابقاً في الفصل السابع هي دارة  $RC$ . حيث أوضحنا في حيله أنَّ الشحنة على المكثف تنمو أيضاً بمرور الزمن بمعدل يعتمد في قيمته على  $R$  و  $C$  في الدارة.



الشكل (4-11)

ولإيجاد التيار الكهربائي  $i$  المار في الدارة عند آية لحظة من الزمن  $t$ ، فإننا نطبق قانون كيرشوف الثاني، الخاص بالمسار المغلق، على المسار  $x \rightarrow z \rightarrow y \rightarrow x$ ، حيث إنَّ:

$$V_{xz} + V_{zy} + V_{yx} = 0$$

وباستخدام قانونAom، والتعويض عن فروق الجهد في المعادلة السابقة، حيث:

$$V_{yx} = -\epsilon; V_{zy} = +L \frac{di}{dt}; V_{xz} = +iR$$

نجد أنَّ:

$$iR + L \frac{di}{dt} - \epsilon = 0$$

لذا علمت

قد مضى

(ب) :

القدرة

الحل:

(ا) لـ

نجد أـ

وبالتـ

(ب)

(جـ)

(دـ)

(هـ)

$$(22-11) \quad iR + L \frac{di}{dt} = \varepsilon$$

ويمثل هذه العلاقة معادلة تفاضلية، يمكن حلها بطريقة مشابهة لحل دارة RC، وذلك بفصل المتغيرين عن بعضهما وإجراء التكامل. أي أن:

$$\int_0^t \frac{di}{\varepsilon - iR} = \frac{1}{L} \int_0^t dt$$

$$-\frac{1}{R} \ln \left( \frac{\varepsilon - iR}{\varepsilon} \right) = \frac{t}{L}$$

ومنها فإن:

$$(23-11) \quad i(t) = \frac{\varepsilon}{R} \left( 1 - e^{-t/\tau} \right) = i_0 \left( 1 - e^{-t/\tau} \right)$$

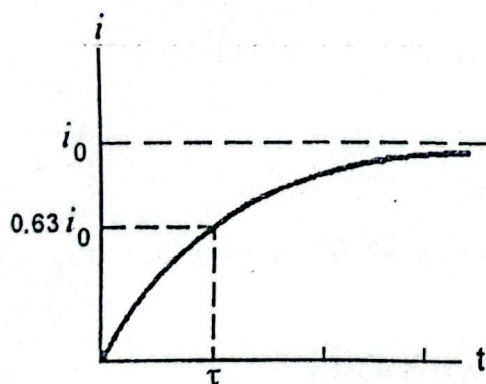
حيث يمثل  $i_0 = \frac{\varepsilon}{R}$  قيمة التيار القصوى وتحمّل  $\tau$  مقدارا ثابتا يساوى  $\frac{L}{R}$ ، ويعرف بثابت الزمن

الحثي (inductive time constant). ويمكن تعريفه بالزمن اللازم لنمو التيار اللحظي من الصفر وحتى تصل قيمته 0.63 من قيمته القصوى وتلاحظ من المعادلة (23-11) أنه في اللحظة ( $t = 0$ ) التي يبلغ بها المفتاح S على النقطة a، يكون التيار صفراء ( $i = 0$ )، ويبدا التيار بالتزايـد بـشكل أـسـي

مع الزـمـنـ. حيث تؤول قـيمـتـهـ إـلـىـ  $\frac{\varepsilon}{R}$  عـنـدـمـاـ تـؤـولـ tـ

إـلـىـ المـالـانـهـاـيـةـ وـيـوـضـعـ الشـكـلـ (5-11)، العـلـاقـةـ

بـيـنـ التـيـارـ iـ وـالـزـمـنـ tـ لـدـارـةـ RLـ.



الشكل (5-11)

يتغير التيار i العـلـىـ دـارـةـ مـيـغـثـ (L) وـمـلـوـمـةـ (R) موـصـولـينـ مـعـ مـصـدـرـ جـهـدـ εـ اـسـيـاـ مـعـ

$$i(t) = \frac{\varepsilon}{R} \left( 1 - e^{-t/\tau} \right) = i_0 \left( 1 - e^{-t/\tau} \right)$$

حيـثـ τـ ثـابـتـ يـسـلـوـيـ  $\frac{L}{R}$ ـ،ـ وـيـعـرـفـ بـثـابـتـ الـزـمـنـ الـحـثـيـ.

إذا علمت أن  $R = 30 \Omega$  و  $L = 300 \text{ mH}$  و  $\epsilon = 10V$  في الدارة المذكورة في الشكل (4-4)، وأنه قد مضى زمن  $t = 2 \text{ ms} = 0.002 \text{ s}$  على إغلاق المفتاح S في الوضع a، فلوجد: (أ): التيار العار في الدارة. (ب): فرق الجهد بين طرفي المقاومة R. (ج): القدرة الكهربائية التي يمد المصدر  $\epsilon$  بها الدارة. (د): القدرة الحرارية للحظية المبذولة في المقاومة R.

الحل:

(أ) نحسب أولاً ثابت الزمن الحالي للدارة (٢)، وذلك لتبسيط التعبير في المعادلة (11-23)، حيث نجد أن:

$$\tau = \frac{L}{R} = \frac{300 \times 10^{-3} \text{ H}}{30 \Omega} = 0.01 \text{ s} = 10 \text{ ms}$$

وبالتعبير في المعادلة (11-23)، نحصل على:

$$i = \frac{\epsilon}{R} (1 - e^{-t/\tau}) = \frac{10}{30} (1 - e^{-2/10}) = 0.06 \text{ A}$$

(ب) يمكن إيجاد فرق الجهد الحظي بين طرفي المقاومة R بتطبيق قانون لوم على النحو التالي:

$$V_R = i R = 0.06 \times 30 = 1.8 \text{ V}$$

(ج) نحسب القدرة الكهربائية للحظية المبذولة في المقاومة R من العلاقة:

$$P_R = i^2 R = 0.06^2 \times 30 = 0.6 \text{ W}$$

(د) نحسب القدرة الحرارية للحظية المبذولة في المقاومة R من العلاقة:

$$P_R = i^2 R = (0.06)^2 \times 30 = 0.108 \text{ W}$$

لنشاهد الأن ما يحدث عند فصل المفتاح S عن النقطة a، في الشكل (4-4)، ووصله مع النقطة b. في هذه الحالة سوف لا يكون في الدارة المغلقة أي مصدر جهد ( $\epsilon = 0$ )، وبذلك يمكن التعبير في المعادلة (11-22) عن  $\epsilon$  بالصفر فنجد أن:

$$iR + L \frac{di}{dt} = 0 ; (\epsilon = 0)$$

ويمكن ترتيب المتغيرين في هذه المعادلة وإجراء التكامل ببساطة على النحو التالي:

$$(24-11) \quad \int_0^I \frac{di}{i} = -\frac{R}{L} \int_0^t dt$$

ونلاحظ من هذه المعادلة أن  $i_0 = 0$  عند  $t = 0$ ، وذلك لأن التيار الحظي عند إغلاق الدارة (الوضع a)

(1) العار

النبار

في الـ

العلـ

(1)

(بـ)

عدـ

(ـ)

يدـ

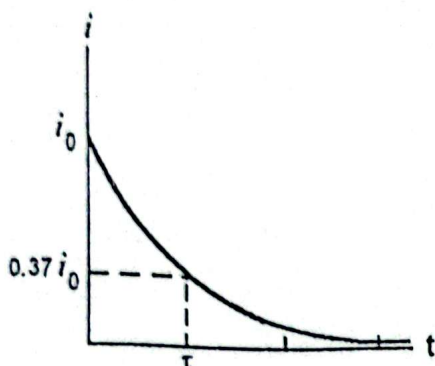
b)، يكون أعظم ما يمكن، ويتساوي  $\frac{E}{R}$ . وهكذا فإن نتيجة التكامل المبين في المعادلة (24-11)،

لتصبح:

(25-11)

$$i = i_0 e^{-\frac{t}{\tau}} = \frac{E}{R} e^{-\frac{t}{\tau}}$$

حيث نعلم  $\tau$  هنا أيضا ثابت الزمن الحسي  $\left(\frac{L}{R}\right)$  للدارة.



الشكل (6-11)

وبين الشكل (6-11)، تمثلا بيانيا للمعادلة (25-11)، حيث نلاحظ أن التيار المار في الدارة يضيق أبدا مع الزمن، وبعد زمن قدره  $\tau$  (اي بعد مرور ثابت زمن حسي واحد)، ينخفض التيار  $i$  إلى 0.37 من قيمته القصوى  $i_0$ ، كما يتضح من المعادلة (25-11)، عند التعويض عن  $t$  بالقيمة  $\tau$ .

(26-11)

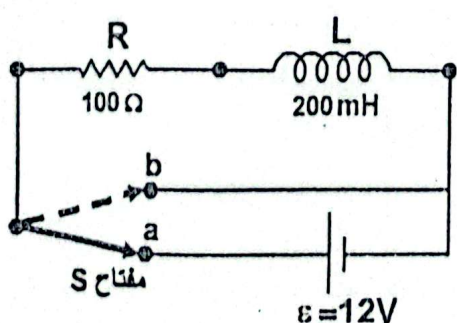
$$i = \frac{E}{R} e^{-\frac{t}{\tau}} = \frac{E}{R} \times \frac{1}{2.73} \approx 0.37 \frac{E}{R} = 0.37 i_0$$

يتغير التيار  $i$  المار في دارة محيث ( $L$ ) ومقاومة ( $R$ ) موصولين معا (بدون وجود مصدر جهد)

$$i(t) = i_0 e^{-\frac{t}{\tau}}$$

حيث  $\tau = \frac{L}{R}$ ، ثابت الزمن الحسي لهذه الدارة.

ممثل (6-11)



وصل المفتاح  $S$  في الدارة المبينة في الشكل (7-11) مع النقطة  $a$  لفترة طويلة، ثم فصل المفتاح عن النقطة  $a$  ووصل مع النقطة  $b$ .

احسب:

الشكل (7-11)

(ا) ثابت الزمن الحني للدارة. (ب) التيار المار في الدارة لحظة وصل المفتاح مع النقطة b. (ج) التيار المار في الدارة بعد مرور 10 ms من وصل المفتاح مع النقطة b. (د) الزمن اللازم لكي يضمن حل التيار إلى نصف ما كان عليه قبل وصل المفتاح S مع النقطة b. (هـ) القدرة الحرارية اللحظية المبددة في المقاومة R بعد مرور 10 ms على وصل المفتاح مع النقطة b.

الحل:

(ا) نجد ثابت الزمن الحني للدارة من العلاقة:

$$\tau = \frac{L}{R} = \frac{200 \times 10^{-3}}{10} = 0.02 \text{ s} = 20 \text{ ms}$$

(ب) التيار اللحظي المار في الدارة قبل وصل المفتاح مع النقطة b يساوي قيمة التيار القصوى  $i_0$  عندما يكون المفتاح على الوضع a. اي ان:

$$i_0 = \frac{\epsilon}{R} = \frac{12}{10} = 1.2 \text{ A}$$

(ج) بالتعويض في المعادلة (11-25)، نجد ان التيار اللحظي المار في الدارة بعد مرور 10 ms يساوي:

$$i = i_0 e^{-t/\tau} = 1.2 e^{-10/20} = 0.73 \text{ A}$$

(د) لتطبيق المعادلة (11-25) لإيجاد الزمن اللازم حتى يضمن حل التيار إلى قيمة تساوي  $\frac{i_0}{2}$ . اي اننا

نبحث عن قيمة t التي تحقق المعادلة التالية:

$$i = \frac{i_0}{2} = i_0 e^{-t/20}$$

ومنها فإن:

$$t = 13.86 \text{ ms}$$

(هـ) نحسب القدرة الحرارية المبددة في المقاومة بعد مرور 10 ms على وصل المفتاح S مع النقطة b من العلاقة:

$$P_R = i^2 R = (0.73)^2 \times 10 = 5.3 \text{ W}$$

## □ 7-11 الطاقة المخزونة في المجال المغناطيسي

### (Energy stored in the magnetic field)

بيانا عند مناقشتنا لموضوع المكبات (الفصل الخامس)، ان الشغل الذي يبذله مصدر القوة الدافعة الكهربائية E على مكثف مواسعته C، يختزن على شكل طاقة كهربائية في المجال الكهربائي E.

ونداقش الأن حالة مماثلة لما يحدث للطاقة الكهربائية عند توصيل مصدر قوة دافعة كهربائية  $E$  مع ملف محاثة  $L$ . فلو أخذنا مثلاً الدارة المبينة في الشكل (4-11)، وأغلقنا المفتاح  $S$  بوضعه على النقطة  $a$ ، فإننا نستطيع وصف التيار المار في الدارة من قانون كيرشوف الثاني وفي المعادلة التفاضلية الآتية:

$$E = iR + L \frac{di}{dt}$$

وبضرب طرفي هذه المعادلة بالتيار  $i$  نحصل على:

$$(27-11) \quad Ei = i^2 R + L i \frac{di}{dt}$$

وتعبر هذه المعادلة عن قانون حفظ الطاقة في الدارة الكهربائية، فالطرف الأيسر للمعادلة يمثل الشغل الذي يبذله مصدر القوة الدافعة الكهربائية  $E$  في دفع الشحنات الكهربائية في الثانية، أي يساوي معدل الطاقة التي يصرفها المصدر  $E$  في تحريك الشحنات الكهربائية في الدارة. ويمثل الحد الأول من الطرف الأيمن للمعادلة ( $Ri^2$ ) معدل تبديد الطاقة الحرارية في المقاومة  $R$ . ويبقى لدينا الحد الثاني والأخير للمعادلة ( $L i \frac{di}{dt}$ )، فهو يمثل الطاقة التي تخزن في المبحث  $L$ . وتظهر هذه الطاقة في البحث على شكل طاقة مغناطيسية في المجال المغناطيسي  $B$  المتولد داخل المبحث. فعندما يصل التيار  $i$  إلى قيمته القصوى فإن  $di/dt$  ستتساوي صفرًا. وبالتالي يتوقف المصدر  $E$  عن تزويد المبحث بالطاقة، وعليه فإن الحد الثاني في الطرف الأيمن للمعادلة (27-11) يعبر عن القدرة المخزنة في المجال المغناطيسي المتولد خلال المبحث أي أن:

$$\frac{dU_B}{dt} = L i \frac{di}{dt}$$

ويمكن كتابة المعادلة السابقة على النحو التالي:

$$(28-11) \quad dU_B = L i di$$

حيث تمثل  $U_B$  الطاقة المغناطيسية المخزونة في المبحث. ولحساب كمية هذه الطاقة عندما يزداد التيار في المبحث من صفر إلى  $i$ ، نكمل طرفي المعادلة (28-11)، فنحصل على:

$$\int_0^{U_B} dU_B = L \int_0^i i di$$

ومنها فإن:

$$(29-11) \quad U_B = \frac{1}{2} L i^2$$

وهذه النتيجة تماثل المعادلة (17-5) التي حصلنا عليها سابقاً للطاقة الكهربائية  $E$  المخزنة في مكثف مواسطته  $C$  ويحمل سحنة  $Q$ .

$$U_E = \frac{1}{2} \frac{Q^2}{C}$$

ونبين فيما يلي كيفية استخدام المعادلة (11-29) لحساب الطاقة المغناطيسية المخزنة داخل ملف لولبي طوله  $L$  ومساحة مقطعه  $A$  ويحتوي على عدد  $N$  من اللفات. كما قد بيننا في المثال (11-1) أن محاثة الملف اللولبي الذاتية تُعطى بالمعادلة (11-5) التالية:

$$L = \mu_0 N^2 A / l$$

وبالتعويض عن قيمة  $L$  من هذه المعادلة في المعادلة (11-29)، نحصل على الطاقة المغناطيسية ( $U_B$ ) في الملف اللولبي، أي أن:

$$(30-11) \quad U_B = \frac{1}{2} \mu_0 N^2 A i^2 / l$$

و بما أن المجال المغناطيسي الناشئ عن مرور تيار  $i$  في الملف اللولبي يكون منتظمًا داخله ولا يعتمد على المكان (المجال المغناطيسي خارج الملف اللولبي يساوي صفرًا)، فإن الكثافة الحجمية للطاقة المغناطيسية  $u_B$  في الملف اللولبي تساوي:

$$u_B = \frac{U_B}{\text{الحجم}} = \frac{\mu_0 N^2 A i^2 / l}{A l} = \frac{1}{2} \mu_0 \left( \frac{N^2}{l^2} \right) i^2$$

و بما أن المجال المغناطيسي  $B$  داخل الملف اللولبي يساوي:

$$B = \mu_0 n i = \mu_0 \frac{N}{l} i$$

فإن:

$$(31-11) \quad u_B = \frac{1}{2 \mu_0} B^2$$

وبالرغم من أن اشتراق هذه المعادلة كان مبنياً في الأساس على المجال المغناطيسي داخل الملف اللولبي، إلا أنه يمكن اعتبارها معادلة عامة تعبّر عن الكثافة الحجمية للطاقة المخزنة في المجال المغناطيسي لأي مجت بغض النظر عن شكله. أما إذا كان المجال المغناطيسي يؤثر في منطقة تحوي مادة مغناطيسية، مثل المواد الفرومغناطيسية، فإن ثابت الإنفاذية للمادة  $\mu$  يستبدل بثابت الإنفاذية للفراغ  $\mu_0$  في المعادلة (31-11). وتصبح تلك المعادلة على النحو التالي:

$$(32-11) \quad u_B = \frac{1}{2 \mu} B^2$$

و قبل الانتهاء من مناقشة هذا الموضوع، حري بنا الإشارة إلى الشبه الكبير بين المعادلة (31-11) ومعادلة كثافة الطاقة الحجمية المخزنة في المجال الكهربائي عند أي نقطة داخل المجال، حيث كانت

$$U_E = \frac{1}{2} \epsilon_0 E^2$$

وتلاحظ

البطارية

المخزون

وهذه ن

■ مثا

يبين ا

العو

نف

الاس

في

المو

الد

(٤)

الا

د

تناسب كثافة الطاقة المغناطيسية الحجمية في نقطة ما في الفراغ طر Isa مع مربع قيمة شدة المجال المغناطيسي في تلك النقطة.

مثال (7-11)

احسب معدل الطاقة المخزونة في المجال المغناطيسي للمagnet L المذكور في المثال (5-11).

الحل:

نعطي الطاقة المغناطيسية المخزونة في المجال L بالمعادلة:

$$U_B = \frac{1}{2} L i^2$$

ويمثل i هنا التيار اللحظي في الدارة وللحصول على الطاقة المخزونة عند آية لحظة في المخت، أي على القدرة P\_L، نجد المشتقة الأولى للمعادلة السابقة بالنسبة للزمن،

$$(33-11) \quad P_L = \frac{dU_B}{dt} = \frac{1}{2} L 2i \frac{di}{dt} = L i \frac{di}{dt}$$

وبالتعمير عن قيمة التيار من العلاقة:

$$i = \frac{\epsilon}{R} (1 - e^{-t/\tau})$$

ويجاد المشتقة الأولى للتيار i بالنسبة للزمن (di/dt) والتعمير عنها وعن i في المعادلة (33-11)،

نجد أن:

$$\frac{dU_B}{dt} = L \frac{\epsilon}{R} (1 - e^{-t/\tau}) \left( \frac{\epsilon}{R\tau} e^{-t/\tau} \right)$$

ومنها فان:

$$\frac{dU_B}{dt} = \frac{L}{\tau} \left( \frac{\epsilon}{R} \right)^2 (e^{-t/\tau}) (1 - e^{-t/\tau})$$

وبالتعمير عن  $\tau = \frac{L}{R} = 10 \text{ ms}$  و  $L = 300 \text{ mH}$  و  $R = 30 \Omega$  و  $\epsilon = 10 \text{ V}$  و  $t = 2 \text{ ms}$

نستنتج أن:

$$P_L = \frac{dB}{dt} = 0.495 \text{ W}$$

وتباحظ من نتيجة هذا المثال والفرعين (ج) و (د) من المثل (11-5)، أن الطاقة محفوظة، إذ أن قدرة البطاريه ( $P_e$ ) المغذاة للدارة تساوي مجموع القدرة الحرارية المبددة ( $P_R$ ) والقدرة المغناطيسية المخزونة ( $P_L$ ). أي أن:

$$P_e = P_L + P_R = 0.495 + 0.108 = 0.6 \text{ W}$$

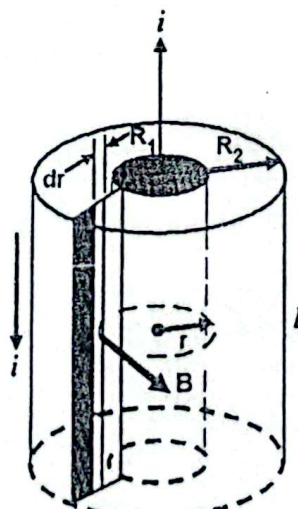
وهذه نفس قدرة البطاريه ( $P_e$ ) التي حصلنا عليها من المثل (5-11).

### ■ مثال (8-11)

يبين الشكل (8-11)، كيبلًا طويلاً مكوناً من موصلين أسطوانيين متحددي المحور (coaxial cable). الموصل الأول منها عبارة عن أسطوانة نصف قطرها  $R_1$ ، والثاني عبارة عن قشرة معدنية رقيقة نصف قطرها  $R_2$  تحيط بالأول وتتحدد معه في المحور. إذا بدأ تيار كهربائي  $i$  بالمرور في الموصل الأسطواني وأكمل دورته خلال القشرة المعدنية الأسطوانية، فارجد: (أ) كثافة الطاقة الحجمية المخزونة في المجال المغناطيسي بين الموصلين. (ب) الطاقة المغناطيسية المخزونة في المجال المغناطيسي بين الموصلين لكل وحدة طول.

الحل:

(أ): نحتاج لإيجاد كثافة الطاقة الحجمية إلى شدة المجال المغناطيسي على بعد  $r$  عن محور الموصل الأسطواني. ويمكن إيجاد هذا المجال عند أي نقطة بين الموصل الأسطواني والقشرة على بعد  $r$  عن المحور ( $R_1 < r < R_2$ ) بتطبيق قانون أمبير على النحو التالي:



الشكل (8-11)

$$\int B \cdot dI = B \int dI = B(2\pi r) = \mu_0 i$$

ومنها نجد أن:

$$B = \frac{\mu_0 i}{2\pi r} ; (R_1 < r < R_2)$$

اما المجال المغناطيسي عند النقاط الواقعه على بعد أكثر من نصف قطر القشرة الخارجيه  $R_2 > r$  فإنه يساوي صفر  $(B = 0)$ . ويمكن إثبات هذا من تطبيق قانون أمبير على مسار مغلق خارج القشرة الاسطوانية، حيث يكون التيار المار في الموصل الداخلي متساوياً للتيار المار في القشرة ومعاكساً له بالاتجاه، أي أن التيار الكلي داخل المسار المغلق يساوي صفر. ولذلك فإن المجال المغناطيسي يكون:

$$B = 0 ; (r > R_2)$$

وبالتعويض عن شدة المجال المغناطيسي بين الموصل والقشرة في المعادله (31-11)، نجد أن كثافة الطاقة الحجمية  $u_B$  تساوي:

$$U_B = \frac{1}{2} \frac{B^2}{\mu_0} = \frac{\mu_0 i^2}{8\pi^2 r^2}$$

(ب) لإيجاد الطاقة الكلية المخزونه بين الموصل والقشرة نحسب الطاقة  $dU_B$  الموجودة في قشرة اسطوانية تخليله لنصف قطر قاعتها  $r$  وطولها  $l$  ومسكها  $dr$  (موجوده بين الموصل والقشرة)، ثم نجري عملية متكامله على هذه القشرة التخليله عندما يتغير نصف قطرها من  $R_1$  إلى  $R_2$  للحصول على الطاقة الكلية  $U_B$ . وينتضح هذا من الخطوات التالية:

$$dU_B = u_B dV$$

حيث تمثل  $dV$  حجم القشرة الاسطوانية التخليله، ويمكن كتابة قيمة هذا الحجم على النحو

$$dV = 2\pi r l dr. \text{ وبالتعويض عن } dV \text{ و } U_B \text{ في المعادله السابقة نجد أن:}$$

$$dU_B = \frac{\mu_0 i^2}{8\pi^2 r^2} 2\pi r dr$$

وباجراء التكامل لطرفى المعادله السابقة، نجد أن الطاقة المغناطيسيه المخزونه في المجال المغناطيسي

بين الموصل والقشرة الاسطوانية لطول  $l$  منها يساوي:

$$U_B = \int dU_B = \frac{\mu_0 i^2 l}{4\pi} \int_{R_1}^{R_2} \frac{dr}{r} = \left( \frac{\mu_0 i^2 l}{4\pi} \right) \ln \left( \frac{R_2}{R_1} \right)$$

وعليه فإن الطاقة المغناطيسيه المخزونه في وحدة الطول من الكيلو تساوي:

$$(34-11) \quad \frac{U_B}{l} = \left( \frac{\mu_0 i^2}{4\pi} \right) \ln \left( \frac{R_2}{R_1} \right)$$

اما الطاقة المغناطيسيه المخزونه خارج الموصل والقشرة الاسطوانيين فإنها تساوي صفر، لأن المجال المغناطيسي خارجهما يساوي صفر.

تُعطى الطاقة المختزنة في وحدة الطول في حالة كوبيل متعدد المحور نصف قطر أسطوانته الداخلية  $R_1$ . ونصف قطر قشرته الأسلوبية الخارجية  $R_2$  ويمر به تيار شدة  $i$

$$\frac{U_B}{l} = \left( \frac{\mu_0 i^2}{4\pi} \right) \ln \left( \frac{R_2}{R_1} \right)$$

في حين أن الطاقة المغناطيسية المخزونة خارج الموصل وللشارة الأسطوانتين تسلوي صلوا، لأن المجال المغناطيسي خارجهما يسلوي صلوا.

### □ 8-11 دارة مبحث ومكثف (LC - circuit)

تُمثل المقاومة  $R$  والمكثف  $C$  والمبث  $L$  ثلاثة بانط أساسية تدخل في العديد من الدارات الكهربائية بالإضافة إلى مصدر القدرة الكهربائية  $E$ . وقد تعرفنا على خواص دارة  $RL$  في البند (5-11) من هذا الفصل. وكما قبل ذلك قد تعرفنا على دارة  $RC$  في الفصل السابع. ونتعرف في هذا البند على خواص الدارة المكونة من مبحث  $L$  ومكثف  $C$ ، أو ما يعرف بدارة  $LC$ . ونفترض في مناقشتنا هنا أن المبحث مثالي أي خالٍ من أي مقاومة. وسوف نناقش في البند القادم دارة مبحث عمل (له مقاومة  $R$ ) ومكثف  $C$ ، أو ما يعرف بدارة  $RLC$ .

يبين الشكل (11-9) دارة تحتوي على مكثف  $C$  وملف (مبث)  $L$  كما تحتوي الدارة على مفتاح  $S$  لتصفيتها ببعضهما. لنفرض أن المكثف  $C$  كان مشحوناً أصلاً، بحيث تحمل صفيحته اليسرى شحنة موجبة  $+q_0$  وتحمل صفيحته اليمنى شحنة سالبة  $-q_0$ . عندئذ تكون الطاقة الكهربائية المخزونة في المجال الكهربائي للمكثف متساوية

$$U_E = \frac{1}{2} \frac{q_0^2}{C}$$

ولنفترض أن المفتاح  $S$  أغلق في اللحظة  $t = 0$ .

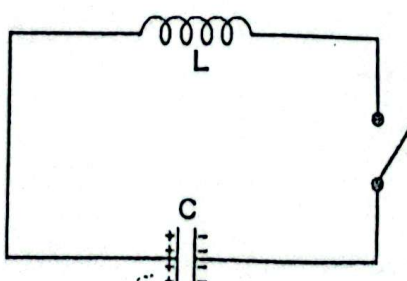
عندما يبدأ المكثف  $C$  بتفريغ شحنته عبر الملف

$L$ ، وبذلك يمر تيار كهربائي في الملف يزداد

بتناقص شحنة المكثف. وعند آلة لحظة يكون فرق

الجهد بين طرفي المكثف  $q/C$  (حيث  $q$  مثيل

شحنة المكثف عند تلك اللحظة) متساوياً لفرق



الشكل (9-11)

الجهد بين طرفي الملف  $L$  وفي اللحظة التي تصبح بها شحنة المكثف صفراء ( $0 = q$ ) تكون الطاقة المختزنة فيه صفراء أيضا ( $0 = U_E$ ) ويكون التيار المار في الملف أعظم مما يمكن. كما يكون

التغير في التيار عندما صفر.

$$\left( -L \frac{di}{dt} = \frac{q}{C} = 0 \right)$$

وبالتالي تكون الطاقة المغناطيسية المخزونة في الملف أعظم ما يمكن، أي أن:

$$U_B = \frac{1}{2} L i_0^2$$

حيث  $i_0$  هي أقصى قيمة يصلها التيار، وهنا تكون الطاقة الكهربائية التي كانت مخزونة في المكثف قد تحولت كلها إلى طاقة مغناطيسية مخزونة في الملف، ونتيجة للتغير الحاصل في المجال المغناطيسي للملف تتولد قوة دافعة كهربائية تأثيرية فيه تؤدي إلى إعادة شحن المكثف بالاتجاه المضاد. أي تشحن صفيحة المكثف الإسري بشحنة سالبة وصففيحته اليمنى بشحنة موجبة. وتزداد هذه الشحنة على كل من صفيحتي المكثف مع تزايد التيار وتتناقص طاقة الملف وبالتالي، حتى تصل إلى قيمة مساوية لقيمتها الأصلية ( $q_0$ )، وبذلك تتحول الطاقة المغناطيسية إلى طاقة كهربائية مرة أخرى.

ثم يعود المكثف ليفرغ شحنته (طاقة) خلال الملف الذي يختزن الطاقة، ثم يُفرغها عند اضمحلال مجاله المغناطيسي إلى المكثف، وهكذا تستمر عملية تبادل الطاقة المغناطيسية (المخزونة في الملف)، مع الطاقة الكهربائية (المخزونة في المكثف) بحيث يبقى مجموعهما عند أية لحظة مقدارا ثابتا، انظر الشكل (10-11). وتستمر هذه العملية إلى ما لا نهاية في هذه الدارة طالما أنه لا يوجد وسيلة لتبدد الطاقة على شكل حرارة مثلاً. ويتم ضياع الطاقة عادة خلال مقاومة الملف ومقاومة أسلاك التوصيل.

وتشبه حالة تبادل الشحنة المتكررة هنا حالة تذبذب البندول البسيط (simple pendulum)، حيث تتحول طاقة الوضع له إلى طاقة حركة ثم تتحول طاقته الحركية إلى طاقة وضع، ويستمر على هذا الحال المتذبذب بصورة دائمة دون توقف إذا أهل تأثير الاحتكاك. ولذلك تدعى دارة LC بالدارة المتذبذبة أو دارة الرنين (resonance circuit).

ويمكن حساب تردد الدارة، أي عدد مرات تبادل الطاقة بين L و C في الثانية بتطبيق قانون كيرشوف الثاني على الدارة وحل المعادلة الناتجة، على النحو التالي:

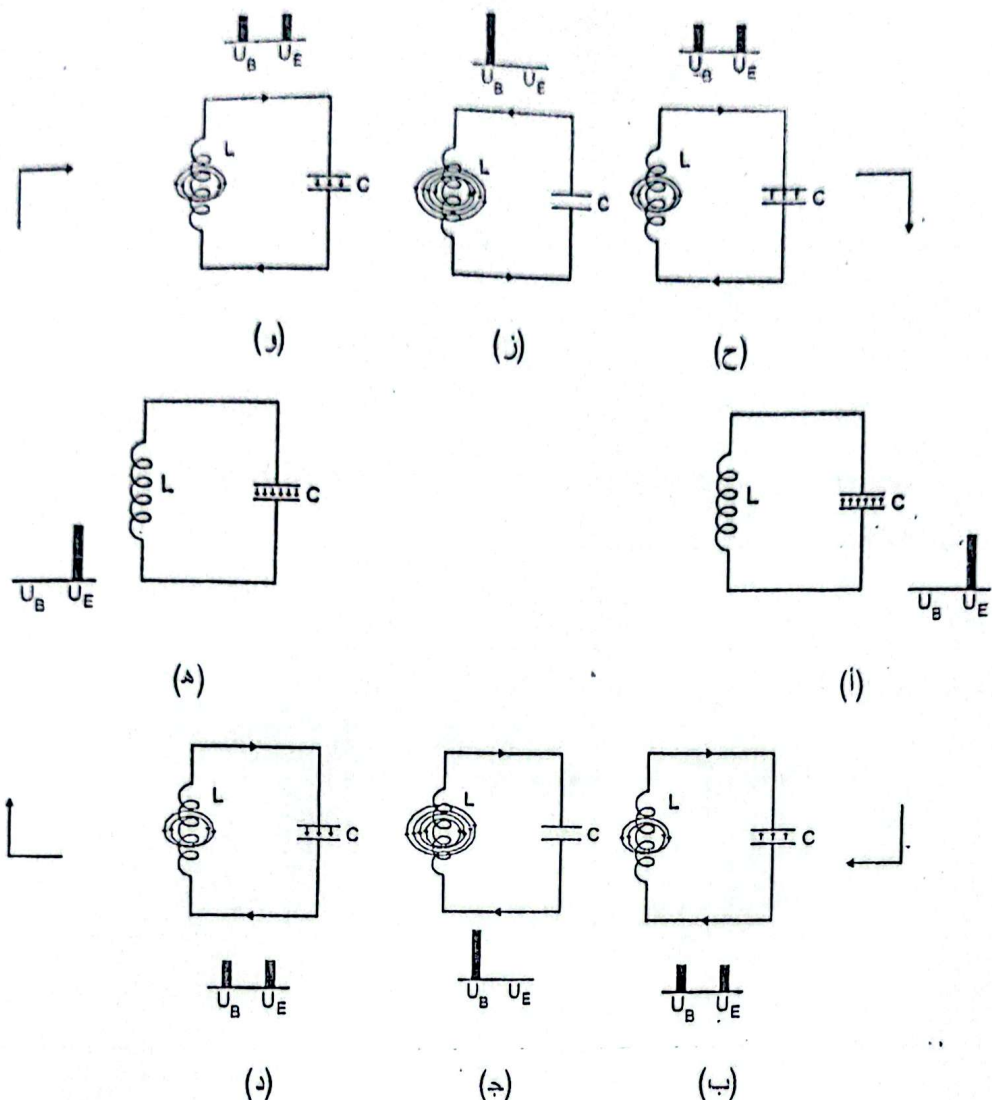
$$L \frac{di}{dt} + \frac{q}{C} = 0$$

وبالتعويض في هذه المعادلة عن التيار المار في الدارة والذي يساوي:

$$i = \frac{dq}{dt}$$

فإن المعادلة السابقة تصبح:

$$(35-11) \quad \frac{d^2q}{dt^2} + \frac{1}{LC} q = 0$$



الشكل (10-11)

ويمثل هذه المعادلة التقاضية، معادلة حركة ترافقية بسيطة (simple harmonic motion)، وطريقها يكتب على النحو التالي:

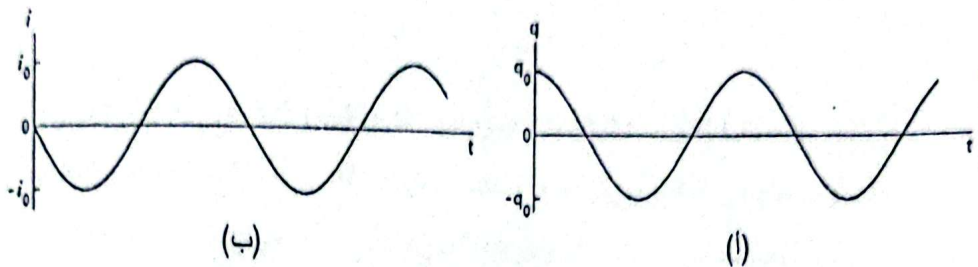
$$(36-11) \quad q(t) = q_0 \cos \omega t$$

حيث تمثل  $q_0$ : شحنة المكثف القصوى، و  $q$ : شحنة المكثف عند اللحظة  $t$  و  $\omega$  التردد الزاوي والذي يساوى  $2\pi f$  حيث  $f$  التردد. ويمكن إيجاد التيار المار في الدارة بإيجاد المشقة الأولى للمعادلة (36-11). أي أن:

$$(37-11) \quad i(t) = \frac{dq}{dt} = -\omega q_0 \sin \omega t = i_0 \sin \omega t$$

حيث تمثل  $i_0$  أقصى تيار يمكن أن يمر في الدارة ويساوي  $\omega q_0$ . ويكون التيار المار في الدارة هنا

متزدراً، أي يتغير مقداره واتجاهه بتغير الزمن  $t$ . ويمثل الشكل (11-11 أ)، تغير الشحنة مع الزمن، كما يمثل الشكل (11-11 ب)، تغير التيار مع الزمن.



الشكل (11-11)

وللحاق من أن المعادلة (11-36)، تمثل الحل الصحيح للمعادلة (11-35)، نعرض عن  $q$  وعن المشحنة الثانية لها بالنسبة للزمن في تلك المعادلة، أي أن:

$$\frac{d^2q}{dt^2} = \frac{di}{dt} = -\omega^2 q_0 \cos \omega t$$

وعليه تصبح المعادلة (11-35) كما يلي:

$$-\omega^2 q_0 \cos \omega t + \frac{q_0}{LC} \cos \omega t = 0$$

أي أن:

$$-\omega^2 + \frac{1}{LC} = 0$$

ومنها فإن:

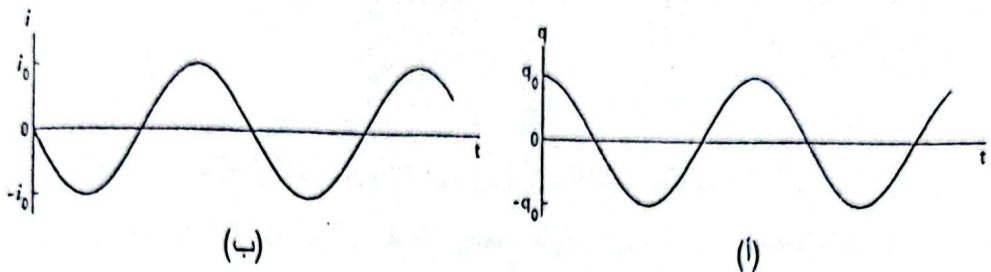
$$(38-11) \quad \omega = \frac{1}{\sqrt{LC}}$$

وبما أن التردد الزاوي  $\omega$  يساوي  $2\pi f$  فإن التردد يكون:

$$(39-11) \quad f = \frac{1}{2\pi\sqrt{LC}}$$

نستنتج مما سبق أن الشحنات الكهربائية تتحرك بتردد معين ( $f$ )، وينتج عن ذلك تغيرات دورية في المجال المغناطيسي حول الملف، وهذه التغيرات أيضاً تنتج مجالاً كهربائياً في نفس المنطقة. وببقى المجالان متلازمين، لأن أحدهما يولد الآخر. وبطريق على هذين المجالين المتلازمين اسم المجال الكهرومغناطيسي (electromagnetic field). ونظراً لتذبذب الطاقة بين صورتيها الكهربائية والمغناطيسية، فإن هذا المجال الكهرومغناطيسي يكون متزدراً بنفس التردد  $f$ ، وتنتشر هذه التغيرات أو التذبذبات في المجال الكهرومغناطيسي في الفضاء بسرعة الضوء ( $3 \times 10^8 \text{ m/s}$ ) على هيئة أمواج تسمى الأمواج الكهرومغناطيسية (electromagnetic waves).

متزدراً، أي يتغير مقداره واتجاهه بغير الزمن، ويمثل الشكل (11-11 أ)، تغير الشحنة مع الزمن، كما يمثل الشكل (11-11 ب)، تغير التيار مع الزمن.



الشكل (11-11)

وللحاق من أن المعادلة (11-36)، تمثل الحل الصحيح للمعادلة (35-11)، نعرض عن  $q$  وعن المشحنة الثانية لها بالنسبة للزمن في تلك المعادلة، أي أن:

$$\frac{d^2q}{dt^2} = \frac{di}{dt} = -\omega^2 q_0 \cos \omega t$$

وعليه تصبح المعادلة (35-11) كما يلي:

$$-\omega^2 q_0 \cos \omega t + \frac{q_0}{LC} \cos \omega t = 0$$

أي أن:

$$-\omega^2 + \frac{1}{LC} = 0$$

ومنها فإن:

$$(38-11) \quad \omega = \frac{1}{\sqrt{LC}}$$

وبما أن التردد الزاوي  $\omega$  يساوي  $2\pi f$  فإن التردد  $f$  يكون:

$$(39-11) \quad f = \frac{1}{2\pi\sqrt{LC}}$$

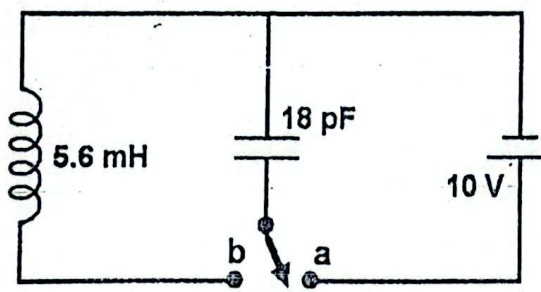
نستنتج مما سبق أن الشحنات الكهربائية تتحرك بتردد معين ( $f$ )، وينتتج عن ذلك تغيرات دورية في المجال المغناطيسي حول الملف، وهذه التغيرات أيضا تنتج مجالا كهربائيا في نفس المنطقة. ويبقى المجالان متلازمين، لأن أحدهما يولد الآخر. وبطريق على هذين المجالين المتلازمين اسم المجال الكهرومغناطيسي (electromagnetic field). ونظرا لتناوب الطاقة بين صورتيها الكهربائية والمغناطيسية، فإن هذا المجال الكهرومغناطيسي يكون متزدرا بنفس التردد  $f$ ، وتنتشر هذه التغيرات أو التذبذبات في المجال الكهرومغناطيسي في الفضاء بسرعة الضوء ( $3 \times 10^8$  m/s) على هيئة أمواج تسمى الأمواج الكهرومغناطيسية (electromagnetic waves).

ومن الناحية العملية لا تستمر الحركة الاهتزازية للشحنات الكهربائية في الدارة السابقة لزمن طويل، وذلك بسبب ضياع جزء من الطاقة في الأسلام المصنوع منها الملف وأسلام التوصيل على شكل حرارة، مما يؤدي إلى نقصان الطاقة المتذبذبة واصحالها أو خمودها بشكل تدريجي كما سنبين في البند القادم.

في دارة LC تتتبّع الطلة بين صورتها الكهربائية والمتناطيسية والمجل الكهرومغناطيسى الناتج يكون متزدراً بنفس التردد وتتشرّد هذه التذبذبات في المجال الكهرومغناطيسى في الفضاء بسرعة الضوء على هيئة أمواج تسمى الأمواج الكهرومغناطيسية.

#### مثال (9-11)

وصل مكثف مواسته  $pF = 18$ ، وملف محاته  $mH = 5.6$ ، وبطارية  $V = 10$ ، وفتحة  $S$  على النحو المبين في الشكل (12-11). شحن المكثف بوصل المفتاح  $S$  مع النقطة  $a$  لمدة طويلة، ثم فصل المفتاح  $S$  ووصل مع النقطة  $b$ .



الشكل (12-11)

أوجد: (أ) تردد التذبذب في الدارة. (ب) الشحنة القصوى على المكثف. (ج) أقصى تيار يمر في الدارة. (د) التيار المار في الدارة بدلالة الزمن. (هـ) الشحنة على المكثف بدلالة الزمن. (وـ) الطاقة القصوى التي يمكن تخزينها في الدارة. (زـ) مثل الطاقة المخزنة في الملف والطاقة المخزنة في المكثف بدلالة الزمن بيانياً.

الحل:

(أ) يمكن ليجاد تردد التذبذب بتطبيق المعادلة (39-11)، على النحو التالي:

$$f = \frac{1}{2\pi\sqrt{LC}} = \frac{1}{2 \times 3.14 \times \sqrt{5.6 \times 10^{-3} \times 18 \times 10^{-12}}} = 502 \text{ kHz}$$

حيث ترمز kHz هنا إلى كيلوهرتز ( $1 \text{ kHz} = 10^3 \text{ Hz}$ ).

ويبين 1

ومجموع

المكثف

القصوى

(ب) الشحنة القصوى على المكثف بساري:

$$q_0 = \epsilon C = 10 \times 18 \times 10^{-12} = 1.8 \times 10^{-10} C = 0.18 \text{ nC}$$

(ج) أقصى تيار يمر في الدارة بساري:

$$\begin{aligned} i_0 &= \omega q_0 = 2\pi f q_0 = 2 \times 3.14 \times 502 \times 10^3 \times 1.8 \times 10^{-10} \\ &= 5.68 \times 10^{-4} A = 568 \mu A \end{aligned}$$

(د) يمكن إيجاد التيار الكهربائي المار في الدارة بدلالة الزمن وذلك بتطبيق المعادلة (37-11)، على النحو التالي:

$$i(t) = i_0 \sin \omega t = -568 \sin \omega t (\mu A)$$

(هـ) نعطي الشحنة على المكثف عند آية لحظة زمنية  $t$  بالمعادلة (36-11)، أي أن:

$$q(t) = q_0 \cos \omega t = 1.8 \times 10^{-10} \cos \omega t (C)$$

(و) الطاقة القصوى المخزنة في الدارة = الطاقة القصوى المخزنة في المكثف = الطاقة القصوى المخزنة في الملف = متدار ثابت.

أي أن:

$$U_E = \frac{1}{2} \frac{q_0^2}{C} = \frac{1}{2} \times \frac{(1.8 \times 10^{-10})^2}{18 \times 10^{-12}} = 9 \times 10^{-10} J$$

$$U_B = \frac{1}{2} L i_0^2 = \frac{1}{2} \times 5.6 \times 10^{-3} \times (5.68 \times 10^{-4})^2 = 9 \times 10^{-10} J$$

(ز) نعطي الطاقة المخزنة في الملف بالعلاقة التالية:

$$U_L = \frac{1}{2} L i^2$$

وبالتعويض عن  $i$  من المعادلة (37-11) ينتج أن:

$$U_L = \frac{1}{2} L i_0^2 \sin^2 \omega t$$

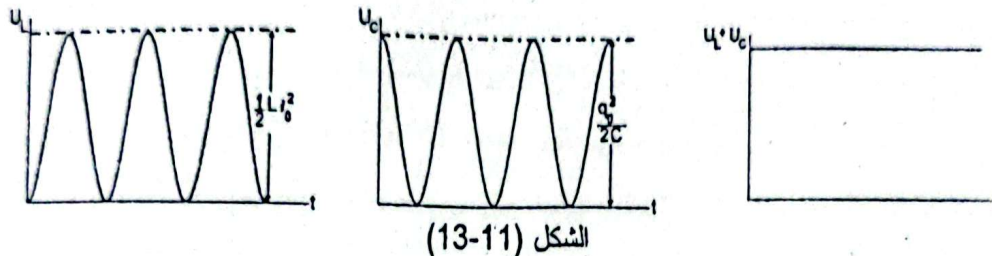
وتعطى الطاقة المخزنة في المكثف بالعلاقة التالية:

$$U_C = \frac{1}{2} \frac{q^2}{C}$$

وبالتعويض عن  $q$  من المعادلة (36-11) ينتج أن:

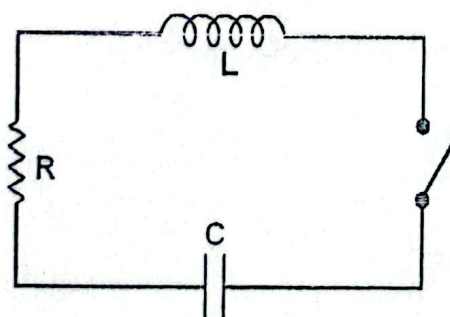
$$U_C = \frac{1}{2C} q_0^2 \cos^2 \omega t$$

ويبين الشكل (11-13) تمثيلاً بيانياً للطاقة المخزنة في المكثف  $U_L$ ، والطاقة المخزنة في المكثف  $U_C$ ، ومجموع الطاقتين المخزنتين في المكثف والمكثف  $(U_L + U_C)$ . وتلاحظ من الشكل أن مجموع طاقتى المكثف يبقى ثابتاً مع مرور الزمن (على الفرض عدم وجود قيمة مقاومة لدارة)، فعندما تكون  $U_C$  أقصى ما يمكن تكون  $U_L$  أصغر ما يمكن والعكس صحيح.



### □ 9-11 دارة مقاومة ومحاث ومكثف (RLC - circuit)

لقد ناقشنا في البدل السابق دارة تذبذب مثالية (LC)، حيث أهملنا قيمة أي مقاومة يمكن أن تعمل على تخميد التذبذب. ومن الناحية العملية لا بد من وجود مقاومة في الدارة، حتى ولو كانت قيمتها صغيرة. وتشتمل هذه المقاييس بالأسلاك الملف أو أسلاك التوصيل. فإذا مثلنا مقاومة الكلية في دارة LC العملية بالرمز  $R$ ، تصبح الدارة الجديدة كما هو مبين في الشكل (14-11).



ولنفترض أن المكثف  $C$  شحن من مصدر خارجي بشحنة  $q_0$ ، ثم وصل المفتاح  $S$  باللحظة  $t = 0$ . وبما أنه يوجد مقاومة  $R$  في الدارة، فإننا نتوقع تحول بعض الطاقة الكهربائية إلى طاقة حرارية تتبع في المقاييس  $R$ . ولذلك فإن من المتوقع أن تتضاعف الطاقة الكهرومغناطيسية تدريجياً في الدارة بسبب تحول جزء منها إلى حرارة خلال

المقاومة  $R$ . وبالتالي فإن  $R$  تعمل على تخميد تذبذب الدارة بشكل تدريجي. وبنطبيق قانون كيرشوف الثاني على الدارة نحصل على

$$(40-11) \quad L \frac{di}{dt} + Ri + \frac{q}{C} = 0$$

حيث تمثل  $i$  و  $q$  التيار المار في الدارة والشحنة على المكثف على الترتيب عند اللحظة  $t$ . وحيث أن:

$$\frac{di}{dt} = \frac{d^2q}{dt^2} \quad i = \frac{dq}{dt}$$

فإن المعادلة (40-11)، تصبح على النحو التالي:

$$L \frac{d^2q}{dt^2} + R \frac{dq}{dt} + \frac{q}{C} = 0$$

وهذه معادلة تفاضلية متباينة من الدرجة الثانية، ويعطي حلها الشحنة  $q$  بدلالة الزمن  $t$ . وسنكتفي باعطاء نتائج حل هذه المعادلة ومناقشتها دون الخوض بتفاصيل الحل. فهناك ثلاثة حلول للمعادلة (11-11)، يعطي كل حل منها الشحنة  $q$  بدلالة الزمن  $t$  ويعتمد كل حل على مقدار المقاومة  $R$  في الدارة. فإذا كانت المقاومة  $R$  تساوي صفراء، فإن المعادلة (11-11) تؤول إلى معادلة التذبذب المثالي أو التذبذب غير المخمد (undamped oscillation). ولقد تم وصف هذا النوع من التذبذب في دارة  $LC$  في البند السابق.

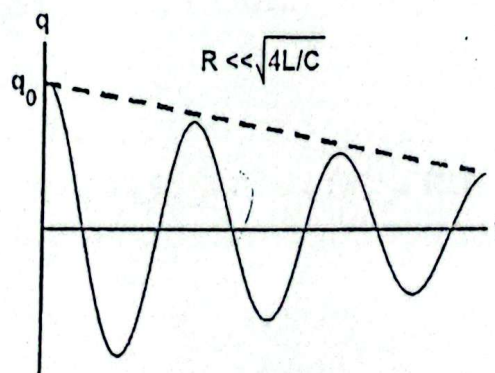
أما إذا كانت المقاومة في الدارة لا تساوي صفراء، فيوجد للمعادلة التفاضلية حالان هما:

#### 1. حالة التخميد الخافت (underdamped oscillation)

ويرتبط هذا الحل بكون  $C > 4L/R^2$ . ويطلق على هذه الحالة اسم (أ)، ويعطي الشحنة  $q$  بدلالة الزمن  $t$  بالعلاقة:

$$(41-11) \quad q = q_0 e^{Rt/2L} \cos(t/\sqrt{LC})$$

وتختلف هذه المعادلة عن معادلة التذبذب في دارة  $LC$  (المعادلة 11-36)، باحتواها على المعامل  $e^{-Rt/2L}$ . وهذا المعامل هو الذي يؤدي إلى اضمحلال الشحنة بمرور الزمن، كما هو مبين في الشكل (15-11).



الشكل (15-11)

#### 2. حالة التخميد الفائق (overdamped oscillation)

ويرتبط الحل الثاني للمعادلة (11-11) بكون  $C < 4L/R^2$ . ويطلق على هذه الحالة اسم حالة التخميد الفائق. ويحدث في هذه الحالة تبديد الطاقة الكهرومغناطيسية بشدة هائلة في المقاومة  $R$  دون أن يتاح لها أن تذبذب بين المكثف والملف.

أما إذا كانت  $C < 4L/R^2$  فإن الدارة تتصرف وكأنها مكثف  $C$  يتم تفريغ شحنته خلال المقاومة  $R$ .

لذا فإن الشحنة  $q$  تُعطى بدلالة الزمن بالمعادلة المألوفة لديك وهي:

$$(42-11) \quad q(t) = q_0 e^{-Rt/2L} ; \quad (R^2 > 4/LC)$$

ولتتغلب على فقدان الطاقة خلال مقاومة المبحث وأسلاك التوصيل لدارة RLC، يتم تزويد الدارة بقدرة كهربائية من مصدر خارجي بمعدل مستمر، حيث توصل الدارة مع مفتاح الكتروني خاص (ترانزistor مثلًا)، إلى مصدر فرقة، ويقوم المفتاح الخاص بتزويد الدارة بالقدرة الكهربائية بمعدل يعادل ترددتها، حيث يعرضها عن كل جزء يضيع من الطاقة. ويمكن معرفة المزيد عن هذا الأمر بالرجوع إلى كتب الإلكترونيات المناسبة.

في دارة RLC يتغير تتبّع الطاقة الكهرومغناطيسية بوجود المقاومة.

إذا كانت قيمة المقاومة  $R$  بحيث أن  $R^2 < 4/LC$  في دارة RLC فإن تتبّع الشحنة يضمن فيها بشكل أنسى وثُسْمَى الدارة في هذه الحالة دارة التخميد الخافت.

إذا كانت قيمة المقاومة  $R$  بحيث أن  $R^2 > 4/LC$  في دارة RLC فإن الطاقة الكهرومغناطيسية تتبدل بشدة هائلة في المقاومة دون أن يتأتّف لها أن تتبّع بين المكثف والملف. وثُسْمَى الدارة في هذه الحالة دارة التخميد الفائق.

#### ■ مثال (10-11)

ووصل ملف محيانته  $mH = 20$  ومتارمه  $\Omega = 2$  فجاء على التوالي مع مكثف مواسعته  $\mu F = 2.2$  مشحون من مصدر جهد قدره  $V = 12$ . (أ) أثبت أن هذه الدارة ستتبّع. (ب) ما الزمن اللازم لكي تتضاعف الشحنة الابتدائية على المكثف إلى النصف؟

الحل:

(أ) إن شرط التتبّع في دارة RLC هو  $R^2 < 4/LC$  (أو  $R^2 < 4/LC$ ). وبحساب  $C = L/R^2$  للدارة نجد أنها تساوي:

$$\frac{4L}{C} = \frac{4 \times 20 \times 10^{-3}}{2.2 \times 10^{-6}} = 36364 \Omega^2$$

وهذه القيمة أكبر بكثير من  $R^2 = (2 \Omega)^2 = 4 \Omega^2$ . لذا فإن الدارة تحقق شرط التتبّع وبالتالي تتبّع.

(ب) يمكن إيجاد الزمن اللازم لكي تتضاعف الشحنة  $q_0$  إلى النصف بتطبيق المعادلة (41-11) على النحو التالي:

$$e^{-Rt/2L} = \frac{1}{2} \Rightarrow e^{-2 \times 1 / (2 \times 20 \times 10^{-3})} = \frac{1}{2}$$

$t \approx 14 \text{ ms}$

ومنها نجد أن:

## ملخص الفصل الحادي عشر

١. المبحث هو نبيطة كهربائية، وأنضل مثال عليه هو الملف، يُحثّ تحت تأثير تغير التدفق المغناطيسي خلاله وبتوله به تيار ثانوي (أي تيار مسحث).
٢. تخزن الطاقة الكهرومغناطيسية في المحساثات ولهذا فهي تلعب دوراً مشابهاً دور المكبات في تخزين الطاقة الكهربائية.
٣. الحث الذاتي هو تولد قوة دافعة كهربائية ثانوية في دارة مختلفة.
٤. يعطى المحسنة الذاتية  $L = -\frac{d\epsilon}{dt}$ ، أي أنها سارى النسبة بين القوة الدافعة الكهربائية الثانوية ومعدل تغير التيار الكهربائي الذي ولد هذه القوة الدافعة الكهربائية.
٥. المحسنة الذاتية خاصية ذاتية للبحث تعتمد على شكله الهندسي والمواد الموجودة فيه (أو حوله) فقط.
٦. يعطى المحسنة الذاتية ل ملف لوبي طبولي مساحة مقطعه  $A$  وطوله  $l$  ويحتوي على  $N$  لفة لكل وحدة طول بالعلاقة:

$$L = \mu_0 N^2 / A$$

٧. يعطى محسنة ملف إطاري يحتوي على  $N$  لفة، نصف قطره الداخلي  $R_1$  والخارجي  $R_2$ ، ومنتزعه على شكل مستطيل ارتفاعه  $h$  بالعلاقة:

$$L = \frac{N\Phi_B}{i} = \left( \frac{\mu_0 N^2 h}{2\pi} \right) \ln \frac{R_2}{R_1}$$

٨. إذا كانت  $\epsilon_1$  هي القوة الدافعة الثانوية المترولة في بحث  $L_1$  يمر به تيار شدته  $i_1$  الناتجة عن وضعه قرب بحث آخر  $L_2$  يمر به تيار شدته  $i_2$ ، وإذا كانت  $\epsilon_2$  هي القوة الدافعة الثانوية المترولة في البحث  $L_2$  فإن المحسنة المتبادلة بينهما يعطى بالعلاقة:

$$M = -\frac{\epsilon_1}{di_2/dt} = -\frac{\epsilon_2}{di_1/dt}$$

٩. عند وصل المحساثات على التوالى أو التوازى فإنه ينطبق عليها ما ينطبق على المقاومات بشرط افتراض أن المحساثات لا تؤثر على بعضها.
١٠. يتغير التيار  $i$  المار في دارة بحث  $(L)$  ومقاومة  $(R)$  موصولين مع مصدر جهد  $\epsilon$  أسبباً مع الزمن حسب العلاقة:

$$i(t) = \frac{\epsilon}{R} \left( 1 - e^{-t/\tau} \right) = i_0 \left( 1 - e^{-t/\tau} \right)$$

حيث  $\tau$  ثابت يساوى  $\frac{L}{R}$ ، ويعرف بثابت الزمن الحثى.

11. يتغير التيار / المار في دارة مخت (L) ومقاومة (R) موصولين معاً (بدون وجود مصدر جهد) مع الزمن حسب العلاقة:

$$i(t) = i_0 e^{-t/\tau}$$

$$\text{حيث } \frac{L}{R} = \tau, \text{ ثابت الزمن الحني لهذه الدارة.}$$

12. تناسب كثافة الطاقة المغناطيسية الحجمية في نقطة ما في الفراغ طردياً مع مربع قيمة شدة المجال المغناطيسي في تلك النقطة.

$$u_B = \frac{1}{2\mu_0} B^2$$

11. تذبذب الطاقة في دارة LC بين صورتها الكهربائية والمغناطيسية ويكون المجال الكهرومغناطيسي الناتج متزدراً بنفس التردد وتنتشر هذه التذبذبات في المجال الكهرومغناطيسي في الفضاء بسرعة الضوء على هيئة أمواج تسمى الأمواج الكهرومغناطيسية.

12. استنتج ماكسويل أنه وبما أنَّ الأمواج الكهرومغناطيسية تسير بسرعة الضوء فإنَّ الضوء عبارة عن أمواج كهرومغناطيسية.

13. يتأثر تذبذب الطاقة الكهرومغناطيسية في دارة LC بوجود مقاومة الأسلاك ومادة الملف والمكثف (وذرس الدارة وكائناً دارة RLC).

14. إذا كانت قيمة المقاومة  $R$  بحيث أنَّ  $R^2 < 4L/C$  في دارة RLC فإنَّ تذبذب الشحنة في الدارة يضمن فيها بشكل أسي حسب العلاقة:

$$q = q_0 e^{Rt/2L} \cos\left(\frac{t}{\sqrt{LC}}\right)$$

وُسمى الدارة في هذه الحالة دارة التخميد الخافت.

15. إذا كانت قيمة المقاومة  $R$  بحيث أنَّ  $R^2 > 4L/C$  في دارة RLC فإنَّ الطاقة الكهرومغناطيسية تتبدل بشدة هائلة في المقاومة دون أنْ ينبع لها أنَّ تذبذب بين المكثف والملف. ويعطى الشحنة في الدارة بدلالة الزمن في هذه الحالة بالعلاقة:

$$q(t) = q_0 e^{-t/R} ; (R^2 \gg 4L/C)$$

وُسمى الدارة في هذه الحالة دارة التخميد الفائق.

## نماذج

1: يمر تيار  $i$  يُعطى بالعلاقة  $(A) = 2 \sin 10t$  / خلال مخت محت محته  $15 \text{ mH}$ . إن التدفق

الداعية التأثيرية العكسية المولدة في المخت عند اللحظة  $t = 0.5 \text{ s}$  =  $\mu\text{Wb}$  تساوي تدريبا:

- (ا)  $142 \text{ mV}$  (ب)  $113 \text{ mV}$  (ج)  $85 \text{ mV}$  (د)  $57 \text{ mV}$

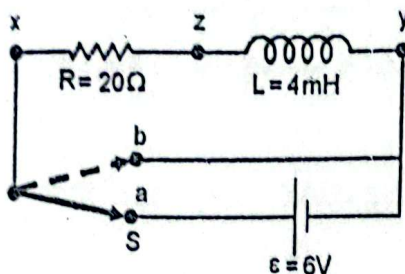
2: أدخل لب حديدي داخل ملف لولي طوله  $60 \text{ cm}$ , ومساحة مقطعه  $5 \text{ cm}^2$  ويحتوي على  $1000$  لنة. إذا علمت أن ثابت إفراز الحديد  $\mu_{Fe} = 5000 \mu$  فلن محت الملف

تساوي:

- (ا)  $3.14 \text{ H}$  (ب)  $6.28 \text{ H}$  (ج)  $9.42 \text{ H}$  (د)  $12.56 \text{ H}$

3: أغلق المفتاح  $S$  في الشكل المجاور عند اللحظة  $t = 0$ .

إن أقصى قيمة للتيار في الدارة تساوي:



- (ا)  $0.6 \text{ A}$  (ب)  $0.4 \text{ A}$  (ج)  $0.5 \text{ A}$  (د)  $0.3 \text{ A}$

4: في السؤال السابق، إن فرق الجهد بين طرفي الملف ( $V_{zy}$ ) عند اللحظة  $t = 0.4 \text{ ms}$

تساوي:

- (ا)  $0.16 \text{ mV}$  (ب)  $0.4 \text{ V}$  (ج)  $160 \text{ nV}$  (د)  $1.84 \text{ mV}$

5: في السؤال 3، بعد فترة طويلة من غلق المفتاح عند  $a$  ينطلق المفتاح  $S$  فجأة عند  $b$ . إن

اتجاه التيار الذي سيسري في الدارة  $RL$  المعلقة سوف يكون من:

- (ا)  $y$  إلى  $x$  (ب)  $x$  إلى  $y$  (ج)  $a$  إلى  $b$  (د)  $b$  إلى  $a$

6: إذا مر تيار شدته  $A$  في كيبل من نوع متعدد المحور في أسطواناته الداخلية، التي نصف

قطرها  $0.1 \text{ cm}$  وأكمل دورته في قشرته الخارجية، والتي نصف قطرها يساوي  $0.5 \text{ cm}$

فإن الطاقة المغناطيسية المخزنة في وحدة الطول من الكيبل، بوحدة  $\text{mJ/m}$ ، تساوي:

- (ا)  $0.08 \text{ J}$  (ب)  $0.16 \text{ J}$  (ج)  $0.32 \text{ J}$  (د)  $0.64 \text{ J}$

7: تردد الرنين لدارة مثالية تحوي محت  $L = 100 \text{ mH}$  ومتنا مواسته  $C = 5 \mu\text{F}$  يساوي:

- (ا)  $113 \text{ Hz}$  (ب)  $225 \text{ Hz}$  (ج)  $375 \text{ Hz}$  (د)  $450 \text{ Hz}$

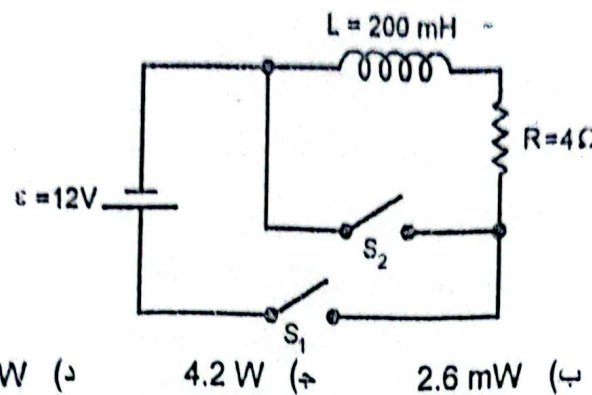
8: وصل مخت مقاومة وبطارية على التوالي في دارة مغلقة. إذا علمت أن التيار يلمر إلى

ثلث قيمته القصوى في ثانيةين فإن ثابت الزمن الحنى للدارة يساوي:

- (ا)  $2.5 \text{ s}$  (ب)  $3.7 \text{ s}$  (ج)  $4.9 \text{ s}$  (د)  $6.2 \text{ s}$

9: إذا أغلق المفتاح  $S_1$  وترك المفتاح  $S_2$  غير مغلق في الدارة المبينة في الشكل التالي فإن

معدل تبديد الطاقة الحرارية في المقاومة بعد مجيء 500 من إثلاق الدارة يساوي:



10: وصل محيط  $40 \text{ mH}$  ومقاومة  $3 \Omega$  ومكثف  $6 \mu\text{F}$  مشحون من مصدر جهد  $12 \text{ V}$  في دارة مغلقة. إن الزمن اللازم لكي تنخفض الطاقة الكلية في الدارة إلى نصف قيمتها الابتدائية يساوي:

- (أ)  $9.25 \text{ ms}$  (ب)  $18.50 \text{ ms}$  (ج)  $37.00 \text{ ms}$  (د)  $46.25 \text{ ms}$

### مسائل

- 1-11 يمر تيار  $i$  يعطى بالعلاقة  $(A) i = 5 \sin 8t$ . خلل محيط محاثته  $15 \text{ mH}$ . اوجد القوة الدافعة التأثيرية العكسية المتولدة في المحيط بدلالة الزمن  $t$ .
- 2-11 ملف لوليبي نصف قطره  $2 \text{ cm}$  وطوله  $60 \text{ cm}$  وعدد لفاته  $500$ . ما مقدار محاثة الملف؟
- 3-11 يراد عمل محيط محاثته  $10 \mu\text{H}$  على اسطوانة طولها  $5 \text{ cm}$  ونصف قطرها  $0.4 \text{ cm}$  ما عدد اللفات الالزام؟ ما طول السلك اللازم؟
- 4-11 تولد جهد فرق  $18 \text{ mV}$  في ملف مكون من  $400$  لفة، في لحظة كانت شدة التيار المار في الملف عندها  $A$ . إذا علمت أن معدل تغير التيار بالنسبة للزمن في تلك اللحظة هو  $10 \text{ A/s}$ ، فما التدفق الكلي للمجال المغناطيسي خلال الملف؟
- 5-11 يتغير التيار الكهربائي في محيط  $H$   $10$  بمرور الزمن وفقاً للعلاقة  $i = 4t^2$  حيث تمثل  $t$  الزمن بالثانية و  $i$  التيار بالأمبير. (أ) احسب مقدار القوة الدافعة الكهربائية المتولدة في المحيط في اللحظة  $t = 0$  وكذلك في اللحظة  $t = 2s$ . (ب) عند أي قيمة للزمن  $t$  تكون القوة الدافعة الكهربائية المتولدة أقل ما يمكن وما قيمتها؟
- 6-11 ملف لوليبي طوله  $50 \text{ cm}$  ونصف قطره  $2 \text{ cm}$ ، مكون من  $400$  لفة متراصة ملتفة على لب حديدي، ثابت إلغاينته المغناطيسية  $\mu = 2800 \mu\text{m}$ . لف حوله ملف آخر مكون من  $200$  لفة بإحكام وبشكل متراص، ثم مرر في الملف الأول تيار منتظم. إذا تناقص التيار من  $5 \text{ A}$  إلى

١٢-١

١ خلال  $80 \text{ ms}$  بانتظام فارجed (١) النوة الدائمة الثابتة المغذدة في الملف الثاني (ب) المُحَافَّة المُتَبَاشَة لِلملفين.

١-١١

ملف ثابت مجامعته المُتَبَاشَة  $H = 100 \text{ mT}$ . مر' لم أحد الملفين تيار  $i$  يُعطى بالمعادلة  $i_0 \sin \omega t = i$ , ما أكبر قوة دالعة كهربائية تتولد في الملف الثاني على افتراض أن  $\omega = 1000 \text{ rad/s}$  و  $i_0 = 10 \text{ A}$

١

ملف ثابت طوله مكون من  $N_1$  نـة ونصف قطره  $a$ , بحيث يملك ثوابت  $L$  ب نفس الطول عدد لفات  $N_2$  ونصف قطره  $b$ . إذا كان الملف متعدد بالمحور، وكان طول كل منها  $l$ , فما المُحَافَّة المُتَبَاشَة لها  $M$ ? احسب المُحَافَّة على افتراض أن تيارا  $i$  يمر في الملف الداخلي، ثم احسبها بافتراض أن التيار  $i$  يمر في الملف الخارجي. هل  $M_{12} = M_{21}$ ؟

١

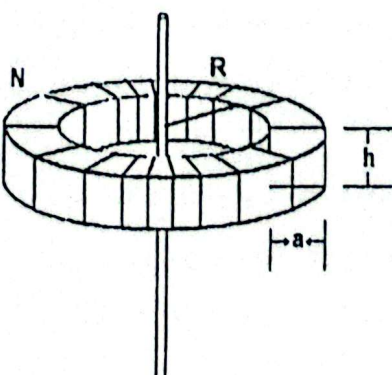
عروقان متعددان بالمركز وتقعان في نفس المستوى، لنصف قطر الأولى  $R_1$  والثانية  $R_2$ , حيث  $R_1 \gg R_2$ . أثبت أن محاجتها المُتَبَاشَة  $M$  تعطى بالعلانة  $M = \mu_0 \pi R_1^2 / 2R_2$ .

$$\text{قيمة محاجتها المُتَبَاشَة عندما تكون } R_2 = 3 \text{ cm \text{ و } } R_1 = 40 \text{ cm}$$

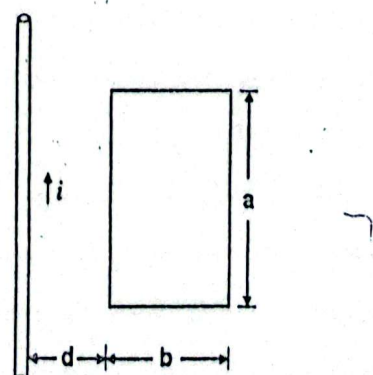
سلك مستقيم وطويل موضوع على بعد  $d$  من عروقة مستطيلة طولها  $a$  وعرضها  $b$  بشكل مواز لأحد أضلاعها، كما في الشكل (11-16). احسب المُحَافَّة المُتَبَاشَة  $M$  بين السلك والعروقة، على افتراض أن طول السلك أكبر بكثير من ابعد العروقة.

يلطبق محور سلك طويـل ومستقيم على محور إطارـي عـدد لـفاتـه  $N$  ونـصف قطرـه  $R$ , كما في الشـكل (17-11). إذا علمـتـ أن مـقطعـ المـلفـ على شـكلـ مـسـطـيلـ طـولـ قـاعـدـتهـ  $a$  وـارـتفاعـهـ  $h$ , فـأثـبـتـ أنـ المـحـافـةـ المـتـبـاشـةـ بـيـنـهـاـ  $M$ ـ تـعـطـىـ بـالـمـعـادـلـةـ:

$$M = \left( \frac{\mu_0 N h}{2\pi} \right) \ln[(R+a)/R]$$



(17-11)



(16-11)

١٢-١١ ما مقدار الطاقة المخزنة في محت  $200 \text{ mH}$  في اللحظة التي يمر به تيار شدته  $2 \text{ A}$ ؟

13-11 إذا علمت أن شدة المجال المغناطيسي داخل ملف أولبي طوله  $12\text{ cm}$  ونصف قطره  $3\text{ cm}$  يساوي  $T = 0.7$ ، أما القيمة التقريرية للطاقة المخزنة في المجال؟

14-11 كابل طوبل مكون من موصلين اسطوانيين متّحدين بالمحور (coaxial cable). الأول منها مصنوع نصف قطره  $1\text{ cm}$ ، والثاني عبارة عن قشرة معدنية رقيقة واسطوانية نصف قطرها  $3\text{ cm}$  تحيط بالأول، إذا مر تيار كهربائي شنته  $10\text{ A}$  في الموصل الداخلي وأكمل دورته خلال القشرة، فماجد: (أ) كثافة الطاقة الحجمية المخزونة في المجال المغناطيسي بين الموصلين، (ب) الطاقة الكلية المخزونة في المجال المغناطيسي بين الموصلين لكل وحدة طول، [استعن بالمثال (8-11)].

15-11 سلك معدني نصف قطره  $a$  ويمر به تيار شنته  $i$ . اوجد: (أ) كثافة الطاقة المغناطيسية على بعد  $a/2$  عن المحور. (ب) الطاقة المغناطيسية الكلية المخزنة لكل وحدة طول في السلك. (ج) كثافة الطاقة المغناطيسية على بعد  $4a$  عن محور السلك.

16-11 وصل محت ومقاومة وبطارية على التوالى في دارة مغلقة، إذا علمت أن التيار في الدارة ينمو إلى ربع قيمته القصوى في  $3$  ثوان فما ثابت الزمن الحنى (τ) للدارة؟

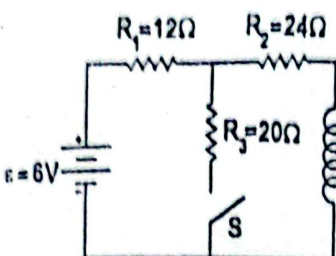
17-11 كم ثابت زمنيا حيث يستغرق الجهد بين طرفي مقاومة في دارة  $RL$  لكي ينخفض إلى  $1\%$  من قيمته الابتدائية؟

18-11 ربط ملف  $H = 1.2\text{ H}$  ومقاومة  $3\Omega$  بطارية قوتها الدافعة الكهربائية  $V = 24$ . احسب: (أ) معدل تزايد التيار لحظة إغلاق الدارة. (ب) معدل تزايد التيار في اللحظة التي يصبح بها التيار  $5\text{ A}$  (ج) أقصى تيار يمر في الدارة. (د) قيمة التيار المار في الدارة بعد مرور  $0.6\text{ s}$  من إغلاقها.

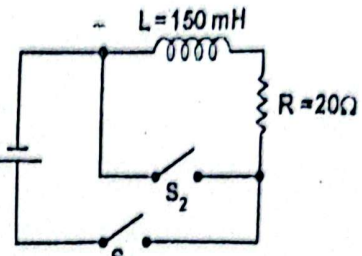
19-11 إذا أغلق المفتاح  $S_1$  وترك المفتاح  $S_2$  غير مغلق في الدارة المبينة في الشكل (18-11) فاحسب بعد مضي  $500\text{ }\mu\text{s}$  من إغلاق الدارة: (أ) التيار المار في المقاومة. (ب) فرق الجهد بين طرفي المقاومة. (ج) معدل تبديد الطاقة الحرارية في المقاومة. (د) الطاقة المغناطيسية المخزنة في البحث.

20-11 في الشكل (18-11)، إذا أغلق المفتاح  $S_1$  لفترة طويلة، ثم فتح ثانية وأغلق المفتاح  $S_2$ ، فماجد: (أ) التيار الذي يمر في الدارة لحظة إغلاق المفتاح  $S_2$ . (ب) الزمن الذي يستغرقه فرق الجهد بين طرفي البحث حتى تنخفض قيمته إلى نصف ما كانت عليه قبل إغلاق المفتاح  $S_2$ . (ج) التيار المار في الدارة بعد مرور  $15\text{ s}$  على إغلاق المفتاح  $S_2$ .

21-11 أغلق المفتاح  $S$  في الدارة المبينة في الشكل (19-11) في اللحظة  $t = 0$  ولفتره طويلة جدا. (أ) ما مقدار التيار المار في البحث؟ (ب) ما مقدار القوة الدافعة الكهربائية التأثيرية المتولدة



(الشكل 19-11)



(الشكل 18-11)

22-11 ما موازعة المكثف اللازم ربطه مع مكثف  $100 \text{ mH}$  للحصول على دارة تردد  $2 \text{ kHz}$

23-11 تستخدم دارة الرنين (LC) في المذياع (جهاز الراديو) لانتقاء المحطات. حيث يعمل مكثف متغير الموازعة ومتصل مع ملف على انتقاء المحطات المطلوبة. (أ) إذا كانت موازعة المكثف المتغير  $1000 \text{ pF}$  عندما كان الجهاز يلتقط إذاعة عمان التي تردد  $801 \text{ kHz}$  فما محانة الملف المستخدم في دارة الرنين. (ب) إذا تغيرت موازعة المكثف فاصبحت  $1200 \text{ pF}$  فما تردد المحطة الجديدة التي يستقبلها المذيع؟

24-11 وصل مكثف  $40 \text{ mH}$  ومقاومة  $3 \Omega$ ، ومكثف  $6 \mu\text{F}$  مشحون من مصدر جهد  $10 \text{ V}$  في دارة مغلقة. (أ) هل تهتز هذه الدارة؟ (ب) ما الزمن اللازم لكي تتضمن الطاقة الكلية في الدارة إلى نصف قيمتها الابتدائية؟

الفصل الثاني عشر

دارات التيار المتردد

Alternating Current  
Circuits

## الفصل الثاني عشر

### دارات التيار المتردد

#### (Alternating Current Circuits)

##### □ 1-12 تمهيد

تعرفنا في الفصلين السابع والحادي عشر على خصائص الدارات الكهربائية المحترية على مقاومات ومحولات ومصادر مستمرة للفوّة الدافعة الكهربائية (dc sources of emf) كما تعرفنا على خصائص دارة RC المحترية على مقاومة ومكثف مشحون (أو دارة تفريغ المكثف)، وعلى خصائص دارة RLC، والاهتزاز المتولد فيما بينها. وسنعرف في هذا الفصل على سلوك عناصر الدارات آنفة الذكر عند وصلها مع مصادر متعددة للفوّة الدافعة الكهربائية (ac sources of emf). إن دارات التيار المتردد (ac circuits) الناتج عن استخدام مصدر متعدد هذه أهمية كبيرة، لأن معظم الكهرباء المولدة تكون من النوع المتردد، كمارأينا عند مناقشتنا لموضوع المولد الكهربائي في الفصل العاشر. أضف إلى ذلك أن دارات التيار المتردد تطبيقات عملية عديدة وهامة في مختلف ميادين العلوم والتكنولوجيا الحديثة وفي حياتنا اليومية. ولعدّ مصادر الفوّة الدافعة الكهربائية والمقاييس والمكثفات والمحولات من العناصر الأساسية لهذه الدارات، كما هو الحال في دارات التيار المستمر، غير أن الفوّة الدافعة الكهربائية في حالة دارات التيار المتردد تتغير بشكل دوري (منتظم) مع الزمن.

##### □ 2-12 التيار المتردد (Alternating Current)

عند توصيل مصدر مستمر لفوّة دافعة كهربائية أو بطارية في دارة كهربائية مختلفة، فإنَّ تياراً يسري في الدارة باتجاه محدد بشكل ثابت ومستمر من الطرف ذي الجهد الأعلى إلى الطرف ذي الجهد الأدنى، كما ببُئنا في الفصل السابع. ويطلق على هذا التيار اسم التيار المستمر أو المباشر أو (dc) انظر الشكل (1-12أ). من جهة أخرى، عند توصيل مولد كهربائي (electric generator) في دارة كهربائية فإنَّ الفوّة الدافعة الكهربائية الناتجة تكون متعددة أو متغيرة، كما ببُئنا في الفصل العاشر، وتُعطى هذه الفوّة الدافعة الكهربائية بالمعادلة:

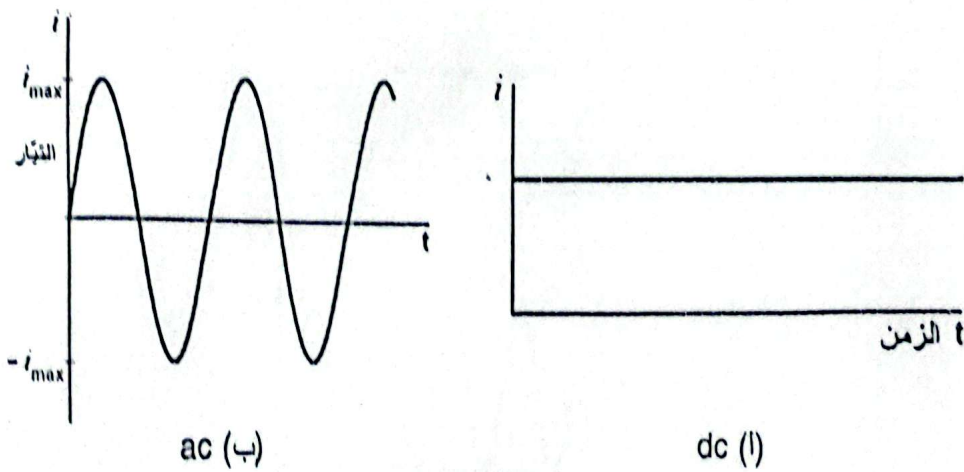
$$(1-12)$$

$$\epsilon = \epsilon_0 \sin \omega t$$

[ انظر المعادلتين (10-11) و(10-12) حيث تمثل  $\epsilon_0$  القيمة العظمى للفوّة الدافعة الكهربائية للمولد

وتحل (١) التردد الزاوي لدوران المولد بالزوايا نصف قطرية وأخيراً تصل الزوايا  
المعادلة (١-١٢) فإن الجهد المتردد يعكس اتجاهه عدة مرات في فترة معيشة من الزمن، وينتظر مقداره  
ونقلاً لاقتران جيبى (sine function) وسيك التيار المتردد الناتج عن هذا الجهد نفس الميلوك حيث  
يتغير ونقاً لاقتران جيبى كما في الشكل (١-١ ب).

وتلاحظ من المعادلة (١-١٢) إن الجهد الكهربائي لمصدر القوة الدافعة الكهربائية المتردد (المولد مثلاً)  
يتذبذب بين قيمتين هما  $+V_{max}$  و  $-V_{max}$ . وتعرف  $V_{max}$  باسم جهد الذروة (peak voltage) ويرمز لها  
في كثير من الأحيان بالرمز  $V_0$  أو الرمز  $V_p$ . وتلاحظ كذلك من الشكل (١-١ ب) أن التيار المتردد  
الناتج عن المصدر المتردد يتذبذب بين قيمتين هما  $i_{max}$  و  $-i_{max}$ . ويعرف باسم تيار الذروة  
(peak current) ويرمز له في كثير من الأحيان بالرمز  $I_0$  أو الرمز  $I_p$ .



الشكل (١-١٢)

ويطلق على عدد الذبذبات (أو الدورات) الكاملة التي يُتمها الجهد أو التيار في الثانية الواحدة اسم التردد  
(frequency) ويرمز له بالرمز  $f$ . وتقوم شركات الكهرباء في الأردن وفي معظم دول الشرق الأوسط  
وأوروبا بتزويد الكهرباء بتردد  $f$  يساوي  $50 \text{ Hz}$  أما في أمريكا وكندا فقيمة  $f$  تساوي  
 $60 \text{ Hz}$ . وترتبط  $f$  مع التردد الزاوي  $\omega$  بالمعادلة:

$$(2-12) \quad \omega = 2\pi f$$

ويسمى معكوس التردد الدورة (period)، ورمزه  $T$ ، أي أن:

$$T = 1/f = 2\pi/\omega$$

لتفترض أن مصدر جهد متعدد  $V$  قد وصل مع مقاومة  $R$  في دارة مغلقة. إن التيار  $i$  المار في الدارة  
يُعطى حسب قانون أوم على النحو التالي:

$$(3-12) \quad i = \frac{V}{R} = \frac{V_0}{R} \sin \omega t = i_0 \sin \omega t$$

حيث يمثل  $i_0$  قيمة التيار القصوى المار في الدارة. ويُعد التيار المار في الدارة موجباً عندما تسرى

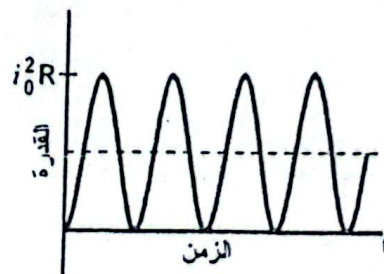
الإلكترونات فيها يتجه معين وسالبا عندما تسرى تلك الإلكترونات بالاتجاه المعاكس. ويتبين من الشكل (1-12 ب) أن التيار المتردد يكون موجيا نصف الوقت وسالبا نصفه الآخر. بمعنى أن التيار المتوسط يساوى صفراء ولا يعني هذا بالطبع أنه لا يلزم قدرة كهربائية، أو أنه لا تتولد حرارة في المقاومة، إذ أن الإلكترونات تتحرك جيئة وذهابا في المقاومة وتتولد وبالتالي حرارة فيها. وفي الواقع فإن الفكرة الكهربائية  $P$  المعندة في المقاومة  $R$  والمبددة على شكل حرارة في آية لحظة زمنية تعطى بالمعادلة:

$$(4-12) \quad P = i^2 R = i_0^2 R \sin^2 \omega t$$

وبما أن قيمة التيار مربعة في معادلة القدرة السابقة، فإن القدرة تكون موجبة دائما كما هو موضح في الشكل (2-12). وتتغير الكمية  $\sin^2 \omega t$  بين 0 و 1 ولذا فإن متوسط تلك الكمية يساوي  $\frac{1}{2}$ . وبالتالي

يُعطى متوسط القدرة (average power) بالمعادلة:

$$(5-12) \quad \bar{P} = \frac{1}{2} i_0^2 R = \frac{1}{2} \frac{V_0^2}{R}$$



(2-12)

إن القيمة المتوسطة لربع التيار أو الجهد هي القيمة المهمة في حسابات متوسط القدرة الكهربائية، أي إن:

$$\bar{i}^2 = \frac{1}{2} i_0^2 \quad \text{و} \quad \bar{V}^2 = \frac{1}{2} V_0^2$$

ويطلق على الجذر التربيعي للقيمة المتوسطة هذه اسم قيمة جذر متوسط المربعات (ج.م.م) ويطلق على الجذر التربيعي للقيمة المتوسطة هذه اسم قيمة جذر متوسط المربعات (ج.م.م) للتيار أو الجهد، ويرمز لها بالرموز  $i_{rms}$  و  $V_{rms}$  على الترتيب، حيث

$$(6-12) \quad i_{rms} = \sqrt{\bar{i}^2} = \frac{1}{\sqrt{2}} i_0$$

$$(7-12) \quad V_{rms} = \sqrt{\bar{V}^2} = \frac{1}{\sqrt{2}} V_0$$

وتعرف قيمة ج.م.م (rms) هذه في كثير من الأحيان باسم القيمة الفعالة

للتيار أو الجهد، وتعُد قيمتاً ج.م.م للتيار والجهد من القيم الهمامة في الكهرباء، لأنَّ هاتين القيمتين تُستخدمان في معادلات القدرة للحصول على متوسط القدرة مثل:

$$(8-12) \quad \bar{P} = \frac{1}{2} i_0^2 R = i_{rms}^2 R$$

وهكذا يُمكننا القول بأنَّ التيار المستمر الذي تساوي قيمتاً  $i_0$  و  $V$  له قيمي  $i_{rms}$  و  $V_{rms}$  للتيار متعدد يُنتج نفس القدرة مثل هذا التيار المتعدد. لذلك فإنَّ قيمة  $rms$  هي التي تُعطى عادةً من الشركات الصناعية. فمثلاً عند القول بأنَّ الجهد الكهربائي المتعدد في الأردن هو  $V = 220$  فانَّ المقصود هو قيمة ج.م.م للجهد ( $V_{rms}$ ) وليس قيمة جهد الذروة ( $V_0$ )، فإذا أردنا معرفة جهد الذروة نحسبه كما يلي:

$$V_0 = \sqrt{2} V_{rms} = \sqrt{2} \times 220 = 311 \text{ volts}$$

التيار الناتج عن مصدر متعدد للفوهة الدافعة الكهربائية تيار متعدد.

**يُسمى الجذر التربيعي للقيمة المتوسطة لربع التيار أو الجهد جذر متوسط المربعات (ج.م.م) للتيار أو الجهد.**

ج.م.م للجهد و ج.م.م للتيار هما، على التوالي، القيمة الفعالة للجهد والقيمة الفعالة للتيار.

#### ■ مثال (1-12)

يعمل سخان كهربائي قدرته  $W = 1000$  على جهد متعدد قدره  $V = 220$ ، احسب: (أ) مقاومة السخان.  
(ب) تيار الذروة المار فيه خلال عملية التسخين.  
الحل:

$$i_{rms} = \frac{\bar{P}}{V_{rms}} = \frac{1000}{220} = 4.545 \text{ A} \quad (أ)$$

$$R = \frac{V_{rms}}{i_{rms}} = \frac{220}{4.545} = 48.4 \Omega$$

$$\begin{aligned} i_0 &= \sqrt{2} i_{rms} \\ &= \sqrt{2} \times 4.545 = 6.428 \text{ A} \end{aligned} \quad (ب)$$

#### ■ مثال (2-12)

اثبت أنَّ قيمة ج.م.م للتيار أو الجهد المتعدد تُعطى بالمعادلتين (12-6) و (7-12) على الترتيب.  
الحل:

لإيجاد قيمة ج.م.م لأي جهد (أو تيار متعدد) فلابدنا نكامل مربع قيمته خلال زمن دوري واحد

على النحو التالي:  $T = \frac{2\pi}{\omega}$

$$(9-12) \quad V_{rms} = \left[ \frac{\int_0^T V^2 dt}{\int_0^T dt} \right]^{1/2} = \left[ \frac{\int_0^T V_0^2 \sin^2 \omega t dt}{\int_0^T dt} \right]^{1/2}$$

$$= V_0 \left[ \frac{\int_0^T \sin^2 \omega t dt}{T} \right]^{1/2}$$

وباستخدام العلاقة المثلثية  $\sin^2 \omega t = \frac{1}{2}[1 - \cos(2\omega t)]$  نجد أن:

$$V_{rms} = V_0 \left[ \frac{\frac{1}{2} \int_0^T (1 - \cos 2\omega t) dt}{T} \right]^{1/2}$$

$$= V_0 \left[ \frac{\frac{1}{2}(T) - \left( \frac{\sin 2\omega T}{2\omega} \right)}{T} \right]^{1/2}$$

$$= V_0 \left[ \frac{1}{2} - \frac{1}{T(2\omega)} (\sin 2\omega T - \sin 0) \right]^{1/2}$$

$$2\omega T = 2\omega \times \frac{2\pi}{\omega} = 4\pi$$

$$\sin(2\omega T) = \sin 4\pi = 0$$

وحيث أن:

فإن:

نستنتج مما تقدم أن:

$$V_{rms} = \frac{1}{\sqrt{2}} V_0$$

وبنفس الطريقة يمكن البرهنة على أن:

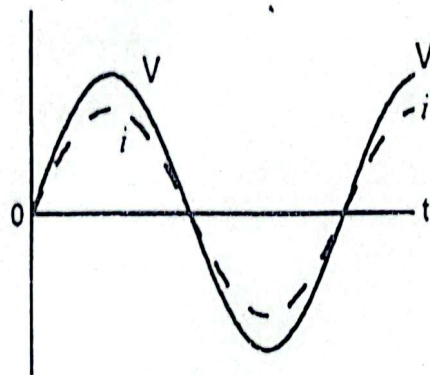
$$I_{rms} = \frac{1}{\sqrt{2}} i_0$$

في مناقشتنا أنفه الذكر لدارة التيار المتردد التي تحتوي على مصدر جهد متعدد ومقاومة، أشارنا إلى أن فرق الجهد بين طرفي المقاومة والتيار المار فيها يتغيران مع الزمن كما في المعادلين (1-12) و (3-12) التاليين:

$$V = V_0 \sin \omega t$$

$$i = i_0 \sin \omega t$$

وهذا يعني أن الجهد والتيار يصلان إلى القيمة العظمى لكل منها معا في لحظة زمنية واحدة وينخفضان إلى القيمة الصغرى لكل منها في لحظة زمنية واحدة أخرى، فالجهد والتيار يتغيران معا في طور (phase) واحد في الدارة ونقول لهما متداهن في الطور (in phase)، أي أن الاختلاف في زاوية الطور (phase angle) بينهما يساوي صفراء، وبين الشكل (3-12) تغير الجهد والتيار مع الزمن، حيث يمثل المنحنى المتصل الجهد في حين يمثل المنحنى المتقطع التيار في الدارة.



الشكل (3-12)

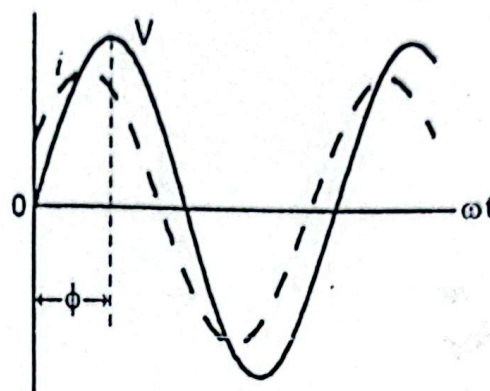
وتحتاج زاوية الطور بين الجهد والتيار إذا أدخلنا في الدارة عناصر أخرى غير المقاومة، لذلك فإننا نعيد كتابة المعادلين السابقتين لتمثيل الحالة العامة لدورات التيار المتردد والتي قد لا يكون التيار فيها متداهن في الطور مع الجهد:

$$(10-12) \quad V = V_0 \sin \omega t$$

$$i = i_0 \sin (\omega t + \phi)$$

حيث يمثل الزاوية  $\phi$  الاختلاف في الطور بين الموجة الممثلة للجهد وتلك الممثلة للتيار، وتساوي قيمة  $\phi$  في الدارات المحतوية على مقاومة فقط (بالإضافة إلى مصدر الجهد المتردد) صفراء كما تقدم، أما في الدارات الأخرى التي تحتوي على مكثف أو ملف فإن زاوية الطور هذه قيمة أخرى كما سترى في البند اللاحق.

وبين الشكل (4-12) العلاقة بين التيار والجهد عند وجود اختلاف في الطور  $\phi$  بينهما كما في المعادلة (10-12). وتلاحظ أن الشكل (4-12) يصبح مشابهاً للشكل (3-12) إذا جعلنا زاوية الطور  $\phi$  بينهما



(الشكل 4-12)

هناك اختلاف في الطور بين التيار والجهد في دارات التيار المتردد. وللتعبير عن ذلك فإن الجهد وشدة التيار يكتابان بشكل عام على الصيغة التالية:

$$V = V_0 \sin \omega t$$

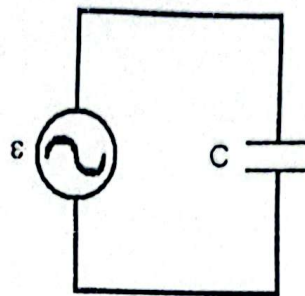
$$i = i_0 \sin (\omega t + \phi)$$

حيث  $\phi$  هي زاوية الاختلاف في الطور بين  $V$  و  $i$

### □ 12-3 دارة التيار المتردد المحتوية على مكثف

عند توصيل مكثف  $C$  إلى بطارية أو إلى مصدر قوة دافعة كهربائية مباشرة ( $dc$ ) فإن صفيحتي المكثف تشخنان تربيجاً بشحنتين متساويتين بالمقدار ومتضادتين في النوع إلى أن يصبح فرق الجهد الناتج عن هاتين الشحنتين مساوياً تماماً لجهد البطارية  $E$  أو لجهد مصدر القوة الدافعة الكهربائية حيث يتوقف انتقال الشحنات وينعدم وبالتالي التيار الكهربائي المار في الدارة. ولذلك يمنع المكثف التيار الكهربائي من السريان بشكل مستمر وثبتت خلال الدارة. أما إذا وصل نفس المكثف إلى مصدر قوة دافعة كهربائية يعطي تياراً متزدراً، (يرمز لمصدر القوة الدافعة الكهربائية المترددة وفقاً لاقتران جيبى بدائرة وبداخلها موجة جيبية) كما في الشكل (12-5)، فإن تياراً متزدراً يسري في الدارة بشكل متزدد، وسبب ذلك أن الشحنات تبدأ بالسريان إلى صفيحتي المكثف عند توصيل الدارة باتجاه معين يؤدي إلى شحن إحدى صفيحتيه بشحنة موجبة والأخرى بشحنة سالبة، وقبل أن يتم شحن المكثف تماماً ينعكس اتجاه الجهد لمصدر القوة الدافعة المترددة ويؤدي إلى سريان الشحنات بالاتجاه المضاد، وهذا دوالياً. مما يؤدي إلى استمرار سريان التيار المتردد في الدارة تحت تأثير الجهد المتردد. ولمعرفة العلاقة بين التيار والجهد في الدارة المبينة في الشكل (12-5) نطبق قانون المسار المغلق لکيرشوف على النحو

$$\epsilon - \frac{q}{C} = 0$$



(5-12)

ونعرض عن  $\epsilon$  من المعادلة (1-12) على النحو التالي:

(11-12)

$$\epsilon_{\max} \sin \omega t = \frac{q}{C}$$

ثم نناسب المعادلة (11-12) بالنسبة للزمن، فينتج أن:

$$\epsilon_{\max} \omega \cos \omega t = \frac{1}{C} \frac{dq}{dt} = \frac{i}{C}$$

أي أن:

(12-12)

$$i = \epsilon_{\max} \omega C \cos \omega t$$

ويمكن إعادة كتابة المعادلة (12-12) على النحو التالي:

(13-12)

$$i = \frac{\epsilon_{\max}}{X_C} \sin \left( \omega t + \frac{\pi}{2} \right) = i_{\max} \sin \left( \omega t + \frac{\pi}{2} \right)$$

حيث استخدمنا العلاقة:

(14-12)

$$\cos \omega t = \sin \left( \omega t + \frac{\pi}{2} \right)$$

والثابت

(15-12)

$$X_C = \frac{1}{\omega C}$$

ويطلق على  $X_C$  اسم المقاومة السعوية للمكثف (capacitive reactance).

يبين الشكل (6-12) التغير الجهد والتيار مع الزمن للدارة المبينة في الشكل (5-5)، حيث يمثل المنحنى المتصل الجهد  $V$

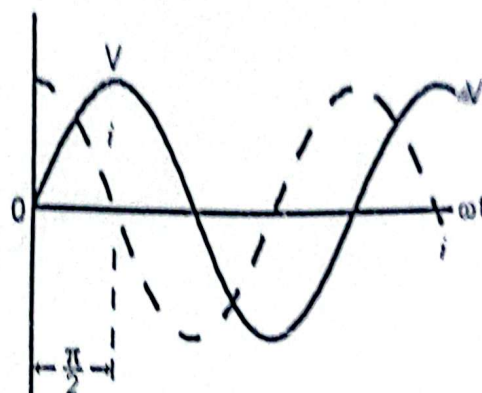
في حين يمثل المنحنى المتقطع التيار  $i$ . وتلاحظ من المعادلة (12-13) ومن الشكل (6-6) أن التيار

يسبق الجهد بمقدار  $90^\circ$  (أو  $\pi/2$ ). أي أن زاوية اختلاف الطور  $\phi$  تساوي  $90^\circ$  في هذه الحالة. وبدل

هذا على أن القيمة المطلقة للتيار المار في المكثف تكون أكبر ما يمكن عندما يكون فرق الجهد بين

صفائحه صفرًا، وأن التيار يصبح صفرًا عندما تبلغ القيمة المطلقة لفرق الجهد بين صفائحه أكبر ما

يمكن، مع ملاحظة أن التيار يسقي الجهد في الطور بمقدار  $\pi/2$ .



الشكل (6-12)

وتشب المقاومة السعوية للمكثف  $C$  في دارة التيار المتردد المحظوظ على مكثف لتس الدور الذي تلعبه المقاومة، إلا أن المقاومة تربط بين التيار وفرق الجهد في زمدين مختلفين، ووحدة المقاولة هي الأرم. ويتبين من المعادلة (12-15) أن مقاولة المكثف تكون كبيرة للتيارات ذات الترددات المنخفضة وتكون صغيرة للتيارات ذات الترددات المرتفعة.

وعندما تؤول  $\omega$  إلى الصفر، فإننا نتعامل عددا مع جهد مستمر غير متعدد، وبالتالي بعدم مرور التيار في الدارة، إذ أن مقاولته تصبح لايهالية.

زاوية اختلاف الطور بين التيار والجهد في دارة شحن مكثف باستخدام تيار متردد تساوي

$$90^\circ$$

$$\text{تُسمى النسبة } \frac{1}{\omega C} \text{ في دارة تحوي مكثلاً مقاولة السعوية للمكثف.}$$

وحدة قياس مقاولة المكثف هي الأرم ( $\Omega$ )

### مثال (3-12)

وصل مكثف مواصفاته  $F = 60$  إلى مصدر جهد متردد تردد  $Hz = 50$  وج.م.م له  $V = 220$ . احسب:

(أ) جهد الذروة للمصدر. (ب) مقاولة المكثف السعوية. (ج) أكبر قيمة للتيار المار في الدارة. (د) التيار

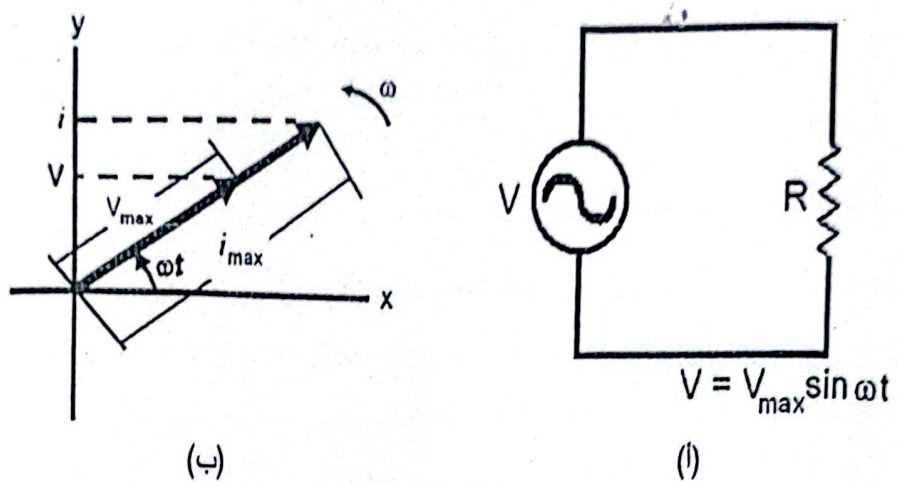
المار في الدارة في لجة لحظة زمانية  $t$ .

الحل:

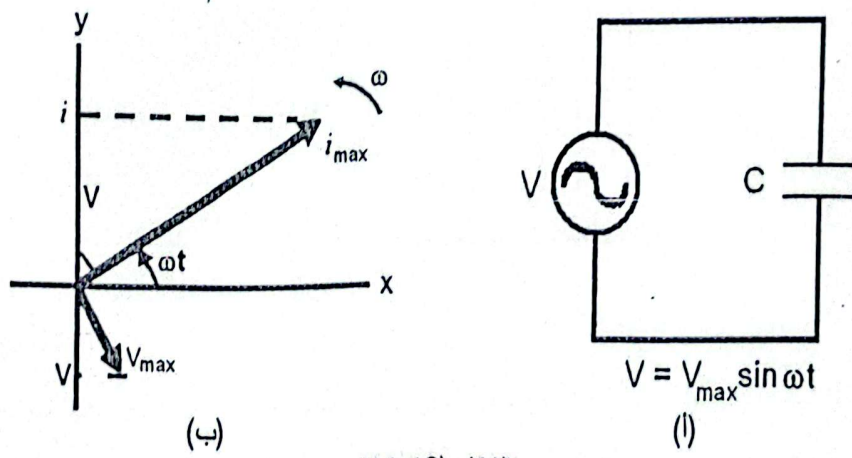
(أ) نحسب جهد الذروة  $V_0$  للمصدر من المعادلة (7-12)، كما يلي:

$$V_0 = \sqrt{2} V_{rms} = \sqrt{2} \times 220 = 311.13 \text{ Volt}$$

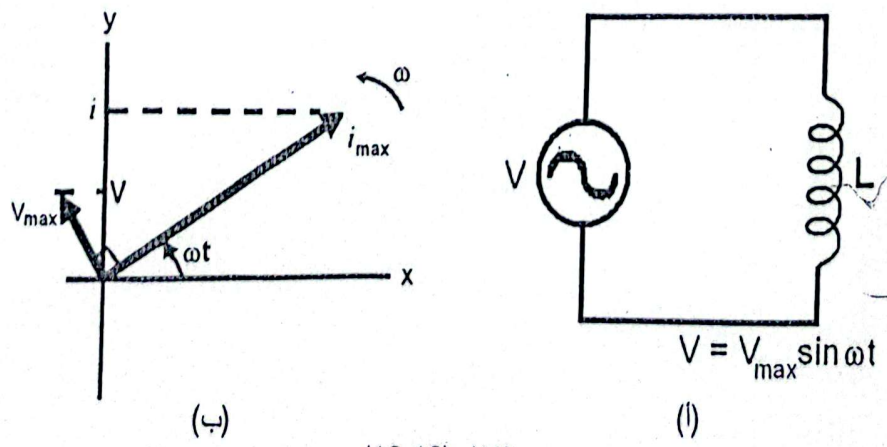
الطور العصيل للدارة. ونلاحظ أن مطوار الجهد هنا يسبق مطوار التيار بمقدار  $90^\circ$ . وبمقارنة الشكل 11-12 بـ (ب) مع الشكل (12-12 ب) نلاحظ أن جهد البحث مختلف عن جهد المكثف في الطور بمقدار  $180^\circ$  (أي نصف دورة).



الشكل (10-12)



الشكل (11-12)



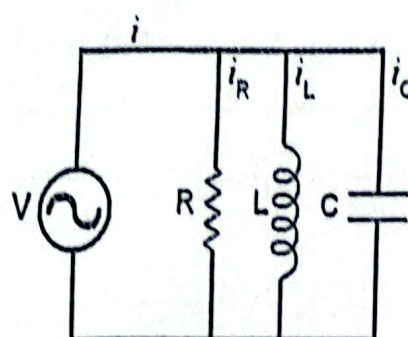
الشكل (12-12)

تُستخدم المبطوارات وهي موجات من نوع خاص للتعامل مع الافتراضات الدورية التي يوجد بينها اختلافات في الطور.

ومن أشهر استخداماتها حساب شدة الضوء الناتجة عن تداخل أمواج الضوء بعد تعرضها لعالق في طريقة أبعاد قريبة من طول موجة الضوء الساقط.

## □ 6-12 دارة RLC على التوازي

يبين الشكل (13-12) دارة تحتوي على مقاومة  $R$  ومحكث  $L$  متصلة على التوازي مع مصدر جهد متعدد  $V$ . يتجزأ التيار  $i$  الخارج من المصدر في لحظة ما إلى ثلاثة أجزاء هي  $i_R$  و  $i_C$  و  $i_L$ ، وتفر هذه التيارات في المقاومة  $R$  والمحكم  $C$  والمحكم  $L$  على الترتيب، حيث أن:



الشكل (13-12)

$$(22-12) \quad i = i_R + i_C + i_L$$

وبما أن العناصر الثلاثة متصلة على التوازي إلى نفس مصدر الجهد المتعدد  $V$ ، فإنه يمكن حساب التيارات  $i_R$  و  $i_C$  و  $i_L$  من المعادلات (3-12) و (12-13) و (12-18) على الترتيب، وعلى النحو التالي:

$$(23-12) \quad i_R = \frac{V_{\max}}{R} \sin \omega t$$

$$(24-12) \quad i_C = \frac{V_{\max}}{(1/\omega C)} \sin \left( \omega t + \frac{\pi}{2} \right)$$

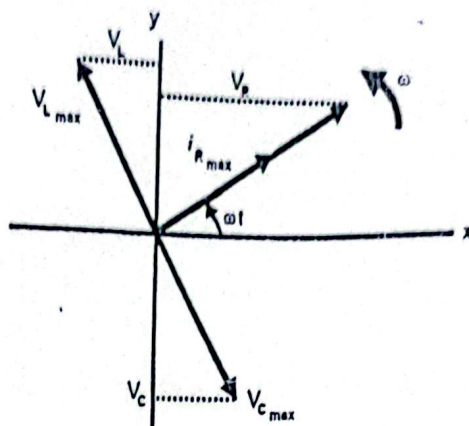
$$(25-12) \quad i_L = \frac{V_{\max}}{\omega L} \sin \left( \omega t - \frac{\pi}{2} \right)$$

وبالتعریض في المعادلة (22-12) فإن التيار الكلي في الدارة يعطى بالمعادلة:

$$(26-12) \quad i = V_{\max} \left[ \frac{1}{R} \sin \omega t + \omega C \sin \left( \omega t + \frac{\pi}{2} \right) + \frac{1}{\omega L} \sin \left( \omega t - \frac{\pi}{2} \right) \right]$$

ويمكن حل المعادلة (26-12) والحصول على أكبر قيمة التيار  $i$  باستخدام مختلط المبطوار للدارة.

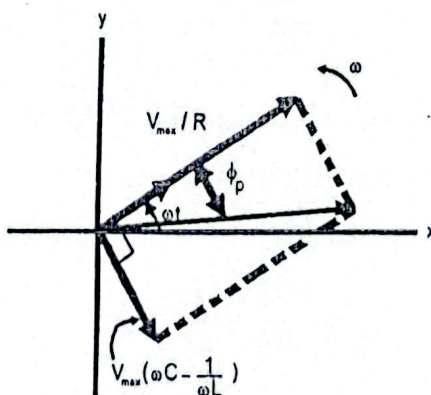
انظر الشكل (14-12).



الشكل (14-12)

وبما أن زاوية الطور بين  $i_C$  و  $i_R$  تساوي  $\pi$  من الزوايا نصف القطرية ( $180^\circ$ )، فإن  $V_{max}\omega C$  و  $V_{max}/\omega L$  يكونان متعاكسين في مخطط المتطوار للدارة. وبالتالي يكون التيار المحصل  $V_{max}/R$  متزامناً مع التيار  $V_{max}/R$  المار في المقاومة ويكون معه ضلعي مثلث قائم الزاوية، كما في الشكل (15-12).

وعليه يعطى القيمة العظمى للتيار الكلي في الدارة  $i_{max}$  بالمعادلة:



الشكل (15-12)

$$i_{max} = \sqrt{\left(V_{max} \omega C - \frac{V_{max}}{\omega L}\right)^2 + \left(\frac{V_{max}}{R}\right)^2}$$

وبعد التبسيط فإن:

$$(27-12) \quad i_{max} = V_{max} \sqrt{\left(\omega C - \frac{1}{\omega L}\right)^2 + \left(\frac{1}{R}\right)^2}$$

(28-12)

$$i_{\max} = \frac{V_{\max}}{Z_p}$$

أو  
حيث

(29-12)

$$Z_p = \frac{1}{\sqrt{\left(\omega C - \frac{1}{\omega L}\right)^2 + \left(\frac{1}{R}\right)^2}}$$

وتعزى  $Z_p$  باسم الممانعة الكلية (total impedance) للدارة، ويبدل الرمز الدليلي السفلي  $p$  على كونها ممانعة دارة توازي (parallel circuit). وتكون الممانعة من مقاومة (reactance) ومقارمة (resistance) ووحداتها الأوم. وتكون ممانعة دارة التوازي أكبر ما يمكن عندما تتساوى مقاولة الملف الحثية مع مقاولة المكثف السعوية في المقدار، وذلك عندما يتحقق التردد الزاوي  $\omega$  لمصدر الجهد العلاقة:

(30-12)

$$\omega_0 C - \frac{1}{\omega_0 L} = 0$$

أي عند التردد  $\omega_0$  الذي يعطى قيمته بالمعادلة التالية:

(31-12)

$$\omega_0 = \frac{1}{\sqrt{LC}}$$

ويعرف هذا التردد  $\omega_0$  (ويُستخدم أحياناً الرمز  $\omega_{\text{res}}$ ) الذي تكون عنده الممانعة  $Z_p$  أكبر ما يمكن باسم تردد الرنين (resonance frequency) للدارة. ومن المعادلين (12-2) و (12-3) فإنه يمكن حساب تردد الرنين  $f_0$  بالهيرتز، كما يلي:

(32-12)

$$f_0 = \frac{\omega_0}{2\pi} = \frac{1}{2\pi} \frac{1}{\sqrt{LC}}$$

وبما أن الممانعة تكون أكبر ما يمكن عند تردد الرنين للدارة فإنّ التيار  $i_{\max}$  يكون أصغر ما يمكن عند هذا التردد. وعند هذا التردد لا يكون التياران في  $L$  و  $C$  مختلفين في الطور بمقدار نصف دورة نسب، ولكن يكون لهما نفس المقدار تماماً. لذلك يلغى هذان التياران بعضهما بعضاً، ويصبح التيار الكلي في الدارة مساوياً للتيار المار في المقاومة  $R$  فقط. أما إذا كانت الدارة لا تحتوي على مقاومة (أي إذا كانت  $\infty = R$ ) وكانت  $X_L = X_C$  فإن ممانعة الدارة تصبح لانهائية ( $Z_p \rightarrow \infty$ )، مما يجعل التيار المسحوب من مصدر الجهد المتردد عند الرنين يساوي صفرًا.

ويُعطي الحل الكامل للتيار في آية لحظة زمنية  $t$  بالمعادلة:

(33-12)

$$i = \frac{V_{\max}}{Z_p} \sin(\omega t - \phi_p)$$

$$i = 0 \\ Z_p \rightarrow \infty$$

دارة RLC على التوازي دارة رنين.

$$Z_p = \frac{1}{\sqrt{\left(\omega C - \frac{1}{\omega L}\right)^2 + \left(\frac{1}{R}\right)^2}}$$

تُعرف معاوقة دارة RLC على التوازي بالعلاقة:

تكون المعاوقة  $Z_p$  أكبر ما يمكن، وبالتالي يكون التيار المار في الدارة أصغر مما يمكن عندما

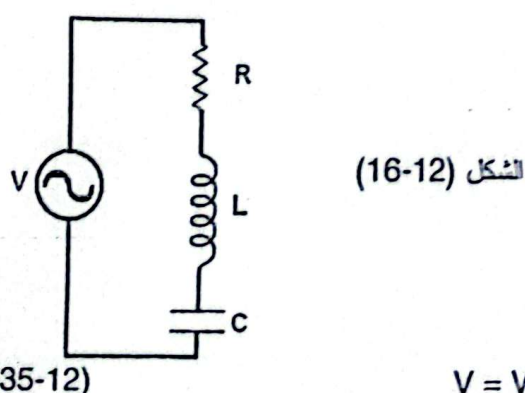
$$\omega C - \frac{1}{\omega L} = 0$$

يتحقق الشرط:

ويسمى التردد الزاوي الذي يتحقق عنده الشرط السابق تردد الرنين للدارة ويرمز له بالرمز

$$\omega_0 = \frac{1}{\sqrt{LC}} \quad (\text{أو } \omega_{res}) \quad \text{ويعطى بالعلاقة:}$$

### □ 7-12 دارة RLC على التوالى



يبين الشكل (16-12) دارة تحتوى على مقاومة  $R$  ومحث  $L$  ومكثف  $C$  متصلة على التوالى مع مصدر جهد متعدد  $V$ . يتجزأ الجهد الكلى  $V$  في الدارة على عناصرها الثلاثة أى أن:

$$V = V_R + V_L + V_C$$

حيث تُمثل  $V_R$  و  $V_L$  و  $V_C$  القيم اللحظية للجهد عبر المقاومة والبحث والمكثف على الترتيب، في اللحظة الزمنية  $t$ . ويجب أن لا ننسى أن التيار والجهد في الدارة غير مت الدين في الطور في العناصر الثلاثة، فالتيار يسبق الجهد في المكثف ويختلف عنه في البحث، لذلك فإن فروق الجهد في المعادلة (35-12) لا تجمع جماعاً بسيطاً. وكذلك فإن مجموع القيم العظمى لفروق الجهد بين طرفي كل من العناصر الثلاثة  $V_{R_{max}}$  و  $V_{L_{max}}$  و  $V_{C_{max}}$  على الترتيب، لا يساوى القيمة العظمى لجهد المصدر. ولإيجاد التيار المار في الدارة في لحظة زمنية  $t$  نستخدم مخطط المطور للدارة، كما في الشكل (17-12).

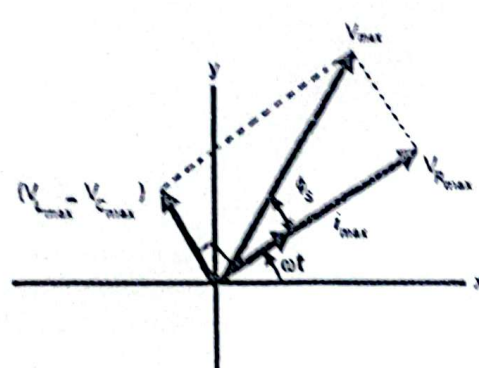
وكما هي الحال في دارة RLC على التوازي، نلاحظ أن تيار المكثف يسبق تيار البحث بمقدار نصف

دوره ( $180^\circ$ ). لذلك نستمد مخطط المطرار ليصبح على النحو المبين في الشكل (18-12). وننبع من الشكل (18-12) أن القراءة العظمى لجهد المصدر  $V_{max}$  ترتبط مع مخلصة جهدى المحاث والمكثف ومع جهد المقاومة بالعلاقة التالية:

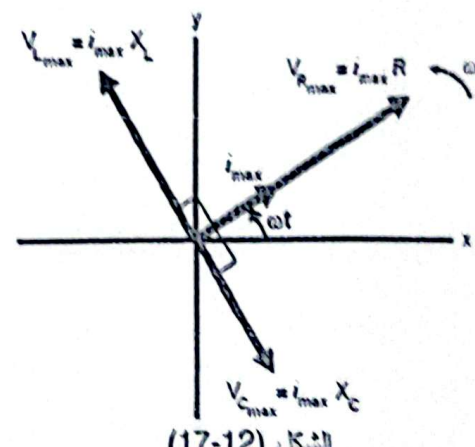
$$(36-12) \quad V_{max} = \sqrt{V_{R_{max}}^2 + (V_{L_{max}} - V_{C_{max}})^2}$$

$$= \sqrt{i_{max}^2 R^2 + (i_{max} X_L - i_{max} X_C)^2}$$

$$= i_{max} \sqrt{R^2 + (X_L - X_C)^2}$$



الشكل (18-12)



الشكل (17-12)

(37-12)  $V_{max} = i_{max} Z_s$  او حيث تُعطى الممانعة  $Z_s$  لدارة RLC على التوالى بالمعادلة:

$$(38-12) \quad Z_s = \sqrt{R^2 + (X_L - X_C)^2}$$

ويدل الرمز الدليلي الثنائى  $S$  في المعادلة السابقة على أن الممانعة هي لدارة توالى وأما زاوية المطور  $\phi$  بين تيار الدارة وجهد المصدر فتُعطى بالمعادلة:

$$\phi_s = \tan^{-1} \left( \frac{V_{L_{max}} - V_{C_{max}}}{V_{R_{max}}} \right)$$

وبالتبسيط نجد أن:

$$(39-12) \quad \phi_s = \tan^{-1} \left( \frac{X_L - X_C}{R} \right)$$

كما يمكن حساب زاوية المطور  $\phi_s$  وفقاً للشكل (18-12) على النحو التالي:

$$(40-12) \quad \phi_s = \cos^{-1} \left( \frac{R}{Z_s} \right)$$

مما تقدم فإن التيار الكلى المار في الدارة يُعطى بالمعادلة:

(41-12)  $i = i_{\max} \sin(\omega t - \phi_s)$   
 حيث يعطى  $i_{\max}$  و  $\phi_s$  بالمعادلتين (37-12) و (39-12) على الترتيب.  
 ويكون التيار والجهد مختفين في الطور، إلا إذا كانت:

(42-12)  $X_L - X_C = 0$   
 حيث تدل المعادلة (39-12) على أن  $\phi_s = 0$  في هذه الحالة. ويطلق على التردد  $\omega_0$  الذي يتحقق المعادلة (42-12) اسم تردد الرنين للدارة (resonance frequency). ويمكن حساب تردد الرنين هذا من المعادلة (42-12) على النحو الآتي:

$$\omega_0 L - \frac{1}{\omega_0 C} = 0$$

أي أن:

(43-12)  $\omega_0 = \frac{1}{\sqrt{LC}}$   
 وتلاحظ من المعادلتين (31-12) و (43-12) أن زاوية الطور بين التيار والجهد تصبح صفرًا في دارتي RLC على التوازي وعلى التوازي فقط عند تردد الرنين  $\omega_0$ . كما تلاحظ أن تردد الرنين يعطي بنفس العلاقة في الدارتين.

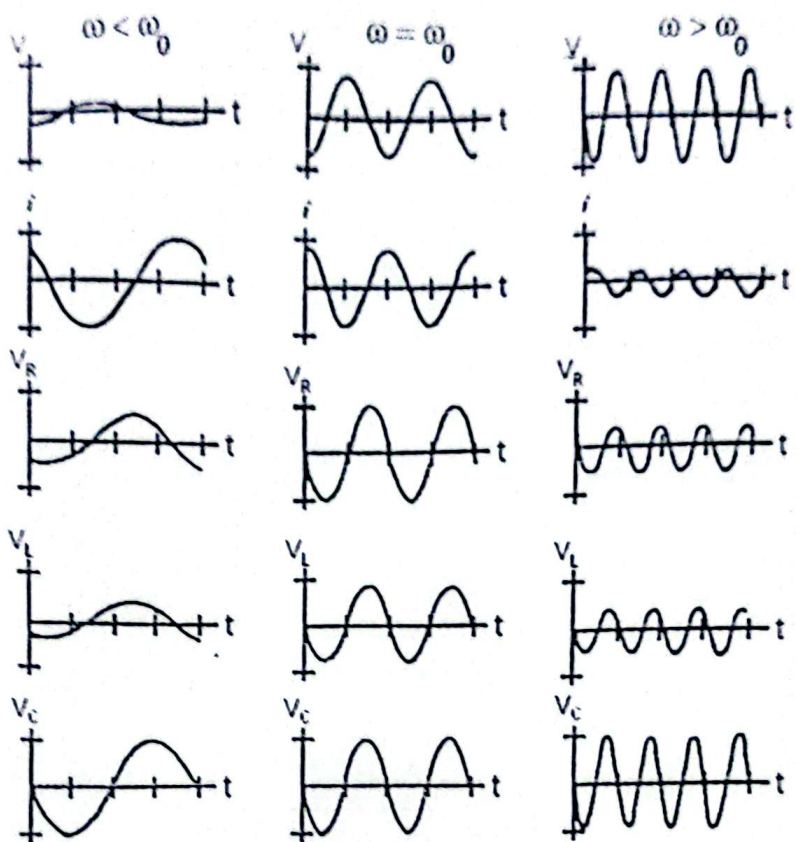
ويتضح من المعادلة (38-12) أن ممانعة دارة RLC على التوازي تصبح مسامية للمقاومة R عند تردد الرنين، أي أن:

(44-12)  $Z_s = R ; \left( \omega_0 = \frac{1}{\sqrt{LC}} \right)$   
 وإذا كانت الدارة خالية من المقاومة R، أي تحتوي على L و C فقط (أي أن  $R = 0$ )، فإن الممانعة تتعدم كلها ويصبح التيار المار في الدارة لانهائيًا. وبالطبع لا يتحقق هذا الوضع عمليا حتى لو انعدمت المقاومة R أو أزيلت من الدارة ولم يبق سوى L و C فقط لأن الملف مقاومته الخاصة والثابتة والناتجة عن مادة السلك المصنوع منه. لذلك من الأصح أن نقول بأن التيار يصبح أكبر ما يمكن إذا حقق تردده المعادلة (43-12). وهذا عكس الوضع في دارة RLC على التوازي حيث كان التيار هناك أصغر ما يمكن عندما حقق تردده المعادلة (31-12). ولنخسم ما تقدم بالقول أنه عندما يكون تردد دارة RLC مساوياً لتردد الرنين لها، أي إذا كان  $\omega_0 = \omega$ ، فإن:

في حالة التوازي  $Z_p \rightarrow 0 ; i \rightarrow \infty$

في حالة التوازي  $Z_s \rightarrow 0 ; i \rightarrow \infty$

ويمكن تمثيل تغير التيار وفرق الجهد بين طرفي كل من عناصر دارة RLC الثلاثة بيانياً كما في الشكل (19-12) وفقاً للمعادلات التالية:

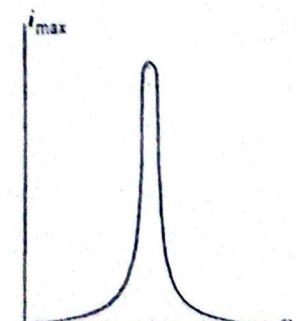


الشكل (19-12)

$$(45-12) \quad V_R = iR = \left( \frac{V_{max} R}{Z_s} \right) \sin(\omega t - \phi_s)$$

$$(46-12) \quad V_L = L \frac{di}{dt} = \left( \frac{V_{max} \omega L}{Z_s} \right) \sin\left(\omega t - \phi_s + \frac{\pi}{2}\right)$$

$$(47-12) \quad V_C = \frac{q}{C} = \left( \frac{V_{max}}{\omega C Z_s} \right) \sin\left(\omega t - \phi_s - \frac{\pi}{2}\right)$$



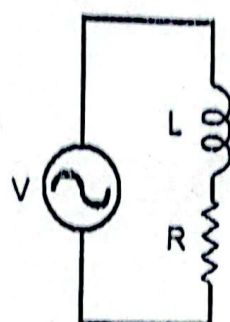
الشكل (20-12)

ويبين الشكل (20-12) اعتماد القيمة العظمى للتيار على التردد الزاوي  $\omega$  لدارة RLC على التوالى المبينة في الشكل (12-16)، حيث تلاحظ أن التيار المار في الدارة يكون أكبر ما يمكن عندما يكون تردد مساوياً لتردد الرنين للدارة.

### مثال (6-12)

وصل ملف محاته  $20 \text{ mH}$  و مقاومته  $0.1 \Omega$  إلى مصدر جهد متعدد القيم العظمى الجهد  $16 \text{ V}$  و تردد  $50 \text{ Hz}$ . احسب: (أ) القيمة العظمى للتيار المار في الملف، (ب) زاوية الطور بين التيار والجهد في الدارة.

الحل:



الشكل (21-12)

لحل المسألة يمكن تمثيل الملف كما لو كان مختصاً محاته  $20 \text{ mH}$  متصلًا على التوالي مع مقاومة قدرها  $0.1 \Omega$  إلى مصدر الجهد المتعدد، كما في الشكل (21-12).

(1)

$$\begin{aligned} Z_s &= \sqrt{R^2 + (\omega L)^2} \\ &= \sqrt{(0.1)^2 + (2\pi \times 50 \times 20 \times 10^{-3})^2} \\ &= 6.28 \Omega \end{aligned}$$

وبنطبيق المعادلة (37-12) يمكن حساب القيمة العظمى للتيار على النحو التالي:

$$I_{\max} = \frac{V_{\max}}{Z_s} = \frac{16}{6.28} = 2.55 \text{ A}$$

(ب) يمكن حساب زاوية الطور  $\phi$  من المعادلة (12-40)، على النحو التالي:

$$\begin{aligned} \phi_s &= \cos^{-1} \left[ \frac{R}{Z_s} \right] \\ &= \cos^{-1} \left[ \frac{0.1}{6.28} \right] \equiv 89^\circ \end{aligned}$$

### مثال (7-12)

كم يجب أن تغير تردد التيار في دارة (رنين)  $RLC$  على التوالي لكي تصبح قيمة التيار العظمى مساوية لنصف قيمتها عند تردد الرنين؟

الحل:

كما يتضح من الشكل (12-20)، فإن المسألة حلية عند تردد  $\omega_0$  أقل من  $\omega_0$  و عند تردد  $\omega_+$  أكبر من

(ج) حيث يكون:

$$I_{\max}(\omega_-) = I_{\max}(\omega_+) = \frac{I_{\max}(\omega_0)}{2}$$

وباستخدام المعادلين (37-12) و (38-12) فإن:

$$\frac{V_{\max}}{\sqrt{R^2 + [(1/\omega_{\pm}C) - \omega_{\pm}L]^2}} = \frac{1}{2} \frac{V_{\max}}{R}$$

حيث يمثل الطرف الأيمن للمعادلة السابقة التيار في حالة الرنين. أي عند تردد  $\omega_0$  ( $Z_s = R$ )

والحصول على قيمة  $\omega_{\pm}$  نربع طرف المعادلة ونعيد ترتيب الحدود فنجد أن:

$$[(1/\omega_{\pm}C) - \omega_{\pm}L]^2 = 3R^2$$

وبأخذ الجذر التربيعي للمعادلة السابقة وإعادة ترتيب الحدود، نستنتج أن:

$$\omega_{\pm}^2 - \omega_0^2 = \pm \sqrt{3} \frac{R}{L} \omega_{\pm}$$

حيث عرضنا عن  $\omega_0$  في المعادلة السابقة بما يساويها ( $\omega_0 = \frac{1}{\sqrt{LC}}$ ). وبما أن الرنين يكون حاد

القيمة حول  $\omega_0$  كما في الشكل (20-12)، فبالتالي نستطيع تقرير  $\omega_{\pm}$  ووضعها متساوية للتردد  $\omega_0$  في الطرف الأيمن من المعادلة السابقة، وإعادة كتابتها لتصبح على النحو التالي:

$$\omega_{\pm}^2 - \omega_0^2 = (\omega_{\pm} - \omega_0)(\omega_{\pm} + \omega_0) \approx (\omega_{\pm} - \omega_0)(2\omega_0)$$

أي أن:

$$\omega_{\pm} - \omega_0 \approx \pm \frac{\sqrt{3} \frac{R}{L} \omega_0}{2\omega_0} = \pm \frac{\sqrt{3}}{2} \frac{R}{L}$$

نستنتج مما تقدم بأنه يلزم زيادة أو نقصان تردد التيار بمقدار  $(\sqrt{3}R/2L)$  حول تردد الرنين  $\omega_0$  للحصول على قيمة التيار المطلوب.

### مثال (8-12)

افترض أن  $R = 10 \Omega$  و  $L = 30 \text{ mH}$  و  $C = 15 \mu F$  في دارة RLC على التوالي وأن قيمة ج.م.م للمصدر تساوي  $V = 60 \text{ V}$  وتردده  $f = 900 \text{ Hz}$ . ثم احسب: (أ) المفاعة الحثية والمفاعة السعوية في الدارة. (ب) قيمة تيار الذروة في الدارة. (ج) القيمة العظمى لجهد بين طرفي كل عنصر من عناصر الدارة. (د) زاوية الطور  $\phi$ .

الحل:

$$X_L = 2\pi f L = 2 \times 3.14 \times 900 \times 30 \times 10^{-3} \quad \text{حساب } X_L \text{ (أ)}$$

$$= 169.56 \Omega$$

$$X_C = \frac{1}{2\pi f C} = \frac{1}{2 \times 3.14 \times 900 \times 15 \times 10^{-6}} \quad \text{حساب } X_C$$

$$= 11.8 \Omega$$

$$Z_s = \sqrt{R^2 + (X_L - X_C)^2} \quad \text{حساب } Z_s \text{ (ب)}$$

$$= \sqrt{(10)^2 + (169.56 - 11.8)^2} = 158.1 \Omega$$

$$\therefore i_{\max} = \frac{V_{\max}}{Z_s} = \frac{\sqrt{2} V_{\text{rms}}}{Z_s} = \frac{\sqrt{2} \times 60}{158.1} = 0.54 \text{ A}$$

$$V_{R_{\max}} = i_{\max} R = 0.54 \times 10 = 5.40 \text{ V} \quad (\rightarrow)$$

$$V_{L_{\max}} = i_{\max} X_L = 0.54 \times 169.56 = 91.56 \text{ V}$$

$$V_{C_{\max}} = i_{\max} X_C = 0.54 \times 11.80 = 6.37 \text{ V}$$

(د) بتطبيق المعادلة (12-39) نجد أن:

$$\begin{aligned} \phi_s &= \tan^{-1} \left( \frac{X_L - X_C}{R} \right) = \tan^{-1} \left( \frac{169.56 - 11.80}{10} \right) \\ &= \tan^{-1}(15.79) = 86.4^\circ \end{aligned}$$

## □ 8-12 القدرة في دارات التيار المتردد

ناقشنا في البند (12-2) اعتماد القدرة الكهربائية على التيار والجهد في دارة التيار المتردد المحظوظة على مصدر جهد ومقاومة وبينا طريقة حسابها باستخدام قيمتي ج.م.م للتيار والجهد أو القيمة الفعلية لهما. وننتقل في هذا الجزء الأخير من الفصل لحساب القدرة الكهربائية بشكل عام، ولإيجاد العلاقة بينها وبين زاوية اختلاف الطور بين التيار والجهد المترددين.

يمكن حساب القدرة لدارة التيار المتردد بشكل عام باستخدام المعادلين (12-1) و (12-10) للجهد والتيار في الدارة، على الترتيب، وذلك على النحو التالي:

$$(48-12) \quad P = \epsilon i = \epsilon_{\max} i_{\max} \sin \omega t \sin(\omega t + \phi)$$

وباستخدام العلاقة المثلثية:

$$(49-12) \quad \sin(A + B) = \sin A \cos B + \cos A \sin B$$

فإننا نستطيع إعادة كتابة المعادلة (48-12) كما يلي:

(50)

(50-12)

$$P = P_{\max} \sin \phi (\sin \omega t \cos \phi + \cos \omega t \sin \phi)$$

(51)

(51-12)

$$P_{\max} = E_{\max} I_{\max}$$

وباستخدام العلاقة المثلثية

(52)

(52-12)

$$\sin 2A = 2 \sin A \cos A$$

(53)

(الـ)

لتبسيط المعادلة (50-12) نستنتج أن:

$$P = P_{\max} \left[ \sin^2 \omega t \cos \phi + \frac{1}{2} \sin 2\omega t \sin \phi \right]$$

وباستخدام العلاقة المثلثية:

(54)

(53-12)

$$\cos 2A = 1 - 2 \sin^2 A$$

(55)

نجد أن:

$$P = P_{\max} \left[ \frac{1}{2} (1 - \cos 2\omega t) \cos \phi + \frac{1}{2} (\sin 2\omega t \sin \phi) \right]$$

وبإعادة ترتيب الحدود فإن القدرة في أي لحظة تُعطى بالمعادلة:

(54-12)

$$P = \frac{1}{2} P_{\max} [\cos \phi - (\cos 2\omega t \cos \phi - \sin 2\omega t \sin \phi)]$$

و عند حساب القيمة الفعالة أو المتوسطة للقدرة من المعادلة (54-12) فإن الحدين الثاني والثالث في الطرف الأيمن يساويان صفرًا لاحتوائهما على  $\cos 2\omega t$  و  $\sin 2\omega t$ ، إذ أن القيمة المتوسطة لكل من هذين الحدين تساوي صفرًا. لذلك فإن القيمة المتوسطة للقدرة تُعطى بالمعادلة التالية:

(55-12)

$$\bar{P} = \frac{1}{2} P_{\max} \cos \phi$$

ويمكن إيجاد العلاقة بين القيمة الفعالة للقدرة والقيمة الفعالة (قيمة ج.م.) لكل من التيار والجهد المترددين كما يلي:

$$\bar{P} = \frac{1}{2} P_{\max} \cos \phi = \frac{1}{\sqrt{2}} E_{\max} = \frac{1}{\sqrt{2}} I_{\max} \cos \phi$$

أي أن:

(56-12)

$$P_{\text{rms}} = \bar{P} = E_{\text{rms}} I_{\text{rms}} \cos \phi$$

ويتضح من المعادلة (56-12) أن القدرة في دارات التيار المتردد تعتمد على جيب تمام زاوية العلور  $\phi$  بجانب اعتمادها على التيار والجهد، كما يتضح من نفس المعادلة (55-12) أن القدرة المتوسطة والفعالة تكون أكبر ما يمكن إذا كانت  $\phi = 0$ ، وأليها تصبح صفرًا عندما يكون الاختلاف في العلور بين التيار والجهد  $90^\circ$  (إن  $\cos \phi = \cos 90^\circ = 0$ ). ويطلق على  $\cos \phi$  اسم عامل القدرة

(power factor). ومن الجدير باللحظة أن مدار عامل القدرة عمليا يكون موجبا دائما، إذ أن زاوية اختلاف الطور بين التيار والجهد تتراوح بين  $0^\circ$  أو  $90^\circ$ ، ولا يمكن أن تزيد على  $90^\circ$ ، ولذلك يكون مدار  $\cos\phi$  موجبا دائما. ولا يهم أي المقدارين يسبق الآخر، فسواء سبق التيار الجهد أم تأخر عنه يظل مدار الاختلاف في الطور هو المهم  $|\phi|$ .

ما نقدم نستنتج أن القدرة الكهربائية تباع في دارات التيار المتردد بواسطة المقاومة فقط، ولا تباع بواسطة المفاعة الحثية أو السعوية. وكما رأينا في الفصل الحادي عشر فإن الطاقة الكهربائية تخزن في المكثف أو المكثف ولا تتبدل أو تستهلك في أي منها.

### مثال (9-12)

وصل مكثف مواسطته  $F = 8 \mu$  وملف محاته  $30 \text{ mH}$  ومقاومة  $R = 4 \Omega$  مع مصدر جهد متعدد قيمة ج.م.م له  $12 \text{ V}$  وتردد  $1000 \text{ Hz}$  على التوالي. احسب: (أ) ممانعة الدارة. (ب) زاوية الطور. (ج) عامل القدرة. (د) متوسط القدرة.

الحل:

(أ) نحسب المفاعة السعوية والمفاعة الحثية أولا، ثم نعرض قيمتيهما في المعادلة (12-38) لإيجاد ممانعة الدارة.

$$X_C = \frac{1}{2\pi f C} = \frac{1}{2 \times 3.14 \times 1000 \times 8 \times 10^{-6}} = 19.89 \Omega$$

$$X_L = 2\pi f L = 2 \times 3.14 \times 1000 \times 30 \times 10^{-3} = 188.4 \Omega$$

$$\begin{aligned} \therefore Z_s &= \sqrt{R^2 + (X_L - X_C)^2} \\ &= \sqrt{(4)^2 + (188.4 - 19.89)^2} = 168.56 \Omega \end{aligned}$$

(ب) يمكن حساب زاوية الطور  $\phi$  باستخدام المعادلة (12-40)، على النحو التالي:

$$\phi = \cos^{-1} \frac{R}{Z_s} = \cos^{-1} \frac{4}{168.56} \approx 88.64^\circ$$

(ج) لحساب عامل القدرة نجد جيب تمام زاوية الطور:

$$\cos \phi = \cos 88.64^\circ = 0.024$$

(د) لإيجاد متوسط القدرة نحسب قيمة ج.م.م للتيار المار في الدارة ثم نعرضها في المعادلة (12-56) وذلك على النحو التالي:

$$i_{\max} = \frac{V_{\max}}{Z_s} = \frac{12}{168.56} = 0.071 \text{ A}$$

$$P_{\text{rms}} = V_{\text{rms}} i_{\text{rms}} \cos \phi = 12 \times 0.071 \times 0.024 = 0.02 \text{ W}$$

## ملخص الفصل الثاني عشر

1. في حين تُستخدم مصادر القوة الدافعة التأثيرية لتوليد تيار مستمر (direct current) فإن المولدات الكهربائية تولد تيارات متعددة.

2. يكتب تيار المتردد  $i$  بين قيمتين هما  $-i_{max}$  و  $+i_{max}$  حيث  $i_{max}$  تيار الذروة ورمزه  $i_0 \text{ أو } i_m$ .

3. يسمى عدد الدورات، أي عدد الدورات الكاملة التي ينتمي الجهد أو التيار في الثانية الواحدة، التردد ( $f$ ). قيمة  $f$  في الأردن والعديد من دول العالم تساوي  $50 \text{ Hz}$ .

4. تتغير القوة الدافعة الكهربائية ع الناتجة عن مولد كهربائي مع الزمن بشكل جيبى، أي أن:

$$e = e_0 \sin \omega t$$

ويتغير التيار الناتج مع الزمن بشكل جيبى أيضاً، أي أن:

$$i = i_0 \sin \omega t$$

حيث  $\omega$  هي التردد الزاوي والذي يعطى بالعلاقة  $\omega = 2\pi f$

5. القيمة المتوسطة لربع التيار أو الجهد هي القيمة المهمة في حساب التدراة الكهربائية في حالة التيار المتردد. ويسمى الجذر التربيعي لهذه القيمة المتوسطة جذر متوسط المربعات ويتختصر بالأحرف ج.م.م للجهد ( $V_{rms}$ ) وج.م.م للتيار ( $i_{rms}$ ) على الترتيب.

تُمثل ج.م.م للجهد وج.م.م للتيار على الترتيب القيمة الفعلية للجهد والقيمة الفعلية للتيار ويعطيان بالعلاقتين التاليتين:

$$V_{rms} = \sqrt{V^2} = \frac{1}{\sqrt{2}} V_0$$

$$i_{rms} = \sqrt{i^2} = \frac{1}{\sqrt{2}} i_0$$

6. لشحن مكثف فإنه يلزم مصدر جهد. إذا كان التردد هو  $\omega$  وموازنة المكثف هي  $C$  فلائنا نعرف المقاولة السعوية (capacitive reactance) للمكثف، ووحدتها الأوم، والتي تلعب دور المقاومة، بالعلاقة:

$$X_C = \frac{1}{\omega C}$$

7. في حالة وصل ملف (L) مع مصدر جهد متعدد تردداته  $\omega$  فلائنا نعرف المقاولة الحثية (inductive reactance) للملف، ووحدتها الأوم، بالعلاقة:

$$X_L = \omega L$$

8. يكون التيار المار في مقاومة موصولة بمصدر جهد متعدد في نفس الطور مع جهد المصدر.

9. يسق التيار المار في مكثف الجهد بين طرفيه بمقدار  $90^\circ$  عند وصله بمصدر جهد متعدد.

10. يتخلف التيار المار في ملف عن الجهد بين طرفيه بمقدار  $90^\circ$  عند وصله بمصدر جهد متعدد.

11. تستخدم البطوارات لدراسة تغيرات التيار والجهد (الجبيبة) في دارة تحوي مصدر جهد متعدد (أي يمر بها تيار متعدد). البطوار هو متجه (من نوع خاص فهو دوّار) يُمثّل التغيرات والجهد في دارة ما. ويتّبع قيمة البطوار قيمة المترافق قيد الدراسة ويُمثّل اتجاهه طور هذا المتغير.

12. تُعرَف الممانعة الكلية لدارة RLC على التوازي بالعلاقة:

$$Z_p = \frac{1}{\sqrt{\left(\omega C - \frac{1}{\omega L}\right)^2 + \left(\frac{1}{R}\right)^2}}$$

ونكون أكبر ما يمكن عندما يكون التردد  $\omega$  مساوياً للقيمة:

$$\omega_0 = \frac{1}{\sqrt{LC}}$$

والتي تُسمى تردد الرنين (resonance frequency)، أي أنَّ التيار في هذه الدارة يكون أكبر ما يمكن عند هذا التردد.

13. تُعرَف الممانعة الكلية لدارة RLC على التوالى بالعلاقة:

$$Z_s = \sqrt{R^2 + (X_L - X_C)^2}$$

ونكون أقل ما يمكن عندما يكون التردد  $\omega$  مساوياً للقيمة:

$$\omega_0 = \frac{1}{\sqrt{LC}}$$

والتي تُسمى تردد الرنين أيضاً، أي أنَّ التيار في هذه الدارة يكون أصغر ما يمكن عند هذا التردد.

1: الجهد المستخدم في الأردن هو  $V = 220$  بـ  $\text{Hz} = 50$ . إن القدرة المستخدمة في تشغيل

مكواة تحتاج إلى  $2.27 \text{ A}$  لكي تعمل تساوي تقربياً:

- (أ)  $100 \text{ W}$  (ب)  $500 \text{ W}$  (ج)  $1000 \text{ W}$  (د)  $7.7 \text{ W}$

2: إذا كان تردد التيار المستخدم في دارة شحن مكثف مواسعته  $5 \mu\text{F}$  يساوي  $50 \text{ Hz}$ , فإن

مفاعلة الدارة السعوية تساوي تقربياً:

- (أ)  $637 \Omega$  (ب)  $400 \Omega$  (ج)  $250 \text{ k}\Omega$  (د)  $20 \mu\Omega$

3: في دارة تحاري مصدر جهد متعدد ومكثف تكون زاوية الاختلاف في الطور بين التيار والجهد

تساوي:

- (أ)  $0^\circ$  (ب)  $\infty$  (ج)  $\pi$  (د)  $\pi/2$

4: وصل ملف مقاومته  $5 \Omega$  ومحاتته  $200 \text{ mH}$  في دارة مغلقة مع مصدر جهد متعدد وتردد  $50 \text{ Hz}$ .

إذا كانت أكبر قيمة للتيار في الدارة هي  $0.5 \text{ A}$  فإن قيمة  $V_{\max}$  تساوي:

- (أ)  $31.4 \text{ V}$  (ب)  $62.8 \text{ V}$  (ج)  $94.2 \text{ V}$  (د)  $314.0 \text{ V}$

5: تردد الرنين لدارة  $LC$ , حيث  $C = 10 \mu\text{F}$  و  $L = 100 \text{ mH}$  يساوي تقربياً:

- (أ)  $159 \text{ kHz}$  (ب)  $1 \text{ kHz}$  (ج)  $1 \text{ Hz}$  (د)  $159 \text{ Hz}$

6: تردد الرنين الزاوي ( $\omega_0$ ) لدارة  $RLC$ , حيث  $R = 10 \Omega$  و  $L = 50 \text{ mH}$  و  $C = 20 \mu\text{F}$ , بوحدة  $\text{rad s}^{-1}$  يساوي:

- (أ)  $10^6$  (ب)  $10^3$  (ج)  $10^2$  (د)  $10^3$

7: تكون ممانعة الدارة في السؤال (6) إذا كانت المقاومة والمكثف والملف موصولة على التوالي

تساوي تقربياً:

- (أ)  $1.0 \text{ k}\Omega$  (ب)  $10.0 \Omega$  (ج)  $24.1 \text{ k}\Omega$  (د)  $34.1 \text{ k}\Omega$

8: تكون ممانعة الدارة في السؤال (6) إذا كانت المقاومة والمكثف والملف موصولة على التوازي

تساوي تقربياً:

- (أ)  $25.2 \Omega$  (ب)  $252.0 \Omega$  (ج)  $10.0 \Omega$  (د)  $100.0 \Omega$

9: عندما يتحقق شرط الرنين في دارة  $RLC$  موصولة على التوازي مع مصدر جهد متعدد  $E$

فإن شدة التيار المار في المقاومة تساوي:

- (أ)  $E/R$  (ب)  $E/LC$  (ج)  $0$  (د)  $\infty$

10: عندما يتحقق شرط الرنين في دارة  $RLC$  فإن ممانعة الدارة تساوي:

- (أ)  $0$  (ب)  $R$  (ج)  $L \times C$  (د)  $\infty$

ملحوظة: إنَّ القيمة المحيطة للتيار وكذلك الجهد في هذه المجموعة من المسائل هي القيم الفعلية (ج.م.م) ما لم يذكر خلاف ذلك.

1-12 احسب التردد والزمن الدوري والتردد الزاوي لموجة تكمل 300 دورة في 6 ثوان.

2-12 نعطي الموجة التي تمثل فرق الجهد بين طرفين مقاومة مقدارها  $320 \Omega$  بالمعادلة:

$$V = 160 \sin\left(628t + \frac{\pi}{12}\right)$$

حيث  $t$ : بالثانية و  $V$ : بالفولت. جد:

(أ) تردد الموجة. (ب) الزمن الدوري للموجة. (ج) جهد الذروة للموجة. (د) زاوية الطور.

(هـ) تردد الموجة الزاوي. (و) تيار الذروة والقيمة الفعلية له. (ز) فرق الجهد اللحظي بين

طرفى المقاومة عندما تكون  $t = 1 \text{ ms}$ .

مكثف مواسته  $1 \mu\text{F}$ . عند أي تردد تصبح مفاعলته  $159 \Omega$ ؟ 3-12

ملف محاثته  $1 \text{ mH}$ . عند أي تردد تصبح مفاعله  $628 \Omega$ ؟ 4-12

رسم رسمًا بيانيًّا يوضح تغير المفاعة مع التردد لمكثف مواسته  $1 \mu\text{F}$  عندما يزداد التردد من صفر إلى  $100 \text{ kHz}$ . 5-12

رسم رسمًا بيانيًّا يوضح تغير المفاعة مع التردد ل ملف محاثته  $1 \text{ mH}$  عندما يزداد التردد من صفر إلى  $100 \text{ kHz}$ . 6-12

جد مقاومة التسخين والقيمة العظمى للتيار المار في مدفعٍ كهربائي قدرتها  $W = 2000$  عدد توصيلها في الأردن مع مصدر جهد متعدد مقداره  $V = 220$ . ماذا يحصل للمدفع لو أنها وصلت في بلد آخر مثل أمريكا حيث يبلغ جهد المصدر المتعدد هناك  $V = 110 \text{ V}$ ؟ 7-12

مصباح كهربائي قدرته  $W = 100$  ويعلم على مصدر جهد متعدد مقداره  $V = 220$ . ما مقاومة سلك المصباح؟ 8-12

عند أي تردد تتساوى مفاعة مكثف مواسته  $1 \mu\text{F}$  مع مفاعة ملف محاثته  $10 \text{ mH}$ ؟ 9-12

ملف محاثته  $5 \text{ mH}$  متصل مع مصدر جهد متعدد قوته الدافعة الكهربائية  $E$  نعطي بالعلاقة:

$$E = 20 \cos 2\pi ft$$

حيث  $t$ : بالثانية و  $E$ : بالفولت

ما قيمة التيار العظمى المار في الدارة عندما يكون التردد  $f$  للمصدر يساوي:

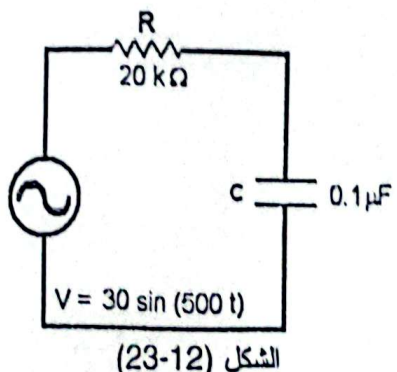
(أ)  $1 \text{ kHz}$ . (ب)  $100 \text{ Hz}$

12

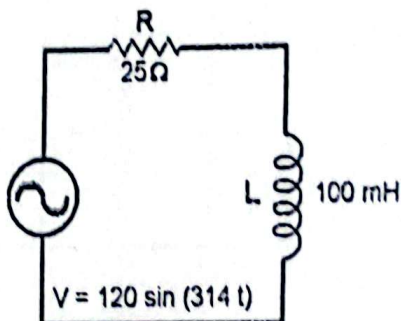
11-12 كم يستغرق الجهد  $V = 12 \sin(2000t)$  حتى يصل لقيمة لحظية 6V بعد أن يمر بالصفر وتنزيل قيمته بالموجب؟

12-12 في الشكل (22-12) أوجد: (أ) تردد المصدر، (ب) مقاولة الملف، (ج) ممانعة الدارة، (د) زاوية الطور بين التيار والجهد.

12-13 في الشكل (23-12) أوجد: (أ) تردد المصدر، (ب) مقاولة المكثف، (ج) ممانعة الدارة، (د) زاوية الطور بين التيار والجهد.

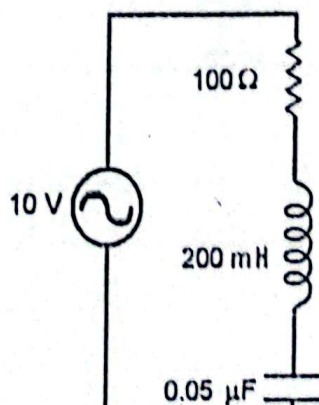


(23-12)



(22-12)

14-12 رُصل مكثف مواسعته  $0.05 \mu\text{F}$  وملف محاثته  $200 \text{ mH}$  ومقاومة  $100 \Omega$  مع مصدر جهد متعدد قيمة ج.م. لجهده  $10 \text{ V}$  على التوالي كما هو مبين في الشكل (24-12). إذا ضبط تردد مصدر الجهد حتى حصل الرنين في الدارة فاحسب: (أ) تردد الرنين، (ب) التيار المار في الدارة، (ج) فرق الجهد بين طرفي كل من المقاومة والمكثف والملف، (د) زاوية الطور، (ه) القدرة المبددة في الدارة.

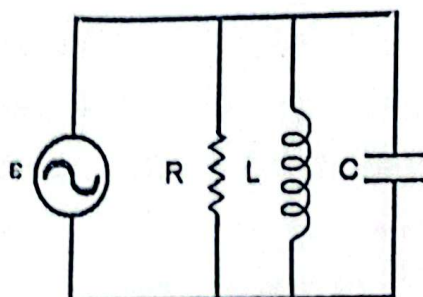


(24-12)

15-12 أعد حل الفروع (ب) و (ج) و (د) في السؤال السابق عندما يكون تردد المصدر  $2 \text{ kHz}$ .

16-12 ما مقدار مقاومة الملف الذي ممانعته  $225 \Omega$  و مقاولته  $20 \Omega$ ؟

17-12 رُصل مكثف مواسته  $\mu F = 10$  وملف مسانته  $100 \text{ mH}$  ومقاومة  $\Omega = 100$  مع مصدر جهد متعدد قيمة جهد العظمى  $V = 14.14$  على التوازي كما هو مبين في الشكل (25-12) إذا ضبط تردد المصدر حتى حصل الرنين في الدارة فاحسب: (أ) تردد الرنين، (ب) التيار المار في كل من  $R$  و  $L$  و  $C$ . (ج) تيار المصدر. (د) فرق الجهد بين طرفي كل من  $R$  و  $L$  و  $C$ . (ه) زاوية الطور.



الشكل (25-12)

18-12 اعد حل الفروع (ب) و (ج) و (د) و (ه) من السؤال السابق عندما يكون تردد المصدر  $500 \text{ Hz}$

19-12 إنَّ مرور تيار كهربائي متعدد مقداره  $35 \text{ mA}$  في جسم إنسان لمدة ثانية واحدة قد يسبب وفاته إذا كان تردد المصدر  $50 \text{ Hz}$ ، وجده الفعال  $220 \text{ V}$ . احسب ممانعة الأشخاص الذين قد يتعرضون للوفاة عند صدمهم كهربائياً بذلك التيار.

20-12 . وصل ملف ومقاومة  $\Omega = 100$  ومصدر جهد متعدد جده  $V = 220 \text{ V}$  وتردد  $50 \text{ Hz}$  على التوازي في دارة مغلقة. إذا علمت أنَّ الجهد في الدارة يتقدم على التيار بزاوية طور قدرها  $45^\circ$  وإن فرق الجهد بين طرفي المقاومة  $V = 50$ ، فاحسب: (أ) مقاومة الملف. (ب) محانة الملف.

21-12 تنقل الطاقة الكهربائية من محطات التوليد للمستهلكين عبر سلكين موصلين متوازيين مساحة مقطع كل منها  $A$  وطولهما الكلي  $l$ ، حيث يخدم أحد السلكين خط عودة. (أ) اثبت أنَّ القدرة الكهربائية الضائعة على شكل حرارة في الأسلام الموصلة للحمل (load)  $P_L$  تُعطى بالعلاقة:

$$P = \frac{2 \rho l P_L^2}{A V^2 \cos \phi}$$

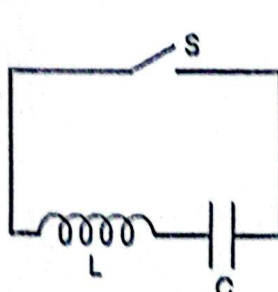
حيث تمثل  $\phi$ : عامل القدرة و  $P_L$ : القدرة المزودة للحمل و  $\rho$ : المقاومة لأسلاك التوصيل.

(س) بين كهف يمكن تقليل القدرة الخسارة في الملاك التوصيل كحرارة مستعيناً بالمعادلة السابقة.

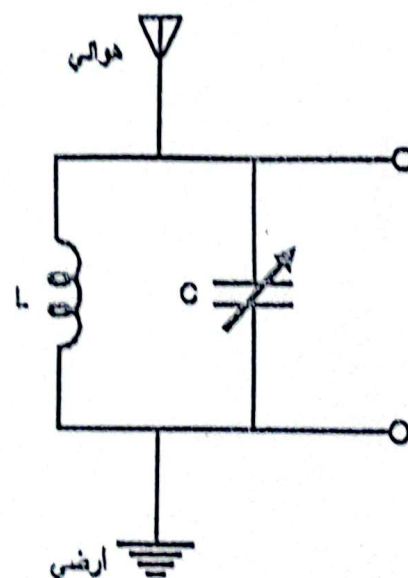
22-12 وصل مكثف  $C$  ومقاومة  $R$  مع مصدر جهد متعدد جهد  $90 \text{ V}$  وتردد  $150 \text{ Hz}$  على التوالى في دارة متلقة، فإذا كان الجهد بين طرفى المقاومة  $30 \text{ V}$  والتيار المار فيها  $1.2 \text{ A}$ ، احسب: (أ) المقاومة  $R$ . (ب) موازنة المكثف  $C$ .

23-12 تكون دارة الاستقبال في جهاز الراديو (جهاز الاستقبال الانسلاكي) كما هو مبين في الشكل (26-12) من سلك توصيل (هوائي) وملف  $L$  ومكثف متغير الموازنة  $C$ . فإذا تمكنت موجة كهرومغناطيسية تردد  $600 \text{ kHz}$  من توليد فرقة دائمة كهربائية ثالثية بين هوائي والأرضي متدارها  $0.1 \text{ mV}$  وكانت  $L = 20 \text{ mH}$  فما متدار: (أ) موازنة المكثف  $C$ . (ب) التيار المار في الملف  $L$ .

24-12 إذا علمت أن مقاومة الدارة في الشكل (27-12) تساوي صفراء، ثابت لن الطالة الكلية للدارة عند أي لحظة زمانية بعد خلق المفتاح  $S$  هي نفس الطالة التي كانت مذرولة في المكثف أصلاً. (قبل إغلاق المفتاح).



الشكل (27-12)



الشكل (26-12)

25-12 ثبت رياضياً أن متوسط القيمة لجهد جيبى الشكل (sinusoidal) خلال دورة كاملة يساوي صفراء.